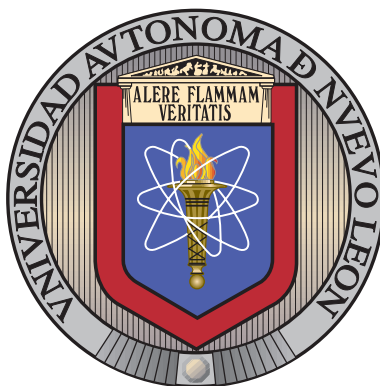


UNIVERSIDAD AUTÓNOMA DE NUEVO LEÓN

FACULTAD DE INGENIERÍA MECÁNICA Y ELÉCTRICA

SUBDIRECCIÓN DE ESTUDIOS DE POSGRADO



COLABORACIÓN EMERGENTE EN ENJAMBRES DE  
ROBOTS, CON REGLAS INSPIRADAS EN EL  
COMPORTAMIENTO DE ANIMALES SOCIALES

POR

M.C. ERICK DE JESÚS ORDAZ RIVAS

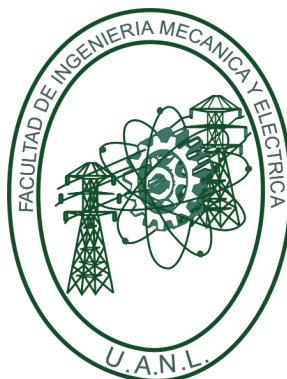
COMO REQUISITO PARCIAL PARA OBTENER EL GRADO DE  
DOCTORADO EN INGENIERÍA ELÉCTRICA

SEPTIEMBRE 2020

UNIVERSIDAD AUTÓNOMA DE NUEVO LEÓN

FACULTAD DE INGENIERÍA MECÁNICA Y ELÉCTRICA

SUBDIRECCIÓN DE ESTUDIOS DE POSGRADO



COLABORACIÓN EMERGENTE EN ENJAMBRES DE  
ROBOTS, CON REGLAS INSPIRADAS EN EL  
COMPORTAMIENTO DE ANIMALES SOCIALES

POR

M.C. ERICK DE JESÚS ORDAZ RIVAS

COMO REQUISITO PARCIAL PARA OBTENER EL GRADO DE  
DOCTORADO EN INGENIERÍA ELÉCTRICA

SEPTIEMBRE 2020





UANL

UNIVERSIDAD AUTÓNOMA DE NUEVO LEÓN



FACULTAD DE INGENIERÍA MECÁNICA Y ELÉCTRICA

**Universidad Autónoma de Nuevo León**  
**Facultad de Ingeniería Mecánica y Eléctrica**  
**Subdirección de Estudios de Posgrado**

Los miembros del Comité de Tesis recomendamos que la Tesis “Colaboración emergente en enjambres de robots, con reglas inspiradas en el comportamiento de animales sociales”, realizada por el alumno M.C. Erick de Jesús Ordaz Rivas, con número de matrícula 1411496, sea aceptada para su defensa como requisito para obtener el grado de Doctorado en Ingeniería Eléctrica.

El Comité de Tesis

Dr. Luis Martín Torres Treviño  
Director

Dr. Juan Ángel Rodríguez Liñán  
Revisor

Dr. Romeo Sánchez Nigenda  
Revisor

Dr. Joaquín Gutiérrez Jagüey  
Revisor

Dr. Jonatán Peña Ramírez  
Revisor

Vo. Bo.

Dr. Simón Martínez Martínez  
Subdirector de Estudios de Posgrado



San Nicolás de los Garza, Nuevo León, septiembre de 2020



*A mi madre.*

*Espero que este nuevo logro en mi vida sea un  
motivo por el cual te sientas orgullosa de mí.*

# ÍNDICE GENERAL

---

<b>Nomenclaturas</b>	<b>XVIII</b>
<b>Agradecimientos</b>	<b>XIX</b>
<b>Resumen</b>	<b>xx</b>
<b>1. Introducción</b>	<b>1</b>
1.1. Motivación . . . . .	1
1.2. Antecedentes . . . . .	4
1.3. Descripción del problema . . . . .	8
1.4. Hipótesis . . . . .	10
1.5. Objetivos . . . . .	10
1.5.1. Objetivo general . . . . .	10
1.5.2. Objetivos particulares . . . . .	10
1.6. Contribuciones . . . . .	11

1.7. Organización de la tesis . . . . .	12
<b>2. Robótica de enjambres</b>	<b>13</b>
2.1. Modelo matemático de robots . . . . .	13
2.1.1. Modelo cinemático . . . . .	14
2.1.2. Modelo dinámico . . . . .	16
2.1.3. Modelo del actuador . . . . .	17
2.2. Arquitectura de los robots . . . . .	19
2.2.1. Terran . . . . .	20
2.2.2. BugBot . . . . .	20
2.2.3. Limitaciones sensoriales de los robots . . . . .	22
2.3. Reglas de comportamiento . . . . .	23
2.3.1. Implementación de reglas en un sistema embebido . . . . .	28
2.3.2. Implementación de reglas en una plataforma de simulación . .	39
<b>3. Descripción experimental</b>	<b>45</b>
3.1. Desarrollo de experimentos físicos . . . . .	45
3.1.1. Especificaciones de robots en experimentos físicos . . . . .	46
3.2. Desarrollo de simulaciones . . . . .	48
3.3. Métricas de evaluación . . . . .	49

3.3.1. Sistema de procesamiento de imágenes . . . . .	49
3.4. Descripción de casos experimentales . . . . .	51
3.4.1. Depredador-presa . . . . .	51
3.4.2. Transporte de objetos . . . . .	52
<b>4. Resultados</b>	<b>53</b>
4.1. Primer caso experimental (Tarea de relaciones tipo depredador-presa)	53
4.1.1. Simulaciones . . . . .	53
4.1.2. Experimentos por implementación física . . . . .	55
4.1.3. Análisis de datos y modelado de la emergencia de colaboración en el enjambre, a partir de los resultados obtenidos en la tarea de depredador-presa . . . . .	76
4.1.4. Discusión . . . . .	80
4.2. Segundo caso experimental (Tarea de transporte de objetos) . . . . .	83
4.2.1. Simulaciones . . . . .	83
4.2.2. Experimentos por implementación física . . . . .	84
4.2.3. Análisis de datos y modelado de la emergencia de colaboración en el enjambre, a partir de los resultados obtenidos en la tarea de transporte de objetos . . . . .	100
4.2.4. Discusión . . . . .	107

<b>5. Conclusiones y trabajo futuro</b>	<b>110</b>
5.1. Conclusiones . . . . .	110
5.2. Trabajo futuro . . . . .	112
5.3. Divulgación científica . . . . .	113
5.3.1. Artículos de revista . . . . .	113
5.3.2. Artículos de congreso . . . . .	113
 <b>A. Reporte técnico de BugBots</b>	 <b>114</b>
A.1. Diseño . . . . .	114
A.2. Hardware . . . . .	114
A.2.1. Microcontrolador . . . . .	114
A.2.2. Sensores y actuadores . . . . .	115
A.2.3. Alimentación . . . . .	117
A.3. Software . . . . .	117
A.4. Funcionamiento . . . . .	118
 <b>B. Códigos en Arduino - Reglas de comportamiento</b>	 <b>119</b>
B.1. Tarea de relación tipo depredador-presa . . . . .	119
B.2. Tarea de transporte de objetos . . . . .	129

**C. Código en Scilab - Reglas de comportamiento 142**

C.1. Tarea de relación tipo depredador-presa . . . . . 142

C.2. Tarea de transporte de objetos . . . . . 158

# ÍNDICE DE FIGURAS

---

2.1. Robot móvil con configuración diferencial. . . . .	14
2.2. Ubicación de sensores y dispositivos en la arquitectura del robot <i>Terran</i> . . . . .	20
2.3. Ubicación de sensores y dispositivos en la arquitectura del robot <i>BugBot</i> . . . . .	21
2.4. Zonas de percepción correspondientes a los sensores incorporados. . . . .	22
2.5. Limitaciones de los sensores de proximidad. . . . .	23
2.6. Zonas propuestas para el modelo de comportamiento de enjambre. . . . .	24
2.7. Vectores de dirección respecto a zona detectada. . . . .	25
2.8. Comportamiento emergente en el enjambre. . . . .	28
2.9. Vectores de dirección de cada sensor. . . . .	29
2.10. Zonas <i>RAOI</i> por robot. . . . .	30
2.11. Funciones de movimiento del robot en relación al voltaje aplicado. . . . .	34
2.12. Estado de tenzas de <i>BugBot</i> . . . . .	36
2.13. Estados de comportamiento para tarea de transporte de objetos. . . . .	38



2.14. Diagrama de flujo de las reglas de comportamiento de enjambre. . . .	43
2.15. Diagrama de flujo de las reglas de comportamiento de robot-presa. . .	44
2.16. Diagrama de flujo de las reglas de comportamiento para tarea de transporte de objetos. . . . .	44
3.1. Etapas de desarrollo de experimentos físicos. . . . .	46
3.2. Etapas de desarrollo de simulaciones. . . . .	48
3.3. Diagrama de flujo de herramienta de procesamiento de imagen. . . .	50
4.1. Simulación de enjambre de robots ejecutando tarea de depredador-presa con $r_r = 0.05$ y $r_a = 0.2$ para los robot-depredadores.	56
4.2. Simulación de enjambre de robots ejecutando tarea de depredador-presa con $r_r = 0.1$ y $r_a = 0.2$ para los robot-depredadores.	57
4.3. Simulación de enjambre de robots ejecutando tarea de depredador-presa con $r_r = 0.15$ y $r_a = 0.2$ para los robot-depredadores.	58
4.4. Simulación de enjambre de robots ejecutando tarea de depredador-presa con $r_r = 0.05$ y $r_a = 0.6$ para los robot-depredadores.	59
4.5. Simulación de enjambre de robots ejecutando tarea de depredador-presa con $r_r = 0.1$ y $r_a = 0.6$ para los robot-depredadores.	60
4.6. Simulación de enjambre de robots ejecutando tarea de depredador-presa con $r_r = 0.15$ y $r_a = 0.6$ para los robot-depredadores.	61
4.7. Simulación de enjambre de robots ejecutando tarea de depredador-presa con $r_r = 0.05$ y $r_a = 1$ para los robot-depredadores.	62

4.8. Simulación de enjambre de robots ejecutando tarea de depredador-presa con $r_r = 0.1$ y $r_a = 1$ para los robot-depredadores. .	63
4.9. Simulación de enjambre de robots ejecutando tarea de depredador-presa con $r_r = 0.15$ y $r_a = 1$ para los robot-depredadores.	64
4.10. Manada de robots ejecutando tarea de depredador-presa con $r_r = 0.05$ y $r_a = 0.2$ para los robot-depredadores. . . . .	66
4.11. Manada de robots ejecutando tarea de depredador-presa con $r_r = 0.1$ y $r_a = 0.2$ para los robot-depredadores. . . . .	67
4.12. Manada de robots ejecutando tarea de depredador-presa con $r_r = 0.15$ y $r_a = 0.2$ para los robot-depredadores. . . . .	68
4.13. Manada de robots ejecutando tarea de depredador-presa con $r_r = 0.05$ y $r_a = 0.6$ para los robot-depredadores. . . . .	69
4.14. Manada de robots ejecutando tarea de depredador-presa con $r_r = 0.1$ y $r_a = 0.6$ para los robot-depredadores. . . . .	70
4.15. Manada de robots ejecutando tarea de depredador-presa con $r_r = 0.15$ y $r_a = 0.6$ para los robot-depredadores. . . . .	71
4.16. Manada de robots ejecutando tarea de depredador-presa con $r_r = 0.05$ y $r_a = 1$ para los robot-depredadores. . . . .	72
4.17. Manada de robots ejecutando tarea de depredador-presa con $r_r = 0.1$ y $r_a = 1$ para los robot-depredadores. . . . .	73
4.18. Manada de robots ejecutando tarea de depredador-presa con $r_r = 0.1$ y $r_a = 1$ para los robot-depredadores. . . . .	74

---

4.19. Efecto de repulsión y atracción en el área de cobertura para tarea depredador-presa. . . . .	77
4.20. Efecto de repulsión y atracción en el tiempo de captura para tarea depredador-presa. . . . .	77
4.21. Simulación de enjambre de 5 robots ejecutando tarea de transporte de objetos con $r_r = 0.01$ y $r_a = 0.2$ . . . . .	85
4.22. Simulación de enjambre de 5 robots ejecutando tarea de transporte de objetos con $r_r = 0.01$ y $r_a = 1$ . . . . .	86
4.23. Simulación de enjambre de 5 robots ejecutando tarea de transporte de objetos con $r_r = 0.1$ y $r_a = 0.2$ . . . . .	87
4.24. Simulación de enjambre de 5 robots ejecutando tarea de transporte de objetos con $r_r = 0.1$ y $r_a = 1$ . . . . .	88
4.25. Simulación de enjambre de 10 robots ejecutando tarea de transporte de objetos con $r_r = 0.01$ y $r_a = 0.2$ . . . . .	89
4.26. Simulación de enjambre de 10 robots ejecutando tarea de transporte de objetos con $r_r = 0.01$ y $r_a = 1$ . . . . .	90
4.27. Simulación de enjambre de 10 robots ejecutando tarea de transporte de objetos con $r_r = 0.1$ y $r_a = 0.2$ . . . . .	91
4.28. Simulación de enjambre de 10 robots ejecutando tarea de transporte de objetos con $r_r = 0.1$ y $r_a = 1$ . . . . .	92
4.29. Simulación de enjambre de 20 robots ejecutando tarea de transporte de objetos con $r_r = 0.01$ y $r_a = 0.2$ . . . . .	93

4.30. Simulación de enjambre de 20 robots ejecutando tarea de transporte de objetos con $r_r = 0.01$ y $r_a = 1$ . . . . .	94
4.31. Simulación de enjambre de 20 robots ejecutando tarea de transporte de objetos con $r_r = 0.1$ y $r_a = 0.2$ . . . . .	95
4.32. Simulación de enjambre de 20 robots ejecutando tarea de transporte de objetos con $r_r = 0.1$ y $r_a = 1$ . . . . .	96
4.33. Manada de robots ejecutando tarea de transporte de objetos con $r_r =$ $0.05$ y $r_a = 0.2$ . . . . .	101
4.34. Manada de robots ejecutando tarea de transporte de objetos con $r_r =$ $0.1$ y $r_a = 0.2$ . . . . .	101
4.35. Manada de robots ejecutando tarea de transporte de objetos con $r_r =$ $0.05$ y $r_a = 1$ . . . . .	102
4.36. Manada de robots ejecutando tarea de transporte de objetos con $r_r =$ $0.1$ y $r_a = 1$ . . . . .	102
4.37. Efecto de repulsión y atracción en el tiempo de ejecución para tarea de transporte de objetos, basado en simulaciones. . . . .	104
4.38. Efecto de repulsión y atracción en el tiempo de ejecución para tarea de transporte de objetos, basado en implementación física. . . . .	105
A.1. Vista explosionada de la estructura del robot. . . . .	115
A.2. Sensor ultrasónico HC-SR04. . . . .	115
A.3. Sensor infrarrojo TCRT5000. . . . .	116

---

A.4. Resistencia dependiente de luz (LDR). . . . .	116
A.5. Alimentación y encendido del robot. . . . .	118

# ÍNDICE DE TABLAS

---

2.1. Parámetros del robot. . . . .	40
3.1. Especificaciones de las zonas de repulsión, orientación, atracción e influencia en función a los sensores empleados. . . . .	47
3.2. Radios permitidos en las zonas de percepción. . . . .	47
3.3. Velocidades en zonas de percepción en experimentos físicos. . . . .	47
4.1. Resultados de tarea depredador-presa, basados en simulaciones. . . .	65
4.2. Resultados de tarea depredador-presa, basados en implementación física.	75
4.3. Estadísticas de la regresión para modelos de tarea depredador-presa. .	78
4.4. Relación de coeficientes para modelos de tarea depredador-presa. . . .	79
4.5. Correlación de parámetros para modelos de tarea depredador-presa. .	80
4.6. Resultados de tarea de transporte de objetos con 5 <i>BugBot</i> , basados en simulación. . . . .	97
4.7. Resultados de tarea de transporte de objetos con 10 <i>BugBot</i> , basados en simulación. . . . .	98

---

4.8. Resultados de tarea de transporte de objetos con 20 <i>BugBot</i> , basados en simulación. . . . .	99
4.10. Estadísticas de la regresión para tarea de transporte de objetos. . . .	100
4.9. Resultados de tarea de transporte de objetos con 3 <i>BugBot</i> , basados en implementación física. . . . .	103
4.11. Estadísticas de regresión para la superficie de comportamiento de la Figura 4.37c. . . . .	104
4.13. Correlación de parámetros de tarea de transporte de objetos. . . . .	105
4.12. Relación de coeficientes para modelos de tarea de transporte de objetos.	106
A.1. Características de módulo ESP32. . . . .	116
A.2. Características de sensor ultrasónico HC-SR04. . . . .	117
A.3. Características de sensor infrarrojo TCRT5000. . . . .	117
A.4. Características de LDR. . . . .	118
A.5. Características de motor CC. . . . .	118

# NOMENCLATURAS

---

<i>SMR</i>	Sistemas Multi-Robot.
<i>RE</i>	Robótica de enjambre.
<i>IE</i>	Inteligencia de enjambre.
<i>RAOI</i>	Repulsión, Atracción, Orientación e Influencia.
<i>ZOR</i>	Zona de repulsión.
<i>ZOO</i>	Zona de orientación.
<i>ZOA</i>	Zona de atracción.
<i>ZOI</i>	Zona de influencia.
<i>CC</i>	Corriente continua.
<i>LDR</i>	Resistencia dependiente de la luz.



# AGRADECIMIENTOS

---

Agradezco al Dr. Luis Martín Torres Treviño, mi Director de Tesis, por su tiempo, apoyo y orientación en el desarrollo de esta Tesis.

Al Comité de Tesis: Dr. Juan Ángel Rodríguez Liñán, Dr. Romeo Sánchez Nigenda, Dr. Joaquín Gutiérrez Jagüey y Dr. Jonatán Peña Ramírez, por sus comentarios y observaciones que ayudaron a mejorar el contenido de esta Tesis. A los profesores del Posgrado en Ingeniería Eléctrica, por sus enseñanzas durante mis estudios.

Al Consejo Nacional de Ciencia y Tecnología (CONACYT), la Universidad Autónoma de Nuevo León (UANL) y la Facultad de Ingeniería Mecánica y Eléctrica (FIME), por otorgarme la beca y los medios para realizar esta Tesis.

A mis compañeros de posgrado, por su apoyo en el transcurso de mis estudios.

A mis amigos, por su apoyo, consejos y motivación en el transcurso de mi vida.

A mi familia, por su apoyo constante y motivación para perseverar con mis estudios y, en especial, a mi madre Lic. María Francisca Ordaz Rivas, mi abuela Sra. Ma. de Jesús Rivas Ávila y mi abuelo Sr. Miguel Ordaz Hernández por sus enseñanzas, guía y amor a lo largo de mi vida.

Gracias a Dios, por escuchar mis oraciones, darme fuerza y bendecirme a mí y todas las personas que me rodean.

# RESUMEN

---

M.C. Erick de Jesús Ordaz Rivas.

Candidato para obtener el grado de Doctorado en Ingeniería Eléctrica.

Universidad Autónoma de Nuevo León.

Facultad de Ingeniería Mecánica y Eléctrica.

Título del estudio: COLABORACIÓN EMERGENTE EN ENJAMBRES DE ROBOTS, CON  
REGLAS INSPIRADAS EN EL COMPORTAMIENTO DE ANIMALES SOCIALES.

Número de páginas: 193.

**OBJETIVOS Y MÉTODO DE ESTUDIO:** La Robótica de Enjambre, es un enfoque para la coordinación de múltiples robots, que toma inspiración de los comportamientos complejos observados en los sistemas naturales de enjambre, donde la funcionalidad del sistema surge de la interacción local de cada agente con sus vecinos y el entorno, y, como consecuencia, se espera que surja un comportamiento colectivo sin un líder, un control jerárquico o información global. Sin embargo, a pesar de que existen una gran cantidad de propuestas de algoritmos de enjambre con aproximaciones a comportamientos colectivos, relativamente pocos estudios basados en simulaciones consideran las limitaciones de los sensores reales de los robots, y sólo algunos algoritmos de comportamiento se transfieren a sistemas robóticos reales. Además, la implementación de un esquema de enjambres en robots físicos es un tema de investigación abierto.

En este trabajo de tesis, se propone un algoritmo de navegación de cada individuo, que sólo depende de cuatro parámetros relacionados con un modelo general del comportamiento de los animales sociales llamados: repulsión, atracción, orientación e influencia; los cuales tienen una mayor influencia en el

comportamiento de enjambres de robots, cuando se realizan tareas colaborativas. Para esto, se desarrolló una plataforma de simulación de comportamientos de enjambre y se establecieron métricas de evaluación, para probar los efectos de los parámetros en el comportamiento del enjambre. Además, se construyeron prototipos de robots móviles, donde se implementaron las reglas de comportamiento para la ejecución de tareas de depredador-presa y transporte de objetos.

**CONTRIBUCIONES Y CONCLUSIONES:** El modelo propuesto se inspira por reglas simples propuestas por Couzin (repulsión, atracción y orientación) [1], las cuales establecen un comportamiento colectivo específico, en adición, se incluye una cuarta regla llamada “influencia”, que consiste en la detección de estímulos específicos para relacionarlos con alguna tarea. Un aspecto importante, es que la colaboración surge de la interacción de los robots como enjambre, sin control centralizado y en ausencia de líderes. En general, sólo se implementan tres reglas: evitar colisiones (repulsión), seguir a otros robots (atracción) y seguir a la influencia al cambiar el estímulo. La principal contribución consiste en la implementación de reglas de comportamiento basadas en parámetros *RAOI* a un enjambre de robots físico, sin intervención humana o métodos centralizados. Además, se obtienen modelos de índice para cuantificar el impacto de los parámetros en el enjambre. Las reglas de comportamiento local se diseñaron inspiradas en el comportamiento de las formas de vida social observadas en animales, por lo que se genera un comportamiento similar en nuestra manada de robots.

Firma del asesor: \_\_\_\_\_

  
Dr. Luis Martín Torres Treviño

## CAPÍTULO 1

# INTRODUCCIÓN

---

## 1.1 MOTIVACIÓN

Los Sistemas Multi-Robot (*SMR*), son una extensión en la investigación de robots móviles y surgen para superar la falta de capacidad de los robots individuales para realizar tareas [2, 3]; que, para completarse de manera eficiente, necesitan colaboración entre grupos de robots [4].

Existen dos enfoques principales para el diseño de *SMR* [5]. El primero es un sistema centralizado, donde un componente central coordina todos los robots y sus tareas [6]. La ventaja principal es su facilidad de implementación; sin embargo, hay que considerar ciertas desventajas. Por ejemplo, si el componente principal deja de funcionar, todo el sistema falla; además, al agregar más robots al sistema, la carga de procesamiento en la unidad central aumenta. En consecuencia, se implica un alto costo computacional, porque se requiere una arquitectura sofisticada de hardware y software, así como conocer en cada momento la posición de cada robot.

Por otro lado, la Robótica de Enjambre (*RE*), es un enfoque para la coordinación de *SMR*, que toma inspiración de los comportamientos complejos observados en los sistemas naturales de enjambre (por ejemplo, enjambres de

abejas, colonias de hormigas, bancos de peces y bandadas de aves, entre otros) [7, 8, 9, 10]. Estos seres tienen habilidades individuales muy simples, pero al vivir en grupos grandes, surgen comportamientos colectivos que promueven la realización de tareas de manera eficiente. A este tipo de comportamientos se les conoce como Inteligencia de Enjambre (*IE*) [11].

Los algoritmos basados en *IE* tienen muchas similitudes con los comportamientos en la *RE*, ya que ambos toman inspiración de sistemas de enjambre de la naturaleza [12]. Estas técnicas también se utilizan en el diseño de robots y controladores, algunas metaheurísticas generalizadas son: la computación evolutiva [13], algoritmos genéticos [14], robótica evolutiva [15], optimización por enjambre de partículas (*PSO*) [16], optimización por colonia de hormigas [17], entre otras [18, 19, 20, 21].

A diferencia de los *SMR* con esquemas de control centralizado, los sistemas de *RE* tienen como objetivo construir sistemas descentralizados totalmente distribuidos con agentes simples, en los que la funcionalidad del sistema surge de la interacción local de cada agente con sus vecinos y el entorno, y, como consecuencia, se espera que surja un comportamiento colectivo sin un líder, un control jerárquico o información global [22]. Por lo cual, el comportamiento colectivo es un aspecto importante en un sistema de enjambre en general y la *RE* en particular. En la *RE*, los robots individuales exhiben un comportamiento que se basa en un conjunto de reglas locales que puede variar desde un mapeo reactivo simple entre las entradas del sensor y las salidas del actuador para elaborar algoritmos locales. En Schranz et al. [23] se discuten los comportamientos fundamentales observados en el campo de la *RE*.

Otro aspecto importante de la *RE* es el papel de la auto-organización [24, 25], el cual es un proceso presente en los sistemas de enjambres de la naturaleza [26]. Por medio de la auto-organización se presentan comportamientos emergentes de coordinación, cooperación y colaboración [27]. De manera que, la emergencia de colaboración ocurre cuando los agentes de un sistema se organizan

espontáneamente y sin instrucciones explícitas para la consecución de objetivos deseados; remplazando el control jerárquico centralizado como mecanismo de colaboración tradicional [28]. Además de la auto-organización, algunas ventajas de la *RE* son robustez, escalabilidad y flexibilidad; que son propiedades deseadas en enjambres de robots [29, 30]. Se dice que un sistema es robusto si puede continuar funcionando correctamente, incluso si uno o más agentes dejan de funcionar, debido a fallas internas o condiciones en el entorno. Es escalable si puede adaptarse a cambios en el número de agentes. Por último, es flexible si los parámetros internos de los agentes pueden ajustarse con la aparición de cambios en el entorno.

Debido a las características presentes en los enjambres de robots, se han propuesto numerosas estrategias para el desarrollo de una gran variedad de tareas, por ejemplo, agregación, ensamble y agrupamiento de objetos, exploración, navegación, manipulación colaborativa, entre otras [31, 32, 33, 34]. De este modo, por medio de la *RE*, es posible resolver una amplia gama de problemas, que involucran grandes cantidades de tiempo y espacio, que pueden ser peligrosas o inaccesibles para los humanos e incluso para los robots [35].

Hoy en día, relativamente pocos estudios basados en simulaciones consideran las limitaciones de los sensores reales de los robots y la mayor parte de los algoritmos de comportamiento, no se transfieren a ningún sistema robótico real [36, 37]. Además, las aplicaciones del mundo real de la *RE* son pocas en el mercado y la mayoría de ellas se basan en herramientas de simulación, por lo que el gran logro de las aplicaciones de robótica móvil se espera en los próximos años [38]. Algunos ejemplos de aplicaciones potenciales se encuentran en la minería, búsqueda de sobrevivientes en deslizamientos de tierra, detección de derrames de petróleo en el mar, monitoreo de recursos, vigilancia, aplicaciones militares, exploración de otros planetas, entre otros [39, 40].

Para la aplicación a equipos de robots móviles, el comportamiento de agentes está restringido por ciertas limitaciones (por ejemplo, velocidades, energía

disponible, estimado de posiciones de agentes, capacidades de cómputo y comunicación limitadas) y por la necesidad de preservar la unidad en el grupo. Para los robots móviles, esta tarea generalmente se considera un problema de congregación (*flocking*), que consiste en preservar un grupo geoméricamente distinguido formado por los agentes en el espacio Euclidiano [6]. Por otra parte, los sistemas de *RE* están diseñados para ser autónomos y tomar decisiones de manera distribuida. En general, estas características se consideran positivas, pero restringe el grado de control sobre el sistema. Por lo que se han propuesto varias alternativas para interactuar con el enjambre y gobernar en su comportamiento, sin modificar su autonomía y auto-organización [41, 42].

En este trabajo de tesis, se presenta un modelo que incluye la cinemática y dinámica de cada robot en el enjambre, una configuración de los sensores para detectar robots vecinos y un algoritmo único, para que cada robot decida sus acciones en el enjambre. El algoritmo sólo depende de cuatro parámetros relacionados con un modelo general del comportamiento de los animales sociales llamados: repulsión, atracción, orientación e influencia (*RAOI*); los cuales permiten gobernar el comportamiento de enjambres de robots cuando se realizan tareas colaborativas.

## 1.2 ANTECEDENTES

El comportamiento de bandada o *flocking*, puede definirse como el comportamiento colectivo de un gran número de agentes, que interactúan con un objetivo grupal común. Por lo general, la dirección de movimiento surge de las interacciones entre los agentes en el enjambre. Estas interacciones se basan en la llamada “*regla del vecino más cercano*”, donde los agentes ajustan su movimiento basándose únicamente en sus vecinos más cercanos [43]. La definición de *flocking* se inspira en la observación de especies biológicas como parvadas de aves, bancos de

peces o enjambres de insectos [44].

En el trabajo de Reynolds [45], se propuso uno de los primeros modelos de movimiento en grupos de animales, que exhiben un comportamiento de *flocking*. Reynolds, define una bandada de aves como un grupo de objetos “*boids*” (bird-oid objects) que presentan un movimiento basado en tres reglas básicas de comportamiento:

- Separación (evitar colisiones), cada agente preserva distancias mínimas entre los agentes.
- Alineación (coincidencia de velocidad), cada agente conserva su dirección y velocidad lo más similar posible a las velocidades de los agentes más cercanos.
- Cohesión (agrupamiento), cada agente se mantiene lo más cerca posible de los agentes cercanos.

A pesar de la simplicidad de estas reglas, proporcionan al sistema las condiciones necesarias para preservar el enjambre. En este modelo, los individuos simulados tienen acceso directo a la posición, orientación y velocidad exactas de todos los objetos a su alrededor. Por lo que este tipo de enfoque, representa una percepción alejada de las capacidades reales de los animales sociales en la naturaleza, que conducen a la emergencia de un comportamiento colectivo.

Desde entonces, distintos trabajos han tratado de reproducir el comportamiento de enjambre (*flocking*) [46]. Por ejemplo, Vicsek et al. [47], modela un enjambre de partículas puntuales, que se mueven a velocidad constante en la dirección promedio de los vecinos locales, incluyendo perturbaciones aleatorias. Hartman y Benes [48] presentan otra variante del modelo original, al agregar una fuerza complementaria a la regla de alineación, que llaman un cambio de liderazgo. Además, se han realizado otros enfoques con agentes informados o líderes fijos [49, 50, 51]. En Gazi y Passino [43] se presenta una lista de algunos problemas



referentes a este marco, se detalla la consideración de los objetivos de los enjambres y las posibles soluciones teóricas.

Por otro lado, Couzin et al. [1], proponen un modelo que imita de manera más realista el movimiento de bandadas de aves y simula el comportamiento de los individuos con tendencias de repulsión, orientación y atracción, basadas en las características de las especies biológicas. Estas características son representadas por zonas que rodean a cada individuo. Para este modelo se establecen dos reglas de comportamiento: (1) Cada individuo intenta mantener una distancia mínima con sus vecinos en todo momento. (2) Si los individuos no están evadiendo a otros, entonces tienden a atraerse hacia otros y alinearse con sus vecinos.

De esta manera, las reglas de separación, alineación y cohesión se han utilizado para simular enjambres de robots, ejecutando una gran cantidad de tareas como: exploración, navegación, cobertura, transporte de objetos, pastoreo, entre otros [52]. De igual modo, en trabajos como Turgut et al. [53], se han logrado obtener comportamientos de *flocking*, en enjambres de robots con capacidades de detección simples.

En otros trabajos, se han buscado formas de control para influir en el comportamiento del enjambre. En Pac et al. [54] y Pimenta et al. [55], se propone un marco basado en la hidrodinámica de partículas, en enjambres modelados como fluidos para el control de comportamientos. Kira y Potter [56], utilizan un aprendizaje basado en casos para producir un modelo generalizado de los parámetros y propiedades globales, para situaciones específicas. Por otra parte, en trabajos como Goodrich et al. [57] y Jung et al. [58], desarrollaron un control que responde a la presencia de líderes o mediadores con interacción humana, manteniendo la conectividad del enjambre.

En estudios como Torney et al. [59], se mostraron las ventajas de la señalización para escalar gradientes ambientales. En Bashyal y Venayagamoorthy

[60], se estudió el comportamiento del enjambre con la interacción humana, considerando la localización de una fuente de radiación. Martinez et al. [61], proponen una estrategia basada en el movimiento Browniano, en el que cada robot se modela como una partícula cuyo movimiento está influenciado por señales del medio ambiente. Sin embargo, en la mayoría de los casos, el enfoque de control implementado para influir en el comportamiento de enjambre, requiere interacción humana, información global o conocer la posición de los miembros del enjambre, por lo que se pierde la propiedad de descentralización en el enjambre.

Aunque la *RE* es un campo de investigación relativamente joven y no ha sido ampliamente aceptado en la industria, se han diseñado y desarrollado distintas plataformas para probar y analizar algoritmos de enjambre, que son clasificadas de acuerdo con el entorno en el que se utilizan: terrestre, aéreo, acuático o espacial [23]. En relación a las aplicaciones de enjambre en la industria, se han desarrollado trabajos de agricultura [62, 63, 64], auxilio y rescate [65, 66, 67, 68], exploración y monitoreo [69, 70] y navegación [71]. Sin embargo, aún no se usan de forma íntegra algoritmos de enjambre, en cambio, se prefiere utilizar partes de los algoritmos y adaptarlos a la aplicación, por lo que muchos proyectos industriales todavía dependen del control centralizado.

Un desafío importante es la aplicación de la *RE* al campo de la ingeniería. Brambilla et al. [72], analizan la literatura y proponen definiciones y conceptos que contribuyen al uso de la *RE* al campo de la ingeniería. Del mismo modo, Garattoni y Birattari [73], presentan una investigación sobre trabajos existentes en *RE* desde una perspectiva de ingeniería. Otro desafío, es el modelado del sistema para poder simular enjambres de robots de manera efectiva. Hamman y Schmickl [74], promueven el modelado matemático formal de sistemas distribuidos y auto-organizados; mientras que en Correll y Hamann [75], contribuyen con otro trabajo sobre el modelado en la *RE*, donde proporcionan una visión generalizada de diferentes aspectos en los sistemas de enjambre (dinámica de población, colaboración, distribución de los miembros del enjambre, decisión colectiva y

optimización).

Hoy en día, el uso de enjambres de robots ha aumentado y se ha convertido en un área de investigación muy interesante, debido a sus propiedades de auto-organización, robustez, escalabilidad y flexibilidad, además de su capacidad de resolver gran cantidad de tareas; por lo cual se han propuesto muchas metodologías para el control de enjambres de robots. Sin embargo, en la actualidad, las aplicaciones de la *RE* todavía son pocas, aunque la investigación se ha llevado a cabo durante varias décadas, todavía no se ha producido un gran avance en este campo.

### 1.3 DESCRIPCIÓN DEL PROBLEMA

A pesar de que existen una gran cantidad de propuestas de algoritmos de enjambre con aproximaciones a comportamientos colectivos, las configuraciones presentadas en la literatura a menudo son complejas con entornos muy específicos, donde los agentes están diseñados para ser más sensibles a entradas particulares. Si bien se están aportando resultados valiosos a la comunidad, es necesario desarrollar modelos con un diseño más general y simple.

En la actualidad, relativamente pocos estudios basados en simulaciones consideran las limitaciones de los sensores reales de los robots, y la mayor parte de los algoritmos de comportamiento, no se transfieren a ningún sistema robótico real [36, 37]. Las aplicaciones del mundo real de la *RE* son pocas en el mercado y la mayoría de ellas son en realidad herramientas de simulación [38]. Además, la implementación de un esquema de enjambres en robots físicos es un tema de investigación abierto. A menudo, en la industria se utiliza el término “enjambre” únicamente para implicar el alto número de agentes, pero generalmente no implementan algoritmos basados en la *RE*. Las implementaciones descuidan la idea

principal de la *RE*, que es la toma de decisiones distribuida que conduce a un comportamiento emergente auto-organizado. Con el fin de facilitar la implementación física, es necesaria la creación de esquemas que se basen en la información local percibida y no dependan de la posición de los demás robots, es decir, sin el uso de métodos centralizados.

Basados en Couzin [1], se propone un algoritmo de navegación de cada individuo con tendencias de repulsión, orientación y atracción. Añadiendo un cuarto parámetro llamado influencia, el cual permite estimular al enjambre para enfatizar en una tarea específica. Por medio de cambios en los parámetros de repulsión, atracción, orientación e influencia, es posible gobernar en el comportamiento de un enjambre de robots. Los parámetros *RAOI*, explican el comportamiento de un enjambre en la naturaleza y son incluidos en ecuaciones matemáticas. Estas ecuaciones son transformadas en políticas de comportamientos que son programadas en cada uno de los robots del enjambre. El modelo propuesto incluye la cinemática y la dinámica de cada robot en el enjambre, una configuración de los sensores para detectar robots vecinos y un algoritmo único para que cada robot decida sus acciones en el enjambre. El desarrollo de nuevas reglas de comportamiento consiste en modificar los parámetros *RAOI*; por lo que existe una relación entre la configuración de parámetros, que puede adoptar un enjambre, con el comportamiento colectivo emergente al ejecutar una tarea. El enfoque propuesto espera promover en el enjambre la aparición de comportamientos colectivos.

Se proponen dos tareas con el fin de analizar el comportamiento del enjambre con el modelo propuesto. En primer lugar, se aborda una tarea de tipo depredador-presa, donde una bandada de robots depredadores colabora para capturar a un robot presa. En segundo lugar, se aborda una tarea de transporte de objetos, donde el enjambre de robots manipula objetos distribuidos espacialmente y los agrupa en una zona de descarga. El objetivo es estimular las propiedades del enjambre mediante los parámetros *RAOI* y cuantificar las características del

comportamiento colaborativo emergente. Mediante simulaciones computacionales, se prueba el modelo propuesto para conocer el impacto de los parámetros; además, el algoritmo se implementa y se valida experimentalmente en una mandada de robots móviles con limitaciones de hardware y software.

## 1.4 HIPÓTESIS

El cambio en los parámetros  $RAOI$  en un enjambre de robots, mantiene las características descentralizadas del sistema y provoca emergencia de colaboración entre los robots, que se refleja en una variación en el tiempo de ejecución de una tarea específica.

## 1.5 OBJETIVOS

### 1.5.1 OBJETIVO GENERAL

Por medio de indicadores de eficiencia, analizar el desempeño en un enjambre de robots en la ejecución de tareas, al aplicar reglas de comportamiento basadas en los parámetros  $RAOI$ , asociados a señales sensoriales locales.

### 1.5.2 OBJETIVOS PARTICULARES

- Generar reglas de comportamiento locales, inspiradas en computación de enjambres basado en los parámetros  $RAOI$ .
- Desarrollar una plataforma de simulación para tareas colaborativas, incluyendo

las reglas de comportamiento de enjambre.

- Probar tareas de depredador-presa y transporte de objetos, en el simulador de enjambres y establecer indicadores de eficiencia.
- Explorar en un enjambre de robots físicos el efecto de los parámetros *RAOI*, en tareas de depredador-presa y transporte de objetos, así como su eficiencia.

## 1.6 CONTRIBUCIONES

Este trabajo propone mantener las propiedades del enjambre utilizando reglas de comportamiento simples, basadas en parámetros *RAOI* e información local. Por lo tanto, algunas contribuciones del enfoque propuesto se pueden resumir de la siguiente manera:

- El esquema de navegación de cada individuo permite la ejecución de tareas colaborativas en un enjambre en ausencia de líderes, control centralizado e información global.
- Se obtienen modelos de índice para cuantificar el impacto de los parámetros *RAOI* en el enjambre.
- El enfoque se implementa en un enjambre experimental de robots físicos con capacidades de hardware y software limitadas.

El modelo propuesto se inspira por reglas simples propuestas por Couzin [1], cuyas ecuaciones establecen un comportamiento colectivo específico y se regulan con tres parámetros (repulsión, atracción, orientación). En adición se incluye un cuarto parámetro llamado “influencia”, que consiste en la detección de estímulos específicos. De modo que, algunas tareas sólo pueden incluirse mediante la

inclusión de ciertos estímulos de influencia y configuraciones paramétricas de comportamiento, considerando los parámetros de repulsión, atracción y orientación. Un aspecto importante presentado en este trabajo de tesis, es que la colaboración surge de la interacción de los robots como enjambre. Debido a que en la implementación física no es posible conocer la orientación de los vecinos, en general, sólo se implementan tres reglas: (1) evitar colisiones (repulsión), (2) seguir a otros robots (atracción) y (3) seguir a la influencia al cambiar el estímulo. Todos los robots exhiben cooperación para realizar tareas colaborativas.

## 1.7 ORGANIZACIÓN DE LA TESIS

El Capítulo 2, presenta a los miembros del enjambre conformado por robots móviles de tipo diferencial, cuyo comportamiento se describe mediante sus modelos cinemático y dinámico. Posteriormente, se muestra la arquitectura de cada robot y las limitaciones sensoriales de cada uno, se explican las reglas de comportamiento y cómo opera cada robot al interactuar con sus vecinos y su entorno. En el Capítulo 3, se describe el desarrollo de las simulaciones y experimentos. Además, se describen los casos experimentales planteados para el análisis del comportamiento del enjambre. En el Capítulo 4, se muestran los resultados obtenidos de las simulaciones y experimentos. En el Capítulo 5, se señalan las conclusiones y propuestas de trabajo futuro.

En el Apéndice A, se añade un reporte técnico de los robots “BugBot”, que muestra sus características y funcionamiento. Finalmente, en los Apéndices B y C, se presentan los códigos de las reglas de comportamiento de cada individuo implementados en *Arduino<sup>TM</sup>* y *Scilab*, respectivamente.

## CAPÍTULO 2

# ROBÓTICA DE ENJAMBRES

---

En este capítulo, se describen las características del enjambre, así como las reglas de comportamiento implementadas. Al inicio, se presenta el modelo matemático de un robot móvil con configuración diferencial para representar a cada miembro del enjambre. Posteriormente, se describe la arquitectura de los robots, capacidad sensorial y las limitaciones de cada uno de ellos. Después, se desarrollan reglas de comportamiento sencillas, tomando como base el modelo de Couzin [1] y adaptándolo a robots simples con movimiento en dos dimensiones. Estas reglas son implementadas en cada robot para cambiar su dirección en base a los parámetros de repulsión y atracción, y con la interacción de factores de influencia. Por último, se describe el proceso para la validación numérica y experimental de las reglas propuestas.

## 2.1 MODELO MATEMÁTICO DE ROBOTS

Para probar algunos conceptos sobre el rendimiento del enjambre bajo las reglas de comportamiento locales propuestas, se requieren simulaciones de un enjambre de robots lo más cercano posible a la realidad. Cada miembro del enjambre está representado por un robot móvil con configuración diferencial, como se muestra en



la Figura 2.1. Tomando como base el trabajo de Bara y Dale [76], se obtienen los modelos cinemático y dinámico de esta configuración, así como el modelo de los motores de CC incorporados en las ruedas [77, 78], lo cual también se ilustra en [79]. Existen otros modelos que consideran interacciones dinámicas complejas como Liu et al. [80, 81]; sin embargo, en este trabajo se considera un modelo simplificado.

### 2.1.1 MODELO CINEMÁTICO

En la Figura 2.1, el vector de coordenadas generalizadas  $\mathbf{q}_g = [x_g \ y_g \ \theta]^T$  especifica la posición y orientación del centro de masa  $G$  del robot móvil con respecto al marco cartesiano inercial  $\{I\}$ .

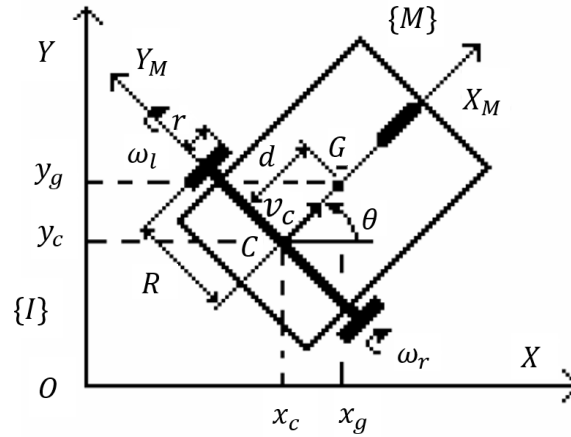


FIGURA 2.1: Robot móvil con configuración diferencial.

Para esta configuración, las velocidades angulares  $\omega_r$  y  $\omega_l$  aplicadas a las ruedas derecha e izquierda, respectivamente, pueden ser diferentes y por lo tanto el movimiento del robot en el plano horizontal es compuesto.

$$\begin{bmatrix} v_c \\ \omega_c \end{bmatrix} = A \begin{bmatrix} \omega_r \\ \omega_l \end{bmatrix}, \quad (2.1)$$

con

$$A = \begin{bmatrix} \frac{r}{2} & \frac{r}{2} \\ \frac{r}{2R} & -\frac{r}{2R} \end{bmatrix}.$$

La Ecuación (2.1) es válida siempre y cuando el robot satisfaga las condiciones de rodadura pura; donde  $v_c$  y  $\omega_c$  son las magnitudes de las velocidades lineal y angular, respectivamente, del marco conectado al robot  $\{M\}$ ,  $R$  es la distancia entre las ruedas y el eje central del robot  $C$  y  $r$  es el radio de las ruedas.

Por otro lado, el vector de velocidades  $\mathbf{v} = [v_c \ \omega_c]^T$  del marco móvil  $\{M\}$ , puede ser transformado a velocidades cartesianas  $\dot{\mathbf{q}}_g = [\dot{x}_g \ \dot{y}_g \ \dot{\theta}]^T$  del marco inercial  $\{I\}$ , mediante la Ecuación (2.2) con matriz Jacobiana  $\mathbf{S}(\mathbf{q}_g)$  (Ec. 2.3); donde  $d$  es la distancia entre el centro de masas  $G$  y el origen del marco móvil  $\{M\}$ .

$$\dot{\mathbf{q}}_g = \mathbf{S}(\mathbf{q}_g)\mathbf{v}, \quad (2.2)$$

$$\mathbf{S}(\mathbf{q}_g) = \begin{bmatrix} \cos(\theta) & -d \sin(\theta) \\ \sin(\theta) & d \cos(\theta) \\ 0 & 1 \end{bmatrix}. \quad (2.3)$$

Finalmente, de acuerdo con las Ecuaciones (2.1) y (2.2), el modelo cinemático del robot puede ser escrito de forma explícita:

$$\begin{bmatrix} \dot{x}_g \\ \dot{y}_g \\ \dot{\theta} \end{bmatrix} = \begin{bmatrix} \frac{r}{2} \cos(\theta) - \frac{rd}{2R} \sin(\theta) & \frac{r}{2} \cos(\theta) + \frac{rd}{2R} \sin(\theta) \\ \frac{r}{2} \sin(\theta) + \frac{rd}{2R} \cos(\theta) & \frac{r}{2} \sin(\theta) - \frac{rd}{2R} \cos(\theta) \\ \frac{r}{2R} & -\frac{r}{2R} \end{bmatrix} \begin{bmatrix} \omega_r \\ \omega_l \end{bmatrix}. \quad (2.4)$$

### 2.1.2 MODELO DINÁMICO

Dado que la posición  $\vec{P}_g$  del centro de masas  $G$  se escribe en forma polar como:

$$\vec{P}_g = \vec{P}_c + d e^{j\theta}, \quad (2.5)$$

donde  $\vec{P}_c$  es la posición del origen del marco móvil; la aceleración lineal  $\vec{a}_g$  del centro de masas  $G$ , es obtenida por la derivada de segundo orden de la Ecuación (2.5):

$$\vec{a}_g = (\dot{v}_c - d\dot{\theta}^2)e^{j\theta} + j(d\ddot{\theta} + v_c\dot{\theta})e^{j\theta}. \quad (2.6)$$

El primer término es el componente radial que tiene la misma dirección que el vector de desplazamiento y el segundo es el componente tangencial; de modo que, el movimiento hacia adelante del centro de masa  $G$  del robot, se describe por la Segunda Ley de Newton:

$$m\dot{v}_c - md\dot{\theta}^2 = F_c, \quad (2.7)$$

y el movimiento de rotación por:

$$(I + md^2)\ddot{\theta} + mdv_c\dot{\theta} = \tau_c, \quad (2.8)$$

donde  $I$  es el momento de inercia y  $m$  es la masa del robot.

Por otra parte, la fuerza  $F_c$  y par  $\tau_c$  son producidos por los pares  $\tau_r$  y  $\tau_l$  aplicados en la rueda derecha e izquierda, respectivamente, es decir:

$$\begin{aligned} F_c &= \frac{1}{r} (\tau_r + \tau_l), \\ \tau_c &= \frac{R}{r} (\tau_r - \tau_l). \end{aligned} \tag{2.9}$$

Tomando las Ecuaciones (2.7), (2.8) y (2.9), y considerando fricción viscosa en el modelo dinámico del robot, este se representa en forma compacta como:

$$M\dot{\mathbf{v}} + H(\mathbf{v}) + Z\mathbf{v} = B\tau, \tag{2.10}$$

con

$$M = \begin{bmatrix} m & 0 \\ 0 & I + md^2 \end{bmatrix}, \quad H(\mathbf{v}) = \begin{bmatrix} -md\dot{\theta}^2 \\ mdv_c\dot{\theta} \end{bmatrix},$$

$$Z = \begin{bmatrix} \zeta_{11} & \zeta_{12} \\ \zeta_{21} & \zeta_{22} \end{bmatrix}, \quad B = \begin{bmatrix} \frac{1}{r} & \frac{1}{r} \\ \frac{R}{r} & -\frac{R}{r} \end{bmatrix},$$

donde  $M$  es la matriz de inercia, simétrica y definida positiva,  $H(\mathbf{v})$  es el vector de Coriolis y fuerzas centrífugas,  $Z$  es una matriz con coeficientes de fricción viscosa ( $\zeta_{11}, \zeta_{12}, \zeta_{21}$  y  $\zeta_{22}$ ),  $B$  es la matriz de entrada, y  $\tau = [\tau_r \ \tau_l]^T$  es el vector de entrada de los pares de las ruedas.

### 2.1.3 MODELO DEL ACTUADOR

Por otro lado, se considera que los actuadores de las ruedas están dados por motores de CC; por tanto, basados en la teoría de perturbación singular, el modelo se obtiene bajo el supuesto de “pequeños” valores de inductancia de armadura ( $L_{a,i} \frac{di_{a,i}}{dt} \approx 0$ ) para ambas ruedas con motor de CC [77, 78], es decir:

$$J_{m,i}\dot{\omega}_i + b_i\omega_i + \frac{k_{\tau,i}k_{fem,i}}{R_{a,i}}\omega_i + \frac{1}{N_i^2}\tau_i = \frac{k_{\tau,i}}{N_i R_{a,i}}u_i, \quad (2.11)$$

donde  $J_{m,i}$  es la inercia del rotor y rueda,  $\omega_i$  y  $\dot{\omega}_i$  es la velocidad y aceleración angular de la rueda, respectivamente,  $b_i$  es una constante de fricción viscosa,  $L_{a,i}$  es la inductancia de armadura,  $\tau_i$  es el par de carga aplicado sobre la caja de cambios en la rueda,  $R_{a,i}$  es la resistencia de armadura,  $i_{a,i}$  es la corriente de armadura,  $k_{\tau,i}$  es la constante de par-motor,  $k_{fem,i}$  es la constante de fuerza contraelectromotriz,  $N_i$  es la relación de reducción de engranes,  $u_i$  es el voltaje de la armadura como entrada e  $i = \{r, l\}$  es el subíndice para la rueda derecha e izquierda, respectivamente.

Para simplificar la dependencia de los parámetros del motor, la Ecuación (2.11) puede reescribirse como:

$$\tau_{s,i}\dot{\omega}_i + \omega_i + k_{L,i}\tau_i = k_{s,i}u_i, \quad (2.12)$$

donde

$$\tau_{s,i} = \frac{J_{m,i}}{b_i + \frac{k_{\tau,i}k_{emf,i}}{R_{a,i}}}, \quad k_{L,i} = \frac{\frac{1}{N_i^2}}{b_i + \frac{k_{\tau,i}k_{emf,i}}{R_{a,i}}}, \quad k_{s,i} = \frac{\frac{k_{\tau,i}}{N_i R_{a,i}}}{b_i + \frac{k_{\tau,i}k_{emf,i}}{R_{a,i}}},$$

para cada rueda  $i = \{r, l\}$ .

De esta forma, el modelo de las dos ruedas con actuadores se representa en forma compacta

$$T \begin{bmatrix} \dot{\omega}_r \\ \dot{\omega}_l \end{bmatrix} + \begin{bmatrix} \omega_r \\ \omega_l \end{bmatrix} + K_L \begin{bmatrix} \tau_r \\ \tau_l \end{bmatrix} = K_s \begin{bmatrix} u_r \\ u_l \end{bmatrix}, \quad (2.13)$$

con

$$T = \begin{bmatrix} \tau_{s,r} & 0 \\ 0 & \tau_{s,l} \end{bmatrix}, \quad K_L = \begin{bmatrix} k_{L,r} & 0 \\ 0 & k_{L,l} \end{bmatrix}, \quad K_s = \begin{bmatrix} k_{s,r} & 0 \\ 0 & k_{s,l} \end{bmatrix}.$$

De modo que, la Ecuación (2.13) se puede ajustar en términos del vector de velocidades del robot  $\mathbf{v} = [v_c \ \omega_c]^T$ , al considerar la Ecuación (2.1)

$$TA^{-1}\dot{\mathbf{v}} + A^{-1}\mathbf{v} + K_L \begin{bmatrix} \tau_r \\ \tau_l \end{bmatrix} = K_s \begin{bmatrix} u_r \\ u_l \end{bmatrix}. \quad (2.14)$$

Por último, manipulando las Ecuaciones (2.10) y (2.14), se obtiene el modelo dinámico completo del robot con actuadores, dado por:

$$(M + BK_L^{-1}TA^{-1})\dot{\mathbf{v}} + (H(\mathbf{v}) + Z\mathbf{v} + BK_L^{-1}A^{-1}\mathbf{v}) = BK_L^{-1}K_s u, \quad (2.15)$$

donde  $u = [u_r \ u_l]^T$  es el vector de las entradas de voltaje para los motores de CC derecho e izquierdo.

## 2.2 ARQUITECTURA DE LOS ROBOTS

Debido a que se abordan dos casos de estudio, se construyeron dos modelos de robot con las capacidades mínimas requeridas en función a la tarea a ejecutar (depredador-presa o transporte de objetos). Ambos modelos tienen arquitectura homogénea (respectiva a cada enjambre) con configuración diferencial, donde la cinemática y dinámica se describen por las Ecuaciones (2.4) y (2.15). Cada robot tiene sensores de proximidad para obtener la distancia y detectar otros robots u obstáculos (sensores ultrasónicos e infrarrojos), además *LDRs* (*resistencia dependiente de la luz*) que permiten obtener la información de la luz percibida en el entorno. Incluyen también un magnetómetro para conocer la orientación del robot.

### 2.2.1 TERRAN

Los robots *Terrans* cuentan con un dispositivo *Arduino<sup>TM</sup>micro* y un módulo *Bluetooth<sup>®</sup>*, que se ha utilizado para tener comunicación entre el usuario y el *Terran*, y establecer una configuración de valores paramétricos. La Figura 2.2, ilustra la ubicación de los sensores y dispositivos en el robot.

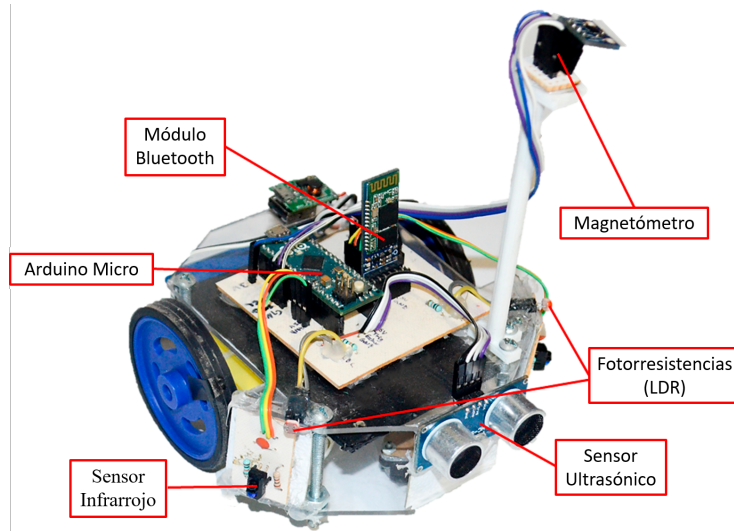
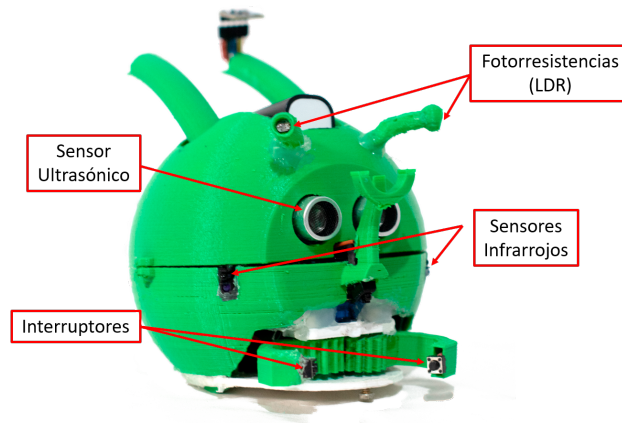


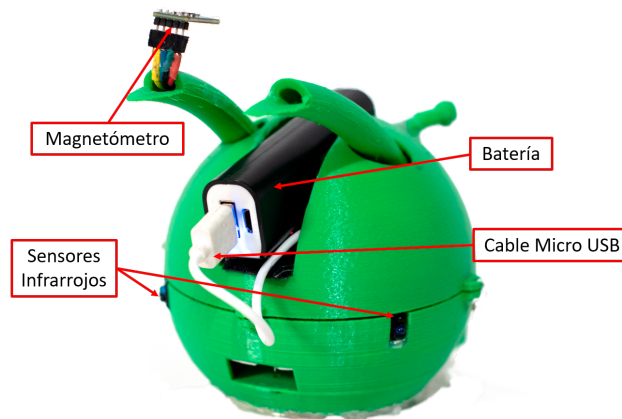
FIGURA 2.2: Ubicación de sensores y dispositivos en la arquitectura del robot *Terran*.

### 2.2.2 BUGBOT

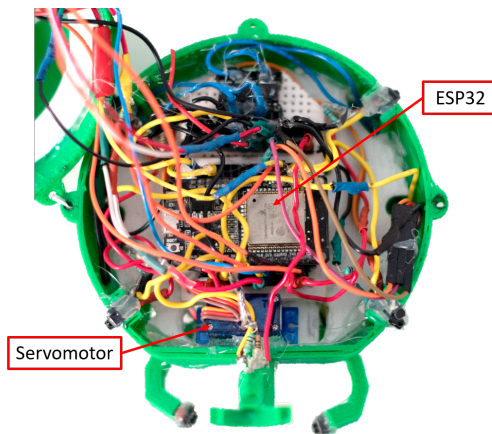
Los robots *BugBot* cuentan con un dispositivo *ESP32* con tecnología *Wi-Fi* y *Bluetooth<sup>®</sup>* de modo dual integrada, que se ha utilizado para tener comunicación entre el usuario y el *BugBot*, y establecer una configuración de valores paramétricos. Además, incorpora un mecanismo de sujeción para tomar objetos pequeños, el cual es activado por un servomotor. Por último, el diseño incluye dos interruptores tipo *push-button* para encender y apagar el *BugBot*. La Figura 2.3, ilustra la ubicación de los sensores y dispositivos en el robot.



(a) Vista frontal.



(b) Vista posterior.



(c) Vista superior.

FIGURA 2.3: Ubicación de sensores y dispositivos en la arquitectura del robot *BugBot*.



### 2.2.3 LIMITACIONES SENSORIALES DE LOS ROBOTS

Los movimientos permitidos en los robots son giros sobre su propio eje y avance; esta limitación se asemeja con las capacidades sensoriales de los seres vivos, ya que cuentan con un determinado rango de visión y no cubre la totalidad del espacio a su alrededor.

El número de objetos detectados, depende de la cantidad de sensores disponibles en los robots. Sin importar el número de robots que se encuentren dentro de la zona de percepción del sensor, este los considera como uno, ya que no puede determinar la cantidad de vecinos frente a él. La Figura 2.4, muestra las zonas de percepción  $Q_1, Q_2, Q_3, Q_4$  y  $Q_5$ , que corresponden a los sensores de proximidad de cada robot.

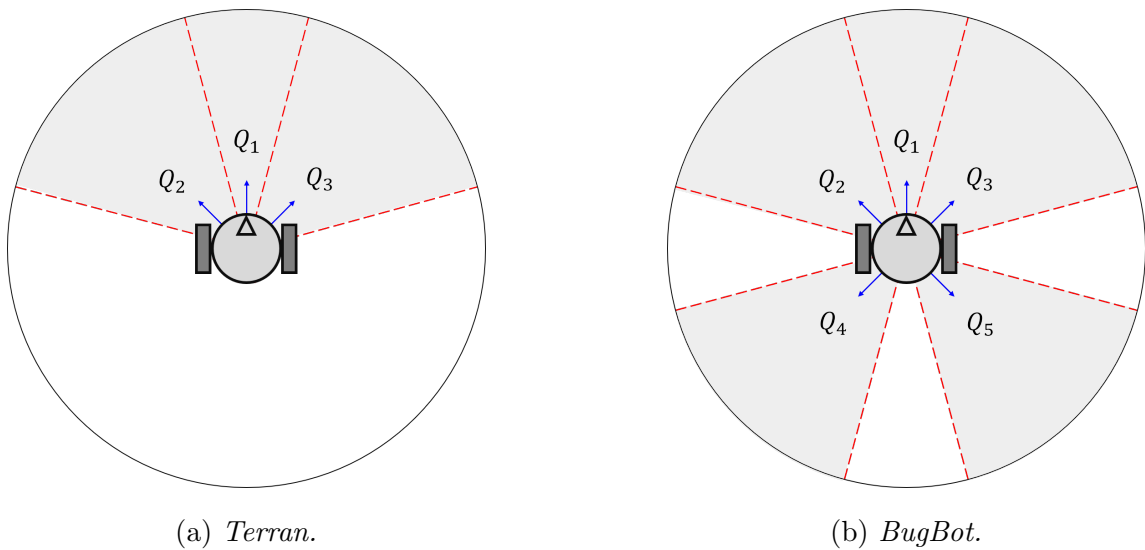


FIGURA 2.4: Zonas de percepción correspondientes a los sensores incorporados.

El uso de sensores de proximidad limita la capacidad sensorial de los robots; en consecuencia, si algún robot se encuentra detrás de los vecinos más cercanos, estos no pueden ser detectados aunque se encuentren dentro del área de percepción, como se muestra en la Figura 2.5.

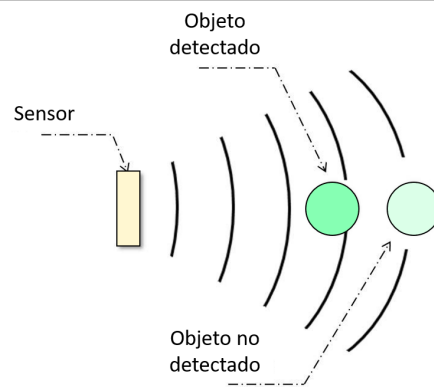


FIGURA 2.5: Limitaciones de los sensores de proximidad.

Debido a estas consideraciones, los robots sólo tienen información sobre una distancia aproximada a sus vecinos u obstáculos en la dirección del sensor de proximidad correspondiente; en consecuencia, no pueden percibir el movimiento que se genera en su entorno. Además, no pueden comunicarse entre sí, existen puntos ciegos de percepción y no existe información sobre la orientación o el número exacto de los vecinos.

## 2.3 REGLAS DE COMPORTAMIENTO

El comportamiento de los miembros del enjambre se basa en el modelo propuesto por Couzin et al. [1], que utiliza las reglas de congregación (*flocking*) propuestas por Reynolds [45]. Este modelo que imita de manera más realista el movimiento de bandadas de aves y simula el comportamiento de los individuos, basado en tres características de las especies biológicas (repulsión, orientación y atracción). Estas características son representadas por zonas que rodean a cada individuo (Figura 2.6a).

La primera zona es la zona de repulsión (*ZOR*) de radio  $r_r$  es la más cercana al robot, cuando se detectan vecinos dentro de esta zona, el individuo intenta mantenerse alejado de ellos. La segunda zona es la zona de orientación (*ZOO*) de

radio  $r_o$ , cuando se detectan vecinos dentro de esta zona, el individuo intenta alinearse de la misma forma que ellos. La tercera zona es la zona de atracción ( $ZOA$ ) de radio  $r_a$ , cuando se detectan vecinos dentro de esta zona, el individuo intenta acercarse a ellos. Cada zona se superpone una de la otra, teniendo como prioridad el orden en que fueron mencionadas. Al modificar los valores de los radios  $r_r$ ,  $r_o$  y  $r_a$  surgen comportamientos colectivos con la interacción de sus vecinos, permitiendo cambiar la distribución o forma que puede adaptar el enjambre.

En este modelo se propone una cuarta zona llamada zona de influencia ( $ZOI$ ) de radio  $r_i$ , que se superpone sobre las otras zonas (Figura 2.6b), cuando se percibe un estímulo de influencia en el entorno dentro de esta zona, el individuo tiende a acercarse a la fuente de influencia detectada. Esta zona estimula a los miembros del enjambre para cambiar su comportamiento y enfatizar sobre la tarea a realizar.

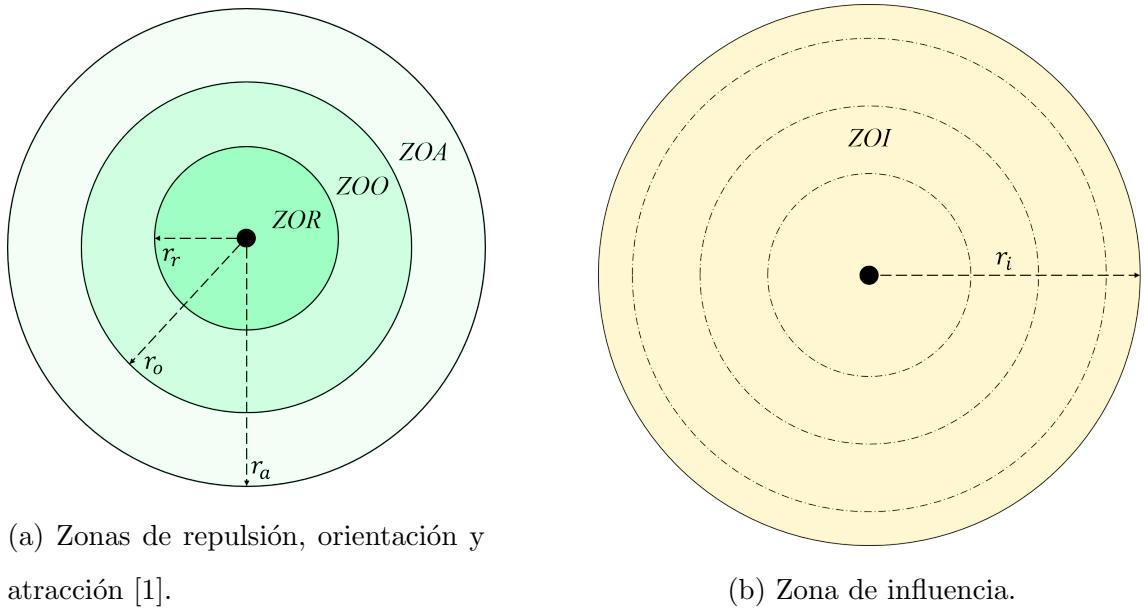


FIGURA 2.6: Zonas propuestas para el modelo de comportamiento de enjambre.

Cada miembro del enjambre tiene la posibilidad de realizar diferentes comportamientos (repulsión, orientación, atracción e influencia). La dirección de movimiento surge de las interacciones con los vecinos e influencia detectados en  $ZOR$ ,  $ZOO$ ,  $ZOA$ , y  $ZOI$  respectivamente. La Figura 2.7, muestra el vector de

dirección de cada individuo en relación a la zona detectada.

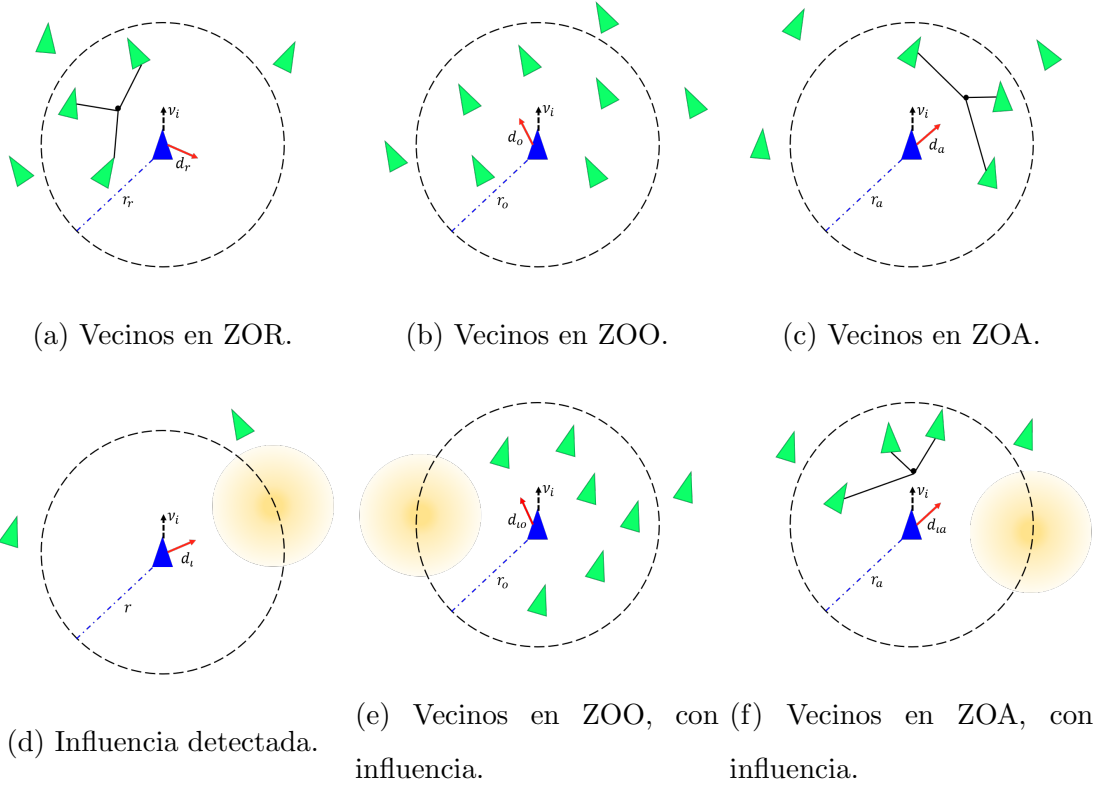


FIGURA 2.7: Vectores de dirección respecto a zona detectada.

El modelo matemático se basa en dar a cada individuo una noción de repulsión, orientación, atracción hacia otros miembros del enjambre y estímulos por influencia con el entorno. El enjambre está compuesto de  $N$  individuos ( $i = 1, 2, \dots, N$ ) con vectores de posición ( $\rho_i$ ) y vectores de dirección unitaria ( $\nu_i$ ), que viajan a través del espacio de búsqueda a velocidad constante, en cada iteración los individuos determinan la nueva dirección de viaje deseada, mediante la detección de los vecinos dentro de las zonas.

Si un individuo ( $i$ ) encuentra a vecinos ( $j$ ) dentro de  $ZOR$  (Figura 2.7a), el vector de dirección deseado cambia por la siguiente ecuación:

$$d_r(t+1) = - \sum_{j \neq i}^{n_r} \frac{(\rho_j(t) - \rho_i(t))}{|\rho_j(t) - \rho_i(t)|} \quad (2.16)$$

Esta regla de comportamiento tiene mayor prioridad en el modelo, de modo que, si se encuentran vecinos en *ZOR* ( $n_r > 0$ ) la dirección deseada  $\nu_i(t+1) = d_r(t+1)$ ; por tanto, *ZOR* permite a los individuos mantener su espacio personal y evitar colisiones. Si no se encuentran vecinos en *ZOR* ( $n_r = 0$ ), los individuos responden a otros dentro de las zonas *ZOO* y *ZOA*, y estímulos por influencia detectados en *ZOI*.

Si un individuo encuentra a vecinos dentro de *ZOO* (Figura 2.7b), intenta alinearse con ellos:

$$d_o(t+1) = \sum_{j=i}^{n_o} \frac{\nu_j(t)}{|\nu_j(t)|}, \quad (2.17)$$

y si son encontrados dentro de *ZOA* (Figura 2.7c), intenta acercarse a ellos:

$$d_a(t+1) = \sum_{j \neq i}^{n_a} \frac{(\rho_j(t) - \rho_i(t))}{|\rho_j(t) - \rho_i(t)|}. \quad (2.18)$$

La atracción es una tendencia de los organismos para unirse a grupos, mientras que la orientación permite el movimiento colectivo. De modo que, si vecinos son encontrados en *ZOO* ( $n = n_o$ ), entonces  $\nu_i(t+1) = d_o(t+1)$ , de igual modo, si vecinos son encontrados en *ZOA* ( $n = n_a$ ), entonces  $\nu_i(t+1) = d_a(t+1)$  y si vecinos son encontrados en ambas zonas, entonces  $\nu_i(t+1) = \varpi_o d_o(t+1) + \varpi_a d_a(t+1)$ ; donde  $\varpi_o$  y  $\varpi_a$  son la ponderación de peso de *ZOR* y *ZOA*, respectivamente.

Por otro lado, si se detecta un estímulo por influencia ( $s_i$ ), dentro de *ZOI* (Figura 2.7d), el individuo tiende hacia la posición del factor de influencia detectado ( $\rho_i$ ); por lo que el vector de dirección deseado cambia por la siguiente ecuación:

$$d_i(t+1) = \frac{(\rho_i - \rho_i)}{|\rho_i - \rho_i|}. \quad (2.19)$$

Si se detectan vecinos en  $ZOO$  y  $s_i = 1$  (Figura 2.7e), entonces  $\nu_i(t+1) = \varpi_i d_i(t+1) + \varpi_o d_o(t+1)$ , de igual forma, si se detectan vecinos en  $ZOA$  y  $s_i = 1$  (Figura 2.7f), entonces  $\nu_i(t+1) = \varpi_i d_i(t+1) + \varpi_a d_a(t+1)$ . Por último, si se detectan vecinos en  $ZOO$  y  $ZOA$ , y  $s_i = 1$ , entonces  $\nu_i(t+1) = \varpi_i d_i(t+1) + \varpi_o d_o(t+1) + \varpi_a d_a(t+1)$ ; donde  $\varpi_i$  es la ponderación de peso de  $ZOI$ .

Las reglas de comportamiento presentadas se resumen en la siguiente ecuación:

$$\nu_i(t+1) = \begin{cases} d_r(t+1), & \text{si } n_r > 0 \\ d_o(t+1), & \text{si } n_r, n_a, s_i = 0 \quad \& \quad n_o > 0 \\ d_a(t+1), & \text{si } n_r, n_o, s_i = 0 \quad \& \quad n_a > 0 \\ d_i(t+1), & \text{si } n_r, n_o, n_a = 0 \quad \& \quad s_i = 1 \\ \varpi_o d_o(t+1) + \varpi_a d_a(t+1), & \text{si } n_r, s_i = 0 \quad \& \quad n_o, n_a > 0 \\ \varpi_i d_i(t+1) + \varpi_o d_o(t+1), & \text{si } n_r, n_a = 0 \quad \& \quad s_i, n_o > 0 \\ \varpi_i d_i(t+1) + \varpi_a d_a(t+1), & \text{si } n_r, n_o = 0 \quad \& \quad s_i, n_a > 0 \\ \varpi_i d_i(t+1) + \varpi_o d_o(t+1) + \varpi_a d_a(t+1), & \text{si } n_r = 0 \quad \& \quad s_i, n_o, n_a > 0 \end{cases} \quad (2.20)$$

Finalmente cada individuo gira hacia el vector de dirección  $\nu_i(t+1)$  por un ángulo de giro ( $\vartheta$ ). Siempre que el ángulo entre  $\nu_i(t)$  y  $\nu_i(t+1)$  sea menor que el ángulo de giro máximo ( $\vartheta_{max}$ ), el cual es determinado en función de las restricciones de movimiento por la arquitectura del robot, entonces la dirección de giro cambia a  $\nu_i(t+1)$ ; sino, el individuo gira  $\vartheta_{max}$  hasta la dirección deseada.

$$\vartheta = \begin{cases} \vartheta, & \text{si } \vartheta < \vartheta_{max}, \\ \vartheta_{max}, & \text{si } \vartheta \geq \vartheta_{max}. \end{cases} \quad (2.21)$$

De esta forma, cada robot interactúa por medio de estas reglas de comportamiento con sus vecinos y el entorno, y como consecuencia, surge un comportamiento global (Figura 2.8); el cual puede gobernarse mediante cambios en la configuración de valores paramétricos  $r_r$ ,  $r_a$ ,  $r_o$  y  $r_i$ .

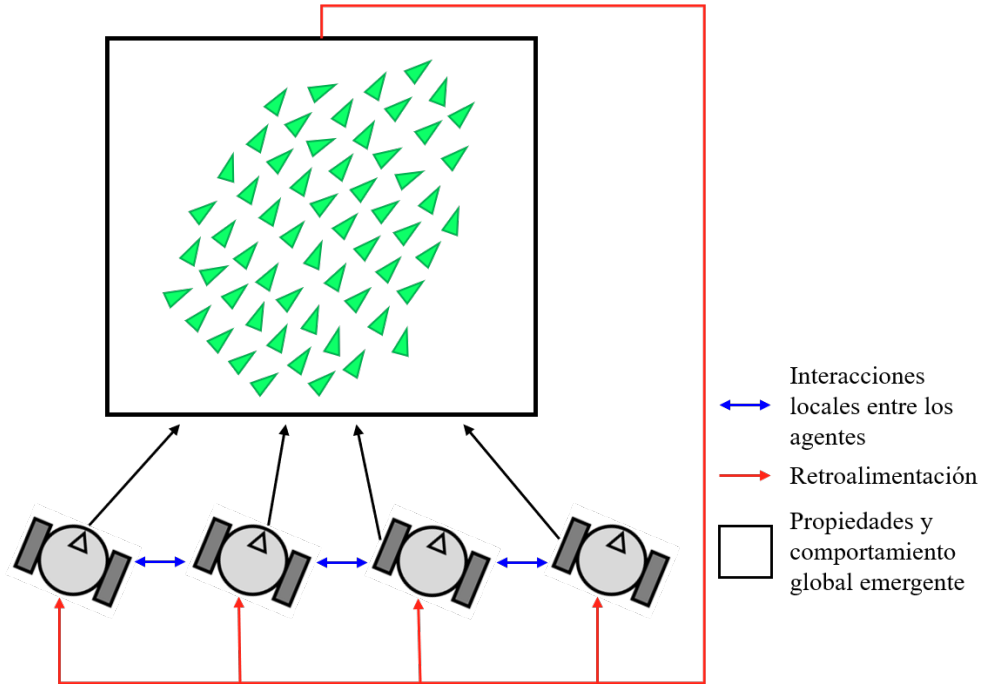


FIGURA 2.8: Comportamiento emergente en el enjambre.

### 2.3.1 IMPLEMENTACIÓN DE REGLAS EN UN SISTEMA EMBEBIDO

Para transportar las reglas de comportamiento de la Ecuación (2.20) en pequeños robots que no usan comunicación o mecanismos de detección complejos, el modelo propuesto fue simplificado en dos dimensiones; además se consideran las limitaciones de hardware y software de cada robot.

En la arquitectura de robot propuesta, cada miembro del enjambre tiene la capacidad de monitorear sectores de visión para detectar vecinos y obstáculos. Estos sectores, son representados por vectores unitarios  $(u_1, u_2, u_3, u_4 \text{ y } u_5)$  en la dirección de los sensores con los que cuenta cada robot en un sistema de coordenadas local, como se muestra en la Figura 2.9. La ubicación de los sensores permite dividir las zonas de comportamiento en nuevas secciones (Figuras 2.10a y 2.10b). La zona  $Q_{1a}$  es la única que permite al robot ser atraído por sus vecinos, mientras que las zonas  $Q_{kr}$  para  $k = 1, 2, 3, 4, 5$ , se limitan sólo para repeler a sus vecinos y así evitar colisiones. Debido a que no existe información sobre la orientación, la zona  $Q_{1o}$  se considera

con un valor nulo para todos los casos.

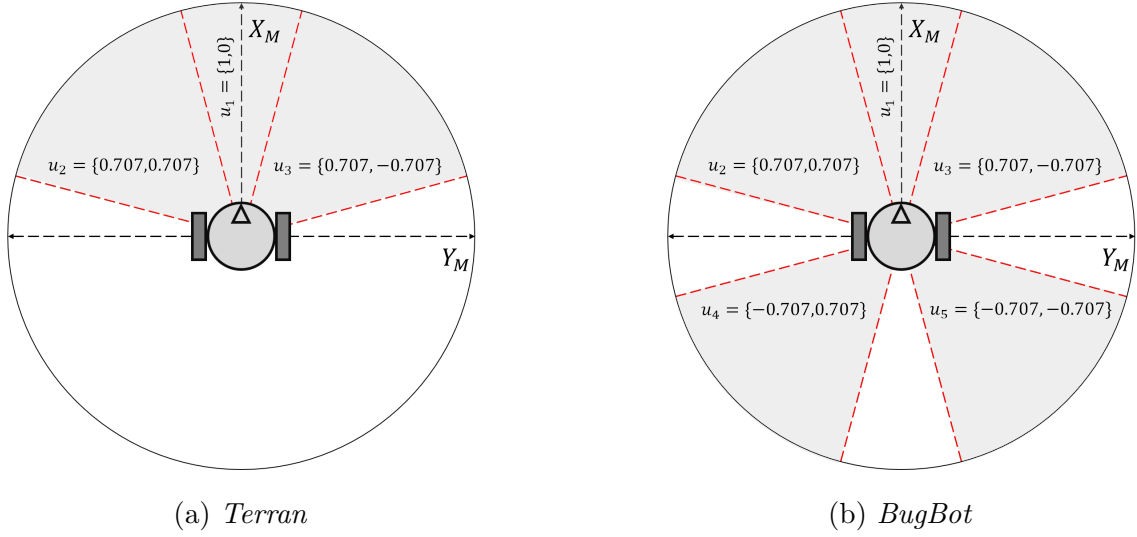


FIGURA 2.9: Vectores de dirección de cada sensor.

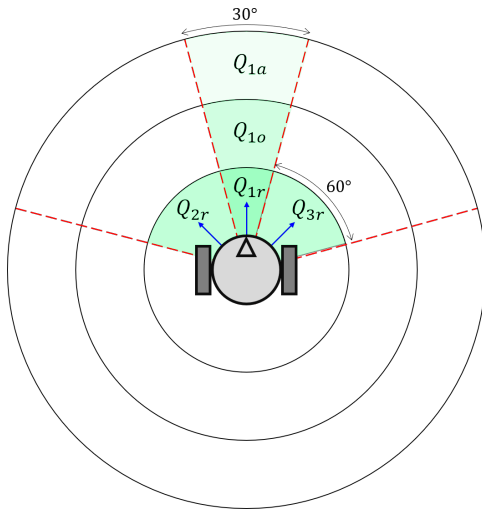
Como factor de influencia se propone la luz que hay en el entorno, para esto se consideran zonas de recepción de luz  $\gamma_l$  y  $\gamma_r$  (Figura 2.10c); que corresponden a los sensores de luz (*LDR*) incorporados en los robot. La zona donde se traslapan  $\gamma_l$  y  $\gamma_r$  en la Figura 2.10c, indica que ambos sensores detectan una cantidad de luz similar en la zona frontal del robot.

Una vez obtenidas las lecturas de los sensores, éstas se procesan para calcular la distancia aproximada hacia los vecinos dentro de las zonas de percepción locales y calcular los movimientos. Si un robot detecta a otros en sus zonas de repulsión  $Q_{kr}$ , la velocidad disminuye para prevenir colisiones y cambia su trayectoria hacia un vector que apunta en la dirección promedio opuesta a las secciones de repulsión en las que se detectaron sus vecinos, este vector es dado por:

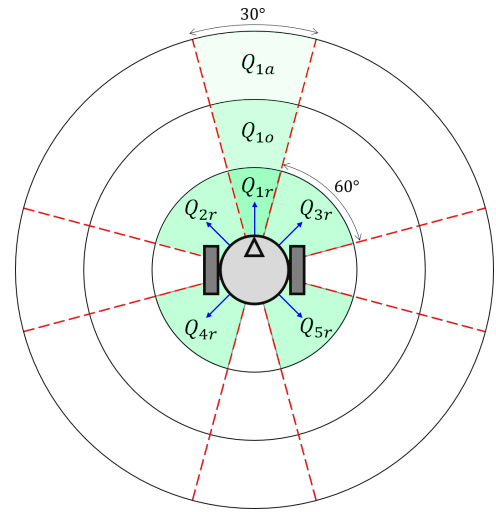
$$d_r = \begin{cases} -[u_1 q_{1r} + u_2 q_{2r} + u_3 q_{3r}], & \text{para } Terran, \\ -[u_1 q_{1r} + u_2 q_{2r} + u_3 q_{3r} + u_4 q_{4r} + u_5 q_{5r}], & \text{para } BugBot. \end{cases} \quad (2.22)$$

Para las secciones  $Q_{kr}$ , el valor de los sensores  $q_{kr}$  será cero si no se detecta

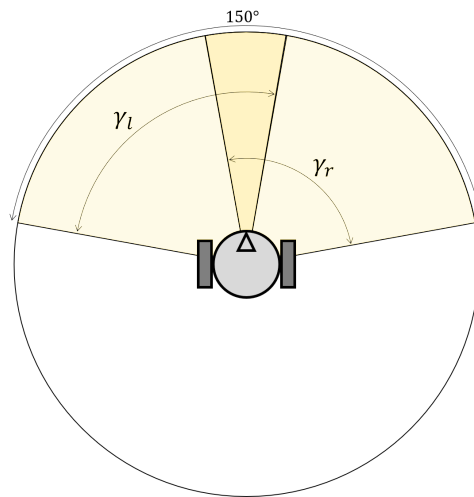




(a) Zonas de repulsión, orientación y atracción para *Terran*.



(b) Zonas de repulsión, orientación y atracción para *BugBot*.



(c) Zonas de influencia.

FIGURA 2.10: Zonas *RAOI* por robot.

ningún robot, o será de uno si se detecta al menos uno.

$$q_{kr} = \begin{cases} 1, & \text{si } n_{Q_{kr}} > 0, \\ 0, & \text{si } n_{Q_{kr}} = 0, \end{cases} \quad (2.23)$$

donde  $n_{Q_{kr}}$  es la cantidad de vecinos en la zona  $Q_{kr}$  para  $k = 1, 2, 3, 4, 5$ .

Cuando  $n_{Q_{kr}} = 0$  y se detectan vecinos en la zona de atracción  $Q_{1a}$ , surge un aumento de velocidad en la dirección actual del robot, para acercarse a los miembros del enjambre percibidos.

$$d_a = u_1 q_{1a}. \quad (2.24)$$

Para la sección  $Q_{1a}$  el valor del sensor  $q_{1a}$  será cero si no se detecta ningún robot, o será de uno si se detecta al menos uno.

$$q_{1a} = \begin{cases} 1, & \text{si } n_{Q_{1a}} > 0, \\ 0, & \text{si } n_{Q_{1a}} = 0. \end{cases} \quad (2.25)$$

donde  $n_{Q_{1a}}$  es la cantidad de vecinos en la zona  $Q_{1a}$ .

Una vez obtenido el vector de dirección, el ángulo de giro de los robot en *ZOR* y *ZOA* se obtiene por:

$$\vartheta = \begin{cases} \frac{\pi}{2} \text{sgn}(d_{ry}) - \arctan \frac{d_{rx}}{d_{ry}}, & \text{si } q_{kr} = 1, \\ \frac{\pi}{2} \text{sgn}(d_{ay}) - \arctan \frac{d_{ax}}{d_{ay}}, & \text{si } q_{1a} = 1 \quad \& \quad q_{kr} = 0, \end{cases} \quad (2.26)$$

donde  $d_{rx}$  y  $d_{ry}$  son los componentes de dirección deseada en *ZOR*, mientras que  $d_{ax}$  y  $d_{ay}$  son los componentes de dirección deseada en *ZOA*.

Cuando el robot realiza un giro hacia la derecha, corresponde a un giro con un ángulo menor de 0 grados, mientras que un giro a la izquierda, a un ángulo mayor. Por tanto, la dirección de giro de los motores causada por *ZOO* y *ZOA* es representada por la Ecuación (2.27).

$$S = \begin{bmatrix} S_l & 0 \\ 0 & S_r \end{bmatrix}. \quad (2.27)$$

con

$$S_l = \begin{cases} 1, & \text{si } \vartheta \leq 0, \\ -1, & \text{si } \vartheta > 0, \end{cases} \quad S_r = \begin{cases} 1, & \text{si } \vartheta \geq 0, \\ -1, & \text{si } \vartheta < 0, \end{cases}$$

donde  $S_l$  y  $S_r$  representan la dirección de giro de los motores izquierdo y derecho en *ZOR* y *ZOA*, respectivamente, y cambian en función del movimiento compuesto por las dos ruedas del robot.

Ya que no es posible conocer la orientación de los vecinos, la influencia toma prioridad en la dirección de navegación de cada robot. Cuando éstos detecten a vecinos dentro de su zona de orientación ( $Q_{1o}$ ), la dirección es afectada por la luz percibida en el entorno, guiando a cada robot hacia la fuente de luz detectada con mayor intensidad. Cuando la intensidad de luz es similar en  $\gamma_l$  y  $\gamma_r$ , el robot mantiene su dirección hasta encontrarse con otros, en la búsqueda por una orientación surgen las reglas de repulsión, atracción e influencia. Para esto, el alcance de la zona de influencia se define por  $r_l$ , que a su vez esta limitado por las restricciones de los sensores de luz empleados; por lo que el valor de  $r_l$  se establece como constante con el valor máximo de alcance permitido por  $\gamma_l$  y  $\gamma_r$  para todos los casos. De este modo, la dirección de giro de los motores causada por la influencia es representada por:

$$S_i = \begin{bmatrix} S_{i,l} & 0 \\ 0 & S_{i,r} \end{bmatrix}, \quad (2.28)$$

con

$$S_{i,l} = \begin{cases} 1, & \text{si } \gamma_l > \gamma_r, \\ -1, & \text{si } \gamma_l < \gamma_r, \end{cases} \quad S_{i,r} = \begin{cases} 1, & \text{si } \gamma_r > \gamma_l, \\ -1, & \text{si } \gamma_r < \gamma_l, \end{cases}$$

donde  $S_{i,l}$  y  $S_{i,r}$  representan la dirección de giro de los motores izquierdo y derecho causada por la influencia.

Por otro lado, las velocidades de los robots son generadas por el voltaje de referencia aplicado a los motores de cada rueda, que depende de la zona activa de los robots y se representa por un vector de la forma  $v_i = [v_l \ v_r]^T$ . Los voltajes de repulsión  $v_{r,i}$  y orientación  $v_{o,i}$  son valores constantes, que son definidos por un usuario en el código de programación, mientras que los voltajes de influencia y atracción están dados por:

$$v_{i,i} = \begin{cases} v_{max}\delta_i, & \text{si } \gamma_l > \gamma_u \ \& \ \gamma_r > \gamma_u, \\ v_{min}, & \text{si } \gamma_l \leq \gamma_u \ || \ \gamma_r \leq \gamma_u, \end{cases} \quad (2.29)$$

$$v_{a,i} = \frac{1}{2} [v_{i,i} + v_{max}], \quad (2.30)$$

donde  $\delta_i$  es la intensidad de luz percibida en el entorno,  $v_{min}$  y  $v_{max}$ , son el voltaje mínimo y máximo permitidos y  $\gamma_u$  es un umbral de influencia, el cual es definido por un usuario bajo las características del mecanismo de percepción, al modificar este valor cambia la sensibilidad de percepción de influencia.

Finalmente, la dirección de giro y el voltaje aplicado en cada motor es:

$$u_i = \begin{cases} Sv_r, & \text{si } q_{kr} = 1, \\ S_l v_i, & \text{si } q_{kr} = 0 \quad \& \quad s_l = 1, \\ Sv_a, & \text{si } s_l, q_{kr} = 0 \quad \& \quad q_{1a} = 1, \\ S_l v_o, & \text{si } s_l, q_{kr}, q_{1a} = 0, \end{cases} \quad (2.31)$$

donde

$$s_l = \begin{cases} 1, & \text{si } \gamma_l \neq \gamma_r, \\ 0, & \text{si } \gamma_l \approx \gamma_r. \end{cases}$$

Para generar el movimiento del robot, la Figura 2.11 muestra un diagrama de las funciones utilizadas; donde  $u_i$ , para  $i = \{r, l\}$ , corresponde al voltaje aplicado en los motores izquierdo y derecho, respectivamente (Ec. 2.31).

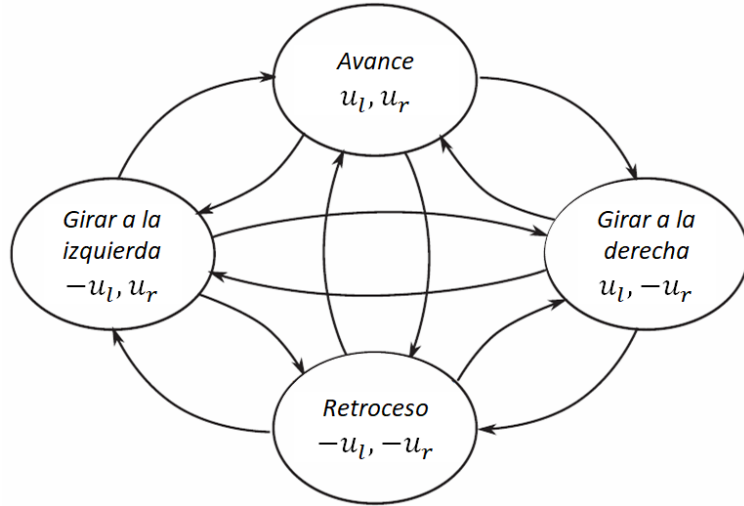


FIGURA 2.11: Funciones de movimiento del robot en relación al voltaje aplicado.

Cada robot cuenta con un microcontrolador en donde se implementaron las reglas de comportamiento que se muestran en el Apéndice B y son explicadas por el Algoritmo 1, que es representado por el diagrama de flujo de la Figura 2.14. La programación se realizó en el entorno de desarrollo integrado de *Arduino<sup>TM</sup>* (*Arduino IDE 1.8.12*). Debido a que se abordan dos tareas con arquitecturas de robot distintas,

se consideran breves modificaciones en las reglas de comportamiento, que se explican en las siguientes secciones.

### 2.3.1.1 DEPRADOR-PRESA

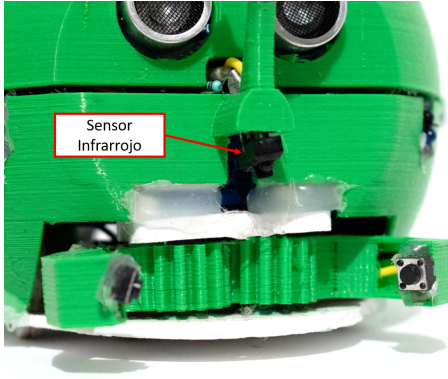
En la tarea de depredador-presa se utilizan los robot *Terran* (Figura 2.2), donde un robot toma el papel de presa mientras que los demás de depredadores. Los robot-depredadores cuentan con las reglas de comportamiento del Algoritmo 1; mientras que, al robot-presa se le incorpora una fuente de luz, para poder ser distinguido entre los depredadores y actuar como un factor de influencia. Debido a esto, el robot-presa no cuenta con la regla de influencia (se deshabilitan los sensores *LDR*) y sólo se mantienen las reglas de repulsión y atracción. Para este caso, el Algoritmo 2, representado por el diagrama de flujo de la Figura 2.15, muestra los cambios realizados en el robot-presa.

Si el robot-presa detecta otros robots depredadores en *ZOR*, cambia su dirección según la Ecuación (2.22). Si detecta un vecino en *ZOA*, el robot-presa aumenta su velocidad en su dirección actual, (Ec. 2.24). Cuando no se detecta otro robot en *ZOR* y *ZOA*, entonces el robot-presa mantiene la misma dirección hasta que estas condiciones cambien. Modificar los valores de los parámetros, hace que el robot-presa tenga un comportamiento diferente al de los robot-depredadores.

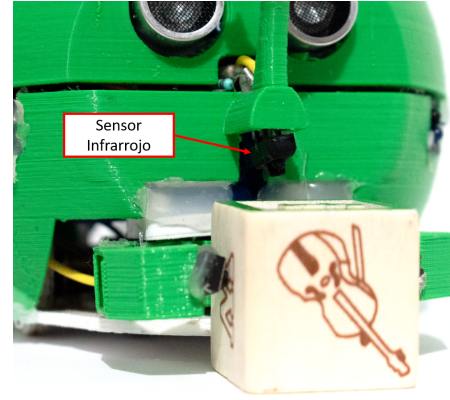
### 2.3.1.2 TRANSPORTE DE OBJETOS

En la tarea de transporte de objetos se utilizan los robot *BugBot* (Figura 2.3), donde cada uno, a diferencia del modelo *Terran*, cuenta con un mecanismo de sujeción para transportar objetos y un sensor de proximidad para detectar su presencia (Figura 2.12). Los *BugBot*, son capaces de realizar dos subtareas (búsqueda

y entrega de objetos), la subtarea que realiza cada *BugBot* se define por el estado de las tenazas ( $\varrho_i$ ); donde  $\varrho_i = 0$ , si las tenazas se encuentran abiertas (estado de búsqueda/objeto no detectado) y  $\varrho_i = 1$ , si las tenazas se encuentran cerradas (estado de entrega/objeto detectado).



(a) Tenazas abiertas.



(b) Tenazas cerradas.

FIGURA 2.12: Estado de tenzas de *BugBot*.

Por otro lado, se cuenta con un magnetómetro, que permite a cada *BugBot* estimar su orientación ( $\psi_i$ ) y, de esta manera, identificar si se encuentra en dirección de búsqueda o entrega. En consecuencia, por medio de  $\psi_i$ , es posible definir un rango de navegación para cada subtarea y establecer valores mínimos y máximos para cada caso; de manera que,  $\psi_{s,min}$  y  $\psi_{s,max}$ , son el valor mínimo y máximo del rango de dirección para la búsqueda de objetos y,  $\psi_{d,min}$  y  $\psi_{d,max}$ , son el valor mínimo y máximo del rango de dirección para la entrega de objetos. De manera que, la dirección de giro de los motores, causado por  $\psi_i$  es representada por:

$$S_{\psi} = \begin{cases} S_{\psi s}, & \text{si } \varrho_i = 0, \\ S_{\psi d}, & \text{si } \varrho_i = 1, \end{cases} \quad (2.32)$$

donde  $S_{\psi s}$  y  $S_{\psi d}$ , son matrices de dirección de giro para los procesos de búsqueda y entrega, respectivamente.

$$S_{\psi_s} = \begin{bmatrix} S_{\psi_s,l} & 0 \\ 0 & S_{\psi_s,r} \end{bmatrix}, \quad (2.33)$$

$$S_{\psi_d} = \begin{bmatrix} S_{\psi_d,l} & 0 \\ 0 & S_{\psi_d,r} \end{bmatrix}. \quad (2.34)$$

Asimismo, los componentes de las matrices  $S_{\psi_s}$  y  $S_{\psi_d}$ , toman el valor de  $-1$  o  $1$  en función de las condiciones de  $\psi_i$ :

$$S_{\psi_s,l} = \begin{cases} 1, & \text{si } \psi_{s,min} < \psi_i < \psi_{s,max}, \\ -1, & \text{si } \psi_i > \psi_{s,max}, \end{cases} \quad S_{\psi_s,r} = \begin{cases} 1, & \text{si } \psi_{s,min} < \psi_i < \psi_{s,max}, \\ -1, & \text{si } \psi_i < \psi_{s,min}, \end{cases}$$

$$S_{\psi_d,l} = \begin{cases} 1, & \text{si } \psi_{d,min} < \psi_i < \psi_{d,max}, \\ -1, & \text{si } \psi_i > \psi_{d,max}, \end{cases} \quad S_{\psi_d,r} = \begin{cases} 1, & \text{si } \psi_{d,min} < \psi_i < \psi_{d,max}, \\ -1, & \text{si } \psi_i < \psi_{d,min}. \end{cases}$$

De este modo, las matrices de giro  $S$  y  $S_\iota$  de la Ecuación (2.31), actualizan sus valores por  $S_\psi$  si:

$$S = \begin{cases} S, & \text{si } (\psi_{s,min} < \psi_i < \psi_{s,max}) & \& \varrho_i = 0, \\ S, & \text{si } (\psi_{d,min} < \psi_i < \psi_{d,max}) & \& \varrho_i = 1, \\ S_\psi, & \text{si } (\psi_{s,min} > \psi_i \parallel \psi_i > \psi_{s,max}) & \& \varrho_i = 0, \\ S_\psi, & \text{si } (\psi_{d,min} > \psi_i \parallel \psi_i > \psi_{d,max}) & \& \varrho_i = 1. \end{cases}$$

$$S_\iota = \begin{cases} S_\iota, & \text{si } (\psi_{s,min} < \psi_i < \psi_{s,max}) & \& \varrho_i = 0, \\ S_\iota, & \text{si } (\psi_{d,min} < \psi_i < \psi_{d,max}) & \& \varrho_i = 1, \\ S_\psi, & \text{si } (\psi_{s,min} > \psi_i \parallel \psi_i > \psi_{s,max}) & \& \varrho_i = 0, \\ S_\psi, & \text{si } (\psi_{d,min} > \psi_i \parallel \psi_i > \psi_{d,max}) & \& \varrho_i = 1. \end{cases}$$

Las zonas de búsqueda y de entrega, son identificadas por un factor de influencia (fuente de luz), que permite a cada *BugBot* dirigirse hacia a la zona correspondiente en función del estado de las tenazas ( $\varrho_i$ ) y guiado por su dirección



de navegación ( $\psi_i$ ). En el proceso de ejecución de la tarea, cada *BugBot* inicia en el “nido”, que corresponde a la zona de entrega, y se dirigen hacia la zona de búsqueda hasta encontrar un objeto; los cuales están colocados de forma aleatoria dentro de una zona iluminada, que da una aproximación de su ubicación. Una vez que un objeto es encontrado y tomado ( $\varrho_i = 1$ ), el *BugBot* se dirige de vuelta al nido que, de igual forma, se encuentra iluminado para aproximar el punto de descarga. Ya que el objeto es colocado en el nido, el proceso de búsqueda vuelve a iniciar. Cada subtarea es realizada manteniendo las reglas de repulsión, atracción e influencia que permiten a cada *BugBot* interactuar con sus vecinos y el entorno. El proceso de la tarea de transporte de objetos es descrito por la Figura 2.13.

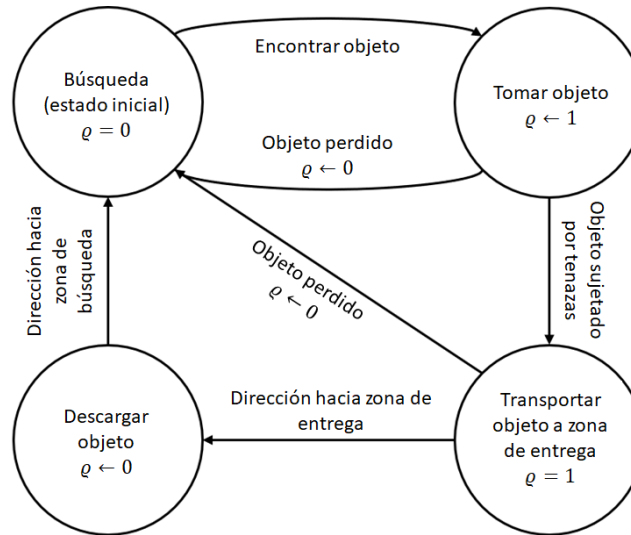


FIGURA 2.13: Estados de comportamiento para tarea de transporte de objetos.

Cuando un *BugBot* se encuentra en la zona de búsqueda y percibe una intensidad de influencia alta, se realiza un cambio de dirección aleatorio para continuar con el proceso de búsqueda y converger una vez más hacia la fuente de influencia desde otro ángulo; este cambio de dirección es representado por:

$$\nu_i(t+1) = \begin{cases} \nu_i(t), & \text{si } \delta_i < \gamma_u, \\ d_{\pi}(t+1), & \text{si } \delta_i \geq \gamma_u, \end{cases} \quad (2.35)$$

donde las componentes  $d_{\kappa x}$  y  $d_{\kappa y}$  del vector  $d_{\kappa}(t + 1)$  son aleatorias dentro de un rango establecido.

De no contemplar esta consideración, la concentración del enjambre estaría en el punto de mayor intensidad de influencia y los vecinos impedirían que se continuara con el proceso de búsqueda al estar *ZOR* activa.

El estado de las pinzas y el sentido de orientación actúan como indicadores que permiten a cada *BugBot* conocer la subtarea que hay que realizar, y se complementan con los parámetros de repulsión, atracción e influencia, que siempre están presentes en cada proceso (búsqueda y entrega). Tomando como base el Algoritmo 1, se propone el Algoritmo 3, que es representado por el diagrama de flujo de la Figura 2.16 e incluye las consideraciones de las variables  $\varrho_i$  y  $\psi_i$ .

### 2.3.2 IMPLEMENTACIÓN DE REGLAS EN UNA PLATAFORMA DE SIMULACIÓN

La finalidad de tener una plataforma de simulación es poder realizar tantos experimentos como sean necesarios, sin importar la cantidad de individuos y el costo de fabricación que estos requieren. Esta plataforma permite explorar los parámetros del modelo propuesto en distintas condiciones y conocer sus efectos en el comportamiento del enjambre, olvidando las limitaciones que se tienen en el sistema físico. Las reglas del enjambre y la capacidad de percepción de cada robot se implementaron en la versión 6.1.0 de *Scilab*, un software de código abierto para análisis numérico, donde se tomó el modelo presentado en la Figura 2.1, del cual se toman los parámetros del robot de [79] y se genera la Tabla 2.1. El código implementado en *Scilab* se encuentra en el Apéndice C y se explica en el Algoritmo 4; donde  $N$  corresponde al total de miembros del enjambre,  $K$  es el total de pasos de tiempo y cada paso es equivalente a 1 segundo.

TABLA 2.1: Parámetros del robot.

Parámetro	Valor
$m$	$0.38 \text{ kg}$
$I$	$0.005 \text{ kg} \cdot \text{m}^2$
$r$	$0.03 \text{ m}$
$R$	$0.05 \text{ m}$
$d$	$0.02 \text{ m}$
$\tau_{s,r} = \tau_{s,l}$	$0.434 \text{ s}$
$k_{L,r} = k_{L,l}$	$2.745 \frac{\text{rad}}{\text{s} \cdot \text{N} \cdot \text{m}}$
$k_{s,r} = k_{s,l}$	$1460.2705 \frac{\text{rad}}{\text{s} \cdot \text{V}}$

Debido a que se requieren simulaciones lo más cercanas a la realidad; la representación de los robots involucra ruido blanco Gaussiano [82], fricción, errores inherentes en las lecturas del sensor y valores atípicos[83, 84]. Los resultados exitosos en simulaciones abren la puerta a la implementación donde las reglas de comportamiento se adaptan, para implementarse en robots simples y reales.

**Algoritmo 1:** Reglas de comportamiento de enjambre.

---

**Entradas:**  $r_r, r_a$ ;  
 Inicializar velocidades y posiciones de cada individuo;  
**repetir**  
   Calcular distancias hacia vecinos e influencia;  
   Actualizar zonas activas (Ec. 2.23 y 2.25);  
   **si**  $\delta_k \leq r_r$  **entonces**  
     Calcular dirección de repulsión  $d_r$  (Ec. 2.22);  
     Actualizar velocidades y dirección actual. (Ec. 2.27);  
      $n \leftarrow n_r$ ;  
   **fin**  
   **si**  $n_r, s_l = 0$  &  $\delta_k \leq r_a$  **entonces**  
     Calcular dirección de atracción  $d_a$  (Ec. 2.24);  
     Actualizar velocidades y dirección actual (Ec. 2.27);  
      $n \leftarrow n_a$ ;  
   **en otro caso**  
     **si**  $s_l = 1$  **entonces**  
       Calcular dirección por influencia (Ec.2.28);  
     **fin**  
   **fin**  
   **si**  $n = 0$  **entonces**  
     Mantener dirección actual;  
   **fin**  
   Conversión al sistema de referencia del robot;  
   Escribir datos en actuadores (Ec. 2.31);  
**hasta que** *detener proceso*;

---

**Algoritmo 2:** Reglas de comportamiento de robot-presa.

---

**Entradas:**  $r_r, r_a$ ;  
 Inicializar velocidades y posiciones de cada individuo;  
**repetir**  
   Calcular distancias hacia vecinos;  
   Actualizar zonas activas (Ec. 2.23 y 2.25);  
   **si**  $\delta_k \leq r_r$  **entonces**  
     Calcular dirección de repulsión  $d_r$  (Ec. 2.22);  
     Actualizar velocidades y dirección actual. (Ec. 2.27);  
      $n \leftarrow n_r$ ;  
   **fin**  
   **si**  $n_r = 0$  &  $\delta_k \leq r_a$  **entonces**  
     Calcular dirección de atracción  $d_a$  (Ec. 2.24);  
     Actualizar velocidades y dirección actual (Ec. 2.27);  
      $n \leftarrow n_a$ ;  
   **fin**  
   **si**  $n = 0$  **entonces**  
     Mantener dirección actual;  
   **fin**  
   Conversión al sistema de referencia del robot;  
   Escribir datos en actuadores (Ec. 2.31);  
**hasta que** *detener proceso*;

---

---

**Algoritmo 3:** Reglas de comportamiento de enjambre para tarea de transporte de objetos.

---

**Entradas:**  $r_r, r_a$ ;  
 Inicializar velocidades y posiciones de cada individuo;  
**repetir**  
   Calcular distancias hacia vecinos e influencia;  
   Actualizar zonas activas (Ec. 2.23 y 2.25);  
   Comporbar estado de tenazas y orientación;  
   **si**  $\varrho_i = 0$  **entonces**  
     **si**  $(\psi_{s,min} < \psi_i < \psi_{s,max})$  **entonces**  
       Ejecutar reglas de comportamiento de enjambre (Ec. 2.31);  
     **en otro caso**  
       Actualizar dirección de búsqueda (Ec. 2.32);  
       Ejecutar reglas de comportamiento de enjambre (Ec. 2.31);  
     **fin**  
   **en otro caso**  
     **si**  $(\psi_{d,min} < \psi_i < \psi_{d,max})$  **entonces**  
       Ejecutar reglas de comportamiento de enjambre (Ec. 2.31);  
     **en otro caso**  
       Actualizar dirección de entrega (Ec. 2.32);  
       Ejecutar reglas de comportamiento de enjambre (Ec. 2.31);  
     **fin**  
   **fin**  
   Conversión al sistema de referencia del robot;  
   Escribir datos en actuadores (Ec. 2.31);  
**hasta que** *detener proceso*;

---



---

**Algoritmo 4:** Simulador de enjambre.

---

**Entradas:**  $r_r, r_a$ ;  
 Inicializar velocidades y posiciones de cada individuo;  
**para**  $\kappa=1:K$  **hacer**  
   **para**  $i=1:N$  **hacer**  
     Calcular distancia y ángulo hacia influencia;  
     **para**  $j=1:N$  **hacer**  
       Calcular distancia y ángulo hacia individuo  $j$ ;  
     **fin**  
     Calcular vector unitario  $d_r$  (Ec. 2.16);  
     Calcular vector unitario  $d_a$  (Ec. 2.18);  
     Calcular vector unitario  $d_o$  (Ec. 2.17);  
     Calcular vector unitario  $d_i$  (Ec. 2.18);  
     Actualizar vector de dirección  $\nu_i$  (Ec. 2.20);  
     Calcular posición y velocidad actual;  
   **fin**  
   **si** *Tarea completada* **entonces**  
     break;  
   **fin**  
**fin**

---

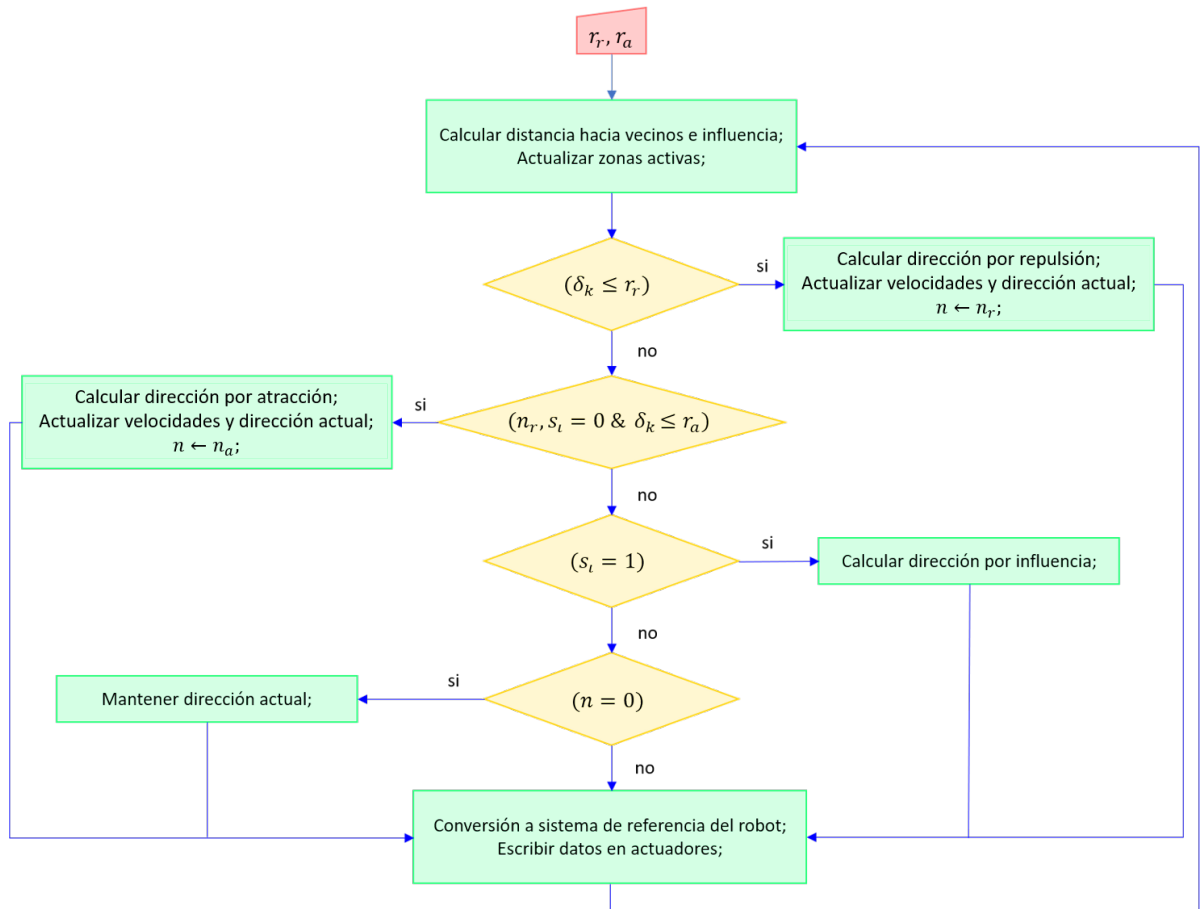


FIGURA 2.14: Diagrama de flujo de las reglas de comportamiento de enjambre.

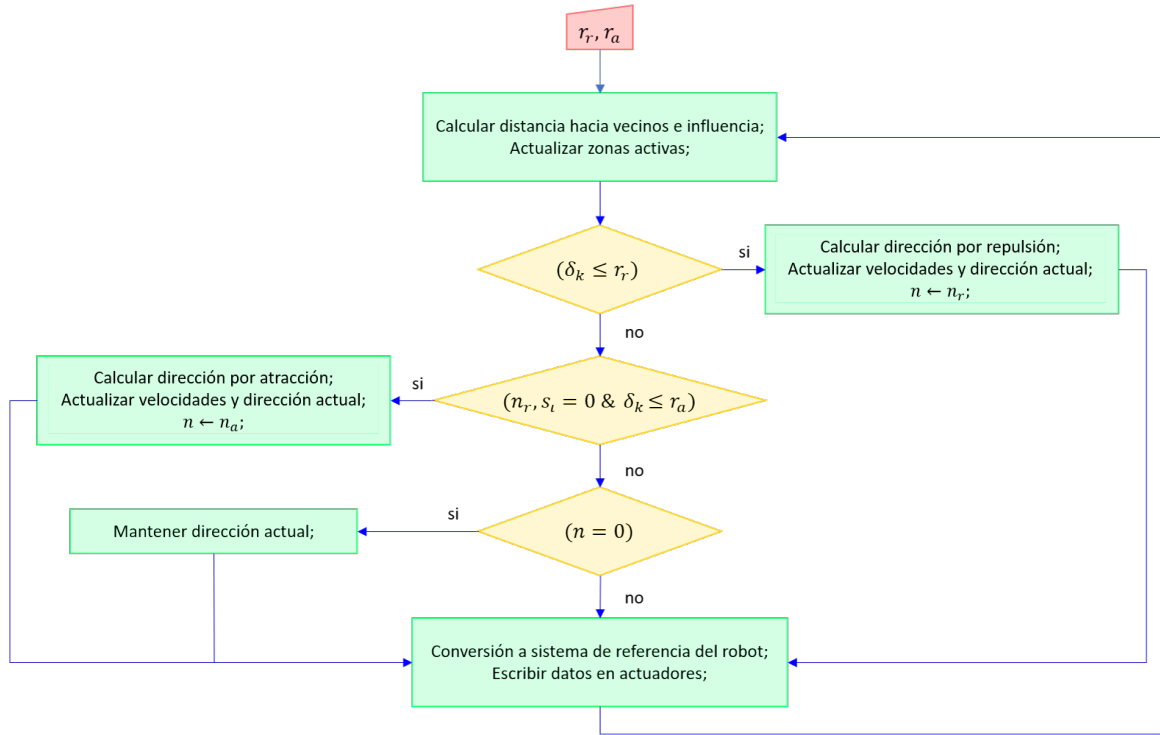


FIGURA 2.15: Diagrama de flujo de las reglas de comportamiento de robot-presa.

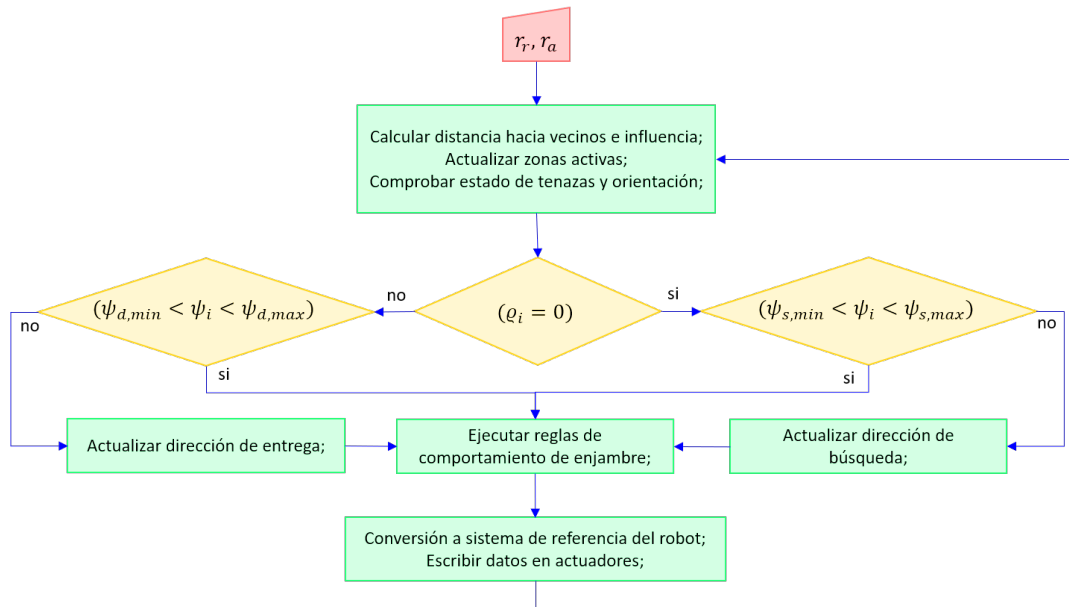


FIGURA 2.16: Diagrama de flujo de las reglas de comportamiento para tarea de transporte de objetos.

## CAPÍTULO 3

# DESCRIPCIÓN EXPERIMENTAL

---

En este capítulo, se describen las etapas para el desarrollo de las simulaciones y experimentos, además del método utilizado para un análisis numérico, mediante una herramienta de cómputo con técnicas de visión. Por último, se exponen dos casos experimentales para el estudio del enjambre. El objetivo de estos experimentos es observar los cambios que surgen en el comportamiento ante variaciones en los parámetros y el efecto de la exposición a factores de influencia.

### 3.1 DESARROLLO DE EXPERIMENTOS FÍSICOS

Las etapas que se siguieron para la obtención de resultados en los experimentos físicos se muestran en la Figura 3.1. Cada experimento se repite cambiando el valor de los parámetros de repulsión y atracción. Estos se ajustan mediante una interfaz usuario-robot por medio de *Bluetooth*<sup>®</sup>. Los robots obtienen por medio de sus sensores la información percibida en el entorno y esta es procesada por el microcontrolador, convirtiéndola en movimiento conforme a las reglas de comportamiento. En el transcurso del experimento, se captura video y es procesado para obtener datos cuantitativos en el análisis del enjambre.



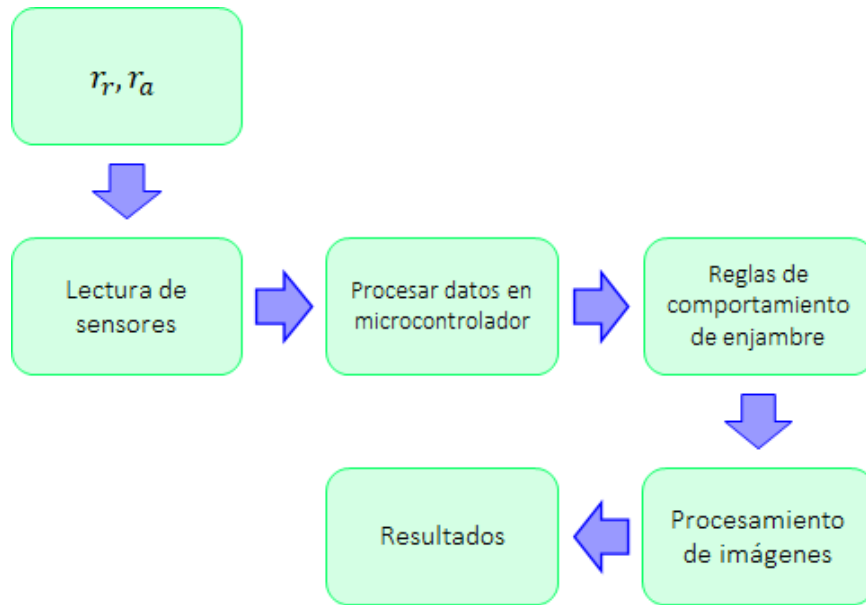


FIGURA 3.1: Etapas de desarrollo de experimentos físicos.

### 3.1.1 ESPECIFICACIONES DE ROBOTS EN EXPERIMENTOS FÍSICOS

En la Tabla 3.1, se dan las especificaciones de percepción en las zonas de repulsión, orientación, atracción e influencia, en función a las características de funcionamiento de los sensores empleados en los robot y a su ubicación. Estos valores parten al tomar como origen el vector que apunta en la dirección del sensor (Figura 2.9). En los experimentos realizados, los radios  $r_r$  y  $r_a$  cambian según los parámetros establecidos, mientras que  $r_o$  y  $r_i$  permanecen constantes con valor nulo y con la distancia máxima de percepción por los fotorresistores, respectivamente. El alcance de las zonas por los robot puede verse en la Tabla 3.2.

Con respecto a las velocidades (aproximadas) de operación permitidas, éstas son en relación a un voltaje de referencia aplicado en los motores de CC, en correspondencia a la zona activa del robot (Tabla 3.3).

TABLA 3.1: Especificaciones de las zonas de repulsión, orientación, atracción e influencia en función a los sensores empleados.

Zona	Radio de percepción (m)	Rango de percepción (grados)
$Q_{1a}$	0 – 4	$\pm 15^\circ$
$Q_{1o}$	0 – 4	$\pm 15^\circ$
$Q_{1r}$	0 – 4	$\pm 15^\circ$
$Q_{2r}$	0 – 0.15	$\pm 30^\circ$
$Q_{3r}$	0 – 0.15	$\pm 30^\circ$
$Q_{4r}$	0 – 0.1	$\pm 30^\circ$
$Q_{5r}$	0 – 0.1	$\pm 30^\circ$
$\gamma_l$	0 – 2	$\pm 45^\circ$
$\gamma_r$	0 – 2	$\pm 45^\circ$

TABLA 3.2: Radios permitidos en las zonas de percepción.

Zona	Radio de percepción (m)
Repulsión	0 – 0.15
Orientación	<i>N.A.</i>
Atracción	0 – 4
Influencia	2

TABLA 3.3: Velocidades en zonas de percepción en experimentos físicos.

Zona	Velocidad (m/s)	Voltaje aplicado (v)
Repulsión	0.08	2.8
Orientación	0.1	3
Atracción	0.2	4.2
Influencia	0.1 - 0.2	3 - 4.2
Fuera de rango	0.1	3

### 3.2 DESARROLLO DE SIMULACIONES

Al igual que los experimentos físicos, cada simulación se repite cambiando los parámetros del enjambre para cada caso experimental. A partir del modelo cinemático (Ec. 2.4) y dinámico (Ec. 2.15), y considerando los parámetros propuestos para cada robot (Tabla 2.1), se obtienen las condiciones de los robots en la plataforma de simulación, donde se implementaron las reglas de comportamiento ajustando únicamente los valores  $r_r$  y  $r_a$ . Una vez finalizada la simulación, se calculan las métricas de rendimiento del enjambre y se generan tablas con los datos recolectados de cada simulación. Las etapas que se siguieron para la obtención de resultados en la plataforma de simulación se muestran en la Figura 3.2.

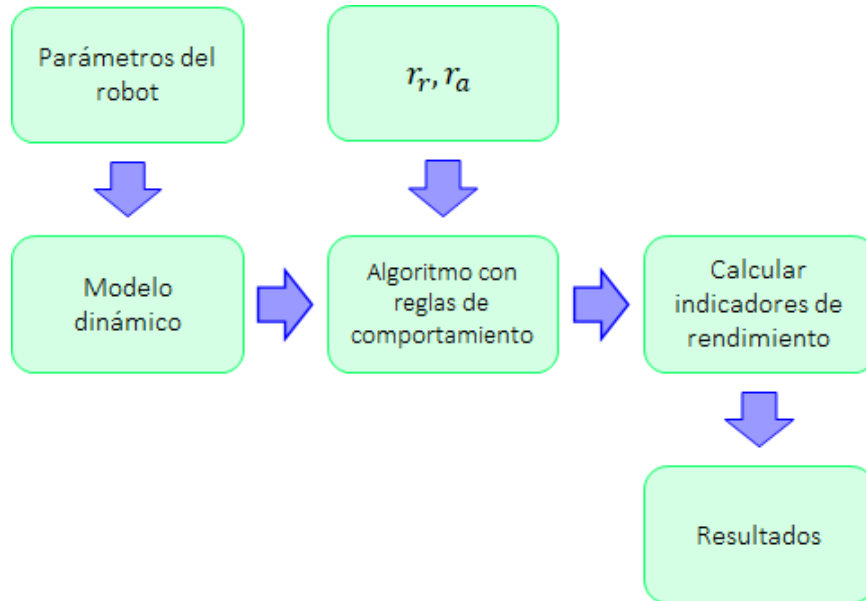


FIGURA 3.2: Etapas de desarrollo de simulaciones.

Los robots simulados consideran las limitaciones de los robots reales, las cuales se describen en la Sección 2.2.3, y se ajustan para tener el mismo rango de percepción que se mostró en la Tabla 3.2 y las velocidades de la Tabla 3.3. Las simulaciones fueron realizadas en el software *Scilab 6.0.1*, con una máquina con procesador *Intel® Core™ i7-7500U* CPU 2.9 GHz, RAM 8GB, y 64-bit.

### 3.3 MÉTRICAS DE EVALUACIÓN

En la literatura, se han definido diferentes métricas de rendimiento para evaluar un enjambre de robots al realizar una tarea [33]. En este trabajo, el rendimiento del enjambre se mide considerando el tiempo en completar la tarea y las medidas estadísticas propuestas: (1) el centro de masa del enjambre ( $C_m$ ), y (2) una métrica de dispersión ( $\varsigma$ ). Representadas por las Ecuaciones (3.1) y (3.2), respectivamente.

$$C_m = \frac{1}{N} \sum_{i=1}^N \rho_i \quad (3.1)$$

$$\varsigma = \sqrt{\sum_{i=1}^N \frac{(\rho_i - C_m)^2}{N}} \quad (3.2)$$

donde  $N$  es el total de individuos y  $\rho_i$  es la posición de cada miembro del enjambre  $(x, y)$  respecto a una referencia preestablecida.

El centro de masa y la dispersión, son indicadores que nos muestran de manera cuantitativa, los cambios en el comportamiento que se genera en el enjambre bajo el factor de influencia y cambios en  $r_r$  y  $r_a$ . Se forma una elipse para visualizar cualquier cambio realizado en el enjambre, donde se toma el centro de masa y la dispersión como el origen y los semiejes de la elipse, respectivamente.

#### 3.3.1 SISTEMA DE PROCESAMIENTO DE IMÁGENES

Se desarrolló una herramienta con técnicas de visión por computador en *Scilab*, para obtener la posición de los miembros del enjambre en un tiempo determinado. En la Figura 3.3, se describe el proceso de esta herramienta con un diagrama de flujo.

En el caso de la tarea de depredador-presa, el video capturado en los experimentos, se realiza desde una vista superior con una cámara *HD* con lente gran angular, mientras que la tarea de transporte de objetos, con un ángulo de inclinación aproximado de  $30^\circ$  con respecto al eje vertical, con una cámara *DSLR*. Una vez capturado el video, se extraen imágenes en tiempos específicos, las cuales son transformadas a escala de grises y pasan por un umbral que las convierte en imágenes binarias. Después, se buscan las regiones conectadas, asignando a cada región un número. Todos los píxeles que no pertenecen a una región son píxeles de fondo y se les da el número cero. Cada región conectada indica un miembro del enjambre, del cual se obtienen sus coordenadas. Teniendo las coordenadas del plano virtual  $(x, y)$  de cada robot, se obtiene la posición del centro de masa y la dispersión del enjambre aplicando las Ecuaciones (3.1) y (3.2).

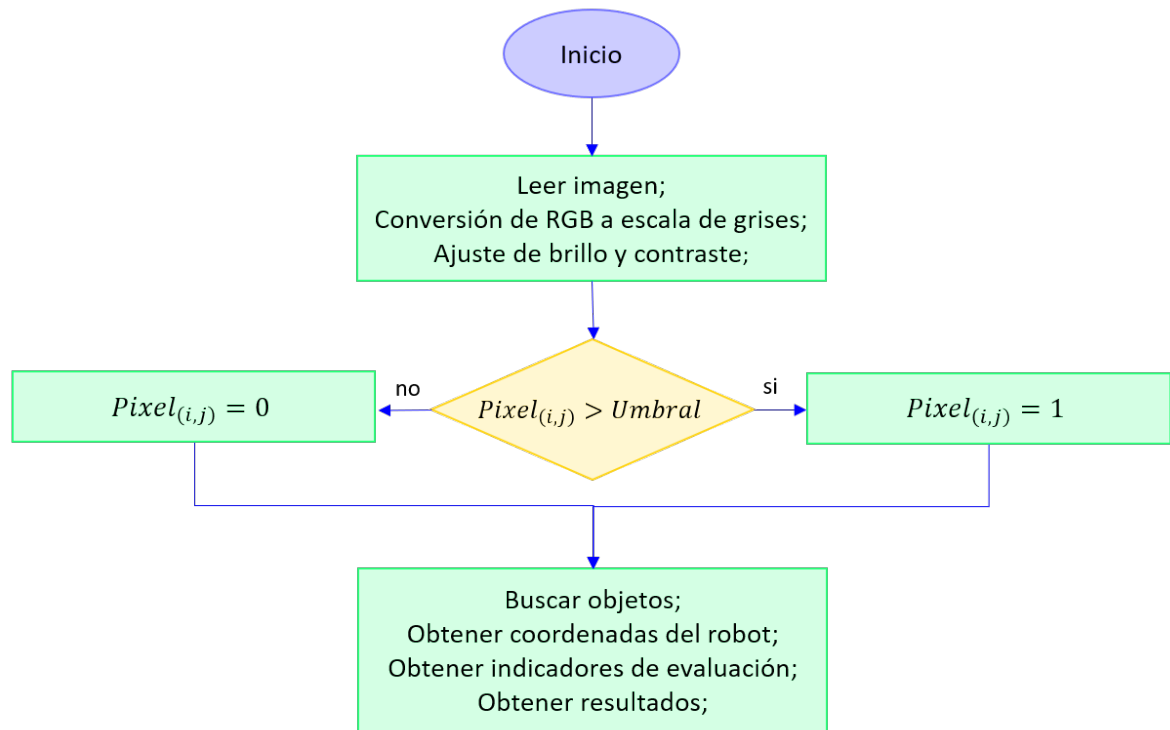


FIGURA 3.3: Diagrama de flujo de herramienta de procesamiento de imagen.

## 3.4 DESCRIPCIÓN DE CASOS EXPERIMENTALES

En esta sección se describen dos casos experimentales en los cuales se ajustan los valores  $r_r$  y  $r_a$  para gobernar en el comportamiento y que emerja colaboración entre los miembros del enjambre.

### 3.4.1 DEPRADOR-PRESA

La tarea de depredador-presa, se inspira en especies que comparten un ambiente y pueden desarrollar interacciones entre sí, donde el comportamiento del sistema depende del tamaño de la densidad de ambas poblaciones. Esta tarea ha sido estudiada en *SMR* con múltiples variantes [85, 86, 87, 88, 89, 90, 91, 92, 93]. Algunas posibilidades de relaciones entre presas y depredadores: (1) único depredador - única presa, (2) múltiples depredadores - única presa, (3) único depredador - múltiples presas, (4) múltiples depredadores - múltiples presas, (5) uso de mediadores entre depredadores y presas. En este trabajo, nos enfocamos en el comportamiento colaborativo de múltiples depredadores a través de reglas locales para atrapar una sola presa.

Para este caso, se utilizó la arquitectura de robot *Terran* (Figura 2.2). Los robot-depredadores, se sitúan con una posición y orientación aleatoria dentro de un área delimitada, mientras que el robot-presa se encuentra en el centro del área de prueba. El robot-presa es otro *Terran*, que emite luz para poder ser distinguido de los robot-depredadores. El experimento termina cuando los robot-depredadores logran rodear al robot-presa.

### 3.4.2 TRANSPORTE DE OBJETOS

La tarea de transporte de objetos, puede observarse en el comportamiento de muchos insectos; por ejemplo, las hormigas agrupan sus crías [94] y las termitas depositan lodo para construir nidos complejos [95]. Los insectos generalmente explotan los gradientes naturales, como los gradientes de temperatura o los gradientes de feromonas para abordar estas tareas. En la *RE*, el transporte de objetos generalmente se aborda utilizando máquinas probabilísticas de estados finitos. Los robots exploran el entorno al azar y reaccionan de diferentes maneras al descubrimiento de objetos disponibles. Se han realizado múltiples estudios en *SMR* relacionados a este enfoque [96, 97, 98, 99, 100, 101].

Para este caso se utiliza la arquitectura de robot *BugBot* (Figura 2.3), el objetivo es recolectar objetos y agruparlos en la zona deseada. Los *BugBot* se sitúan con una posición y orientación aleatoria dentro de un área limitada que llamaremos “nido”, que corresponde al lugar donde hay que depositar los objetos. La posición de los objetos es de forma aleatoria dentro de una zona iluminada (influencia) que ayuda a los *BugBot* a encontrarlos, dando una aproximación de su ubicación. Cuando un robot recoge un objeto, un nuevo estímulo lo mueve de regreso al nido, que también se encuentra iluminado, para dar una aproximación del punto de descarga. Esto permite que la tarea principal se divida en subtareas de búsqueda y entrega. Los estímulos son generados por una fuente de luz en el entorno y la tarea finaliza cuando los robots depositan todos los objetos en el nido.

## CAPÍTULO 4

# RESULTADOS

---

En este capítulo se describen los resultados obtenidos al implementar las reglas de comportamiento, en una plataforma de simulación y un sistema físico. Para cada experimento, se especifican las dimensiones del área de prueba, el tamaño de población del enjambre y el set de configuraciones paramétricas. Además, se presentan las gráficas y tablas con los resultados de cada experimento.

### 4.1 PRIMER CASO EXPERIMENTAL (TAREA DE RELACIONES TIPO DEPRDADOR-PRESA)

#### 4.1.1 SIMULACIONES

Se llevó a cabo una serie de simulaciones, para comprender los efectos de los parámetros de manera realista, antes de ser implementados en un sistema físico. Las simulaciones se realizaron con 25 robot-depredadores y un robot-presa, con las capacidades sensoriales de los robot *Terran*, en un área de prueba de  $10 \times 10 \text{ m}^2$ , y por cada simulación se hicieron tres repeticiones. Todos los robot-depredadores



tienen la misma configuración paramétrica por cada experimento, mientras que al robot-presa se le da un valor alto de repulsión para mantenerse alejado de los robots depredadores y un valor bajo de atracción para no ser atraído por ellos, estos valores se establecieron en  $r_r = 0.15$  y  $r_a = 0.2$  para todas las pruebas. La Tabla 2.31, muestra el voltaje aplicado en los motores de CC, que corresponde a las zonas activas en los robots; mientras que el umbral e influencia se estableció en el 10 % de la capacidad total de las LDRs. Estos valores se seleccionaron en función de las restricciones físicas de los sensores. Las posiciones iniciales de los robot-depredadores y el robot-presa son aleatorias. La simulación termina cuando los robot-depredadores rodean al robot-presa, es decir, cuando gira sobre su eje.

Se realizó una simulación gráfica para ilustrar el rendimiento del enjambre, y se dibujó una elipse para visualizar cualquier cambio realizado en el enjambre, que representa el área de distribución del enjambre (área de cobertura). El factor de influencia está determinado por el estímulo de luz emitido por la presa-robot, que se representa como una flecha amarilla; mientras que los robot-depredadores con flechas negras. Las Figuras 4.1 - 4.9, ilustran algunas instantáneas de simulaciones, cuando los robot-depredadores están atrapando al robot-presa. Considerando todas las pruebas y cambios de parámetros, se generó la Tabla 4.1, que incluye el centro de masa del enjambre ( $C_m$ ), la dispersión ( $\varsigma$ ), el área de la elipse ( $\varepsilon$ ) y el tiempo de captura ( $t_c$ ).

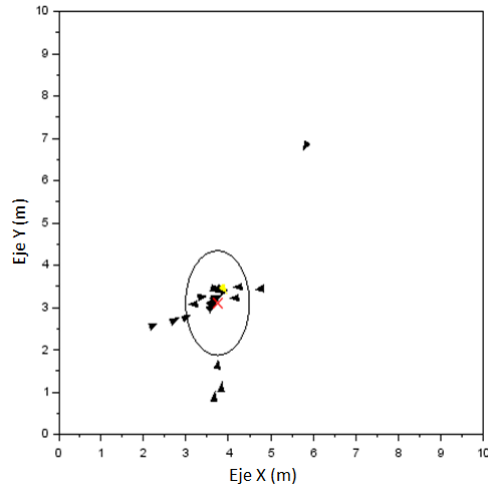
En base a los resultados obtenidos por simulaciones, se observó que la repulsión tiene una fuerte influencia en el comportamiento del enjambre. Con valores bajos (ver Figuras 4.1, 4.4 y 4.7), se genera una mayor concentración en el enjambre y la mayoría de los robot-depredadores logran rodear al robot-presa; mientras que, con valores altos (ver Figuras 4.3, 4.6 y 4.9), se genera una expansión en el área de cobertura y algunos robot-depredadores pierden el rastro del robot-presa o no logran localizarlo. Por otro lado, con valores bajos de atracción (ver Figuras 4.1, 4.2 y 4.3), los robot-depredadores son más independientes entre sí, provocando que sean más fieles a la trayectoria del robot-presa, pero pueden perderse fácilmente; mientras que,

con valores altos (ver Figuras 4.7, 4.8 y 4.9), los robot-depredadores se atraen por otros que son localizados en la zona frontal, formando cadenas de robots, además, los robot-depredadores extraviados vuelven a unirse al enjambre. El detalle de la discusión se comenta en la Sección 4.1.4.

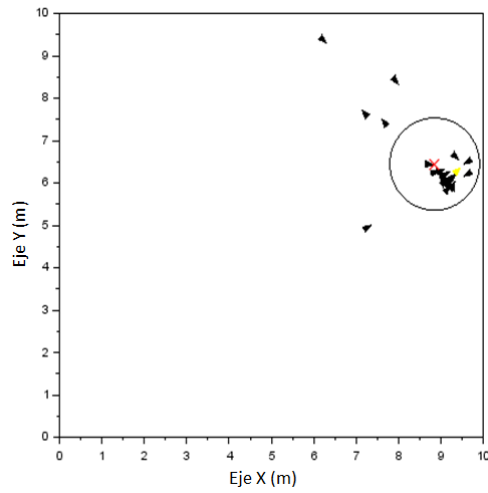
#### 4.1.2 EXPERIMENTOS POR IMPLEMENTACIÓN FÍSICA

Los resultados por simulación confirman que las ecuaciones basadas en repulsión, atracción, orientación e influencia, pueden transformarse en reglas que utilizan la percepción local y mantienen las propiedades del enjambre. Estas reglas se implementaron en un microcontrolador, considerando los sensores locales de cada robot con arquitectura *Terran*, para replicar las mismas pruebas que las simulaciones. Cada robot puede reprogramar sus parámetros comunicándose con una computadora a través de *Bluetooth*®.

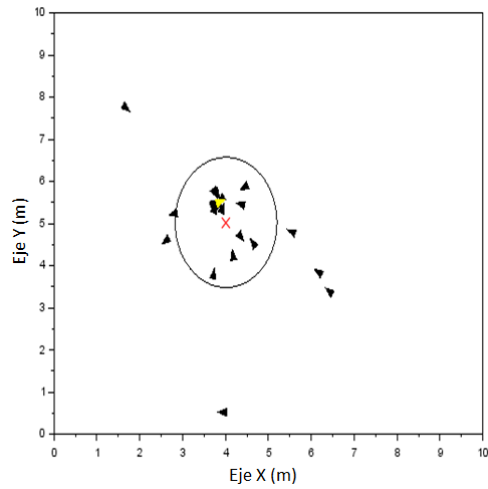
Se desarrolló una herramienta de visión por computadora para procesar instantáneas de video, considerando que el tamaño de la imagen es de 610 x 460 píxeles<sup>2</sup>. Se desconocen las posiciones de cada miembro del enjambre robótico, por lo que estas instantáneas se tomaron en un momento específico y se procesaron para obtener las posiciones en un plano virtual  $(x, y)$  de cada miembro del enjambre en un momento específico. Estas posiciones son útiles para estimar el centro de masa del enjambre y su dispersión, utilizando las Ecuaciones (3.1) y (3.2), respectivamente. Los experimentos se realizaron con siete robot-depredadores y un robot-presa, en un área de prueba de 3 x 2.4 m<sup>2</sup>. Se realizaron las mismas configuraciones paramétricas de las simulaciones por medio de la plataforma robótica, donde para cada configuración se realizaron tres pruebas.



(a) Prueba 1

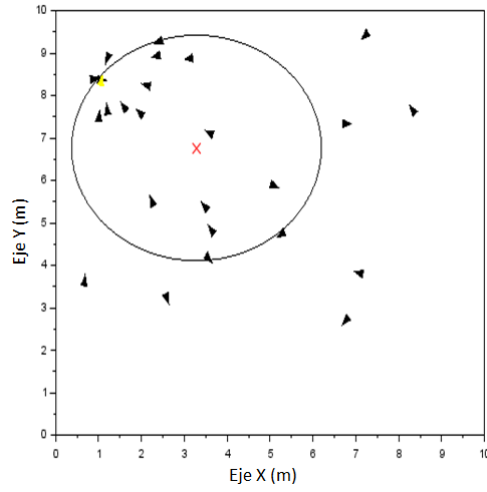


(b) Prueba 2

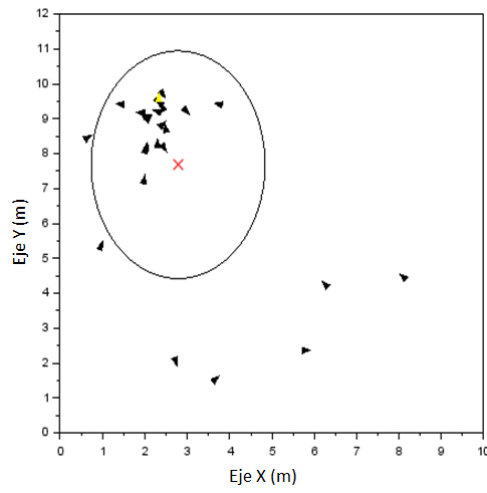


(c) Prueba 3

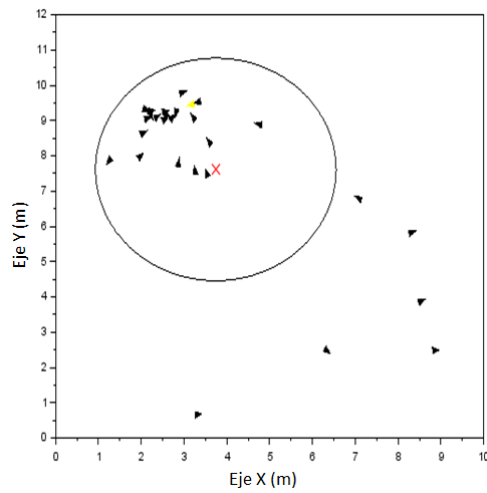
FIGURA 4.1: Simulación de enjambre de robots ejecutando tarea de depredador-presa con  $r_r = 0.05$  y  $r_a = 0.2$  para los robot-depredadores.



(a) Prueba 1

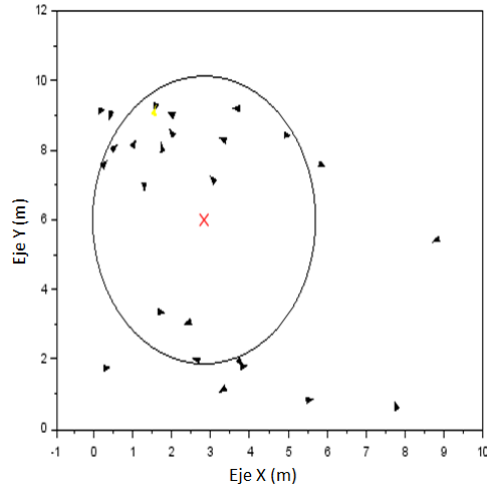


(b) Prueba 2

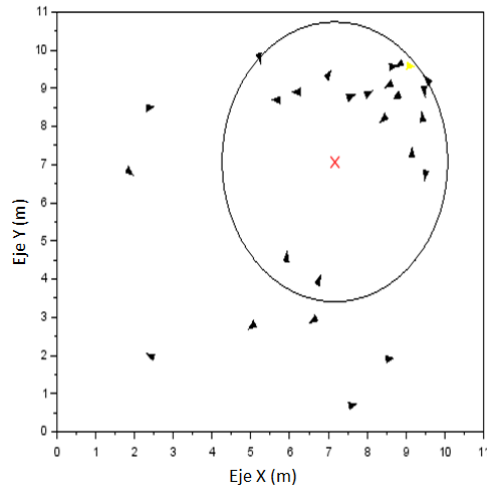


(c) Prueba 3

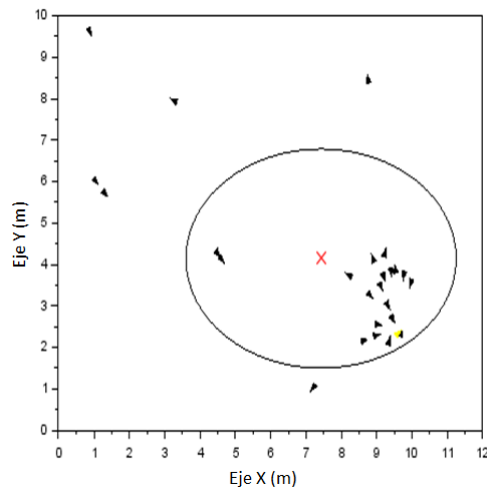
FIGURA 4.2: Simulación de enjambre de robots ejecutando tarea de depredador-presa con  $r_r = 0.1$  y  $r_a = 0.2$  para los robot-depredadores.



(a) Prueba 1

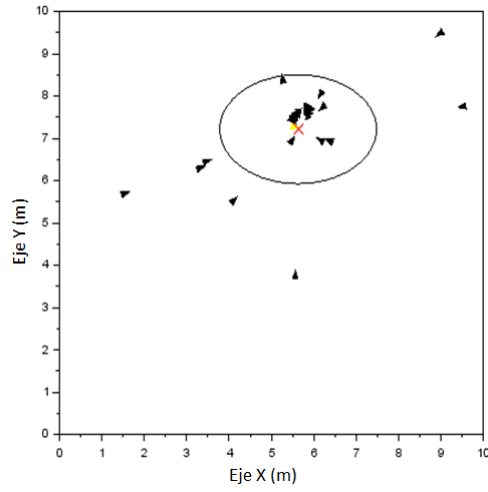


(b) Prueba 2

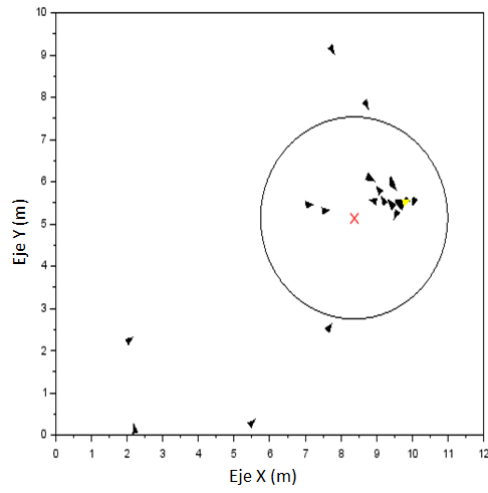


(c) Prueba 3

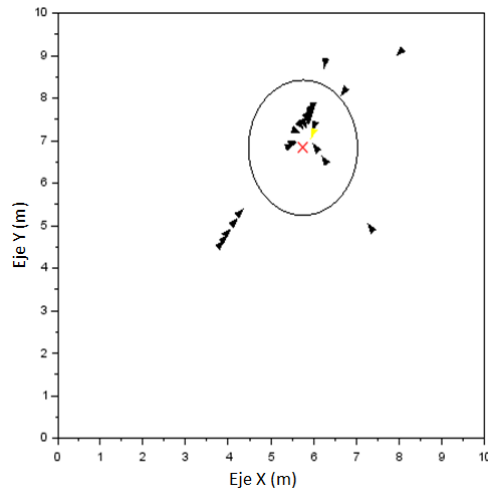
FIGURA 4.3: Simulación de enjambre de robots ejecutando tarea de depredador-presa con  $r_r = 0.15$  y  $r_a = 0.2$  para los robot-depredadores.



(a) Prueba 1

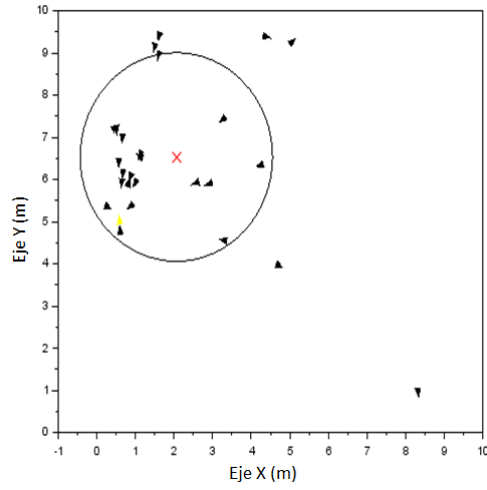


(b) Prueba 2

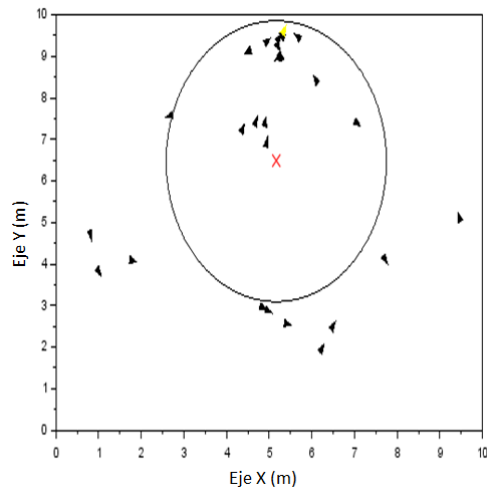


(c) Prueba 3

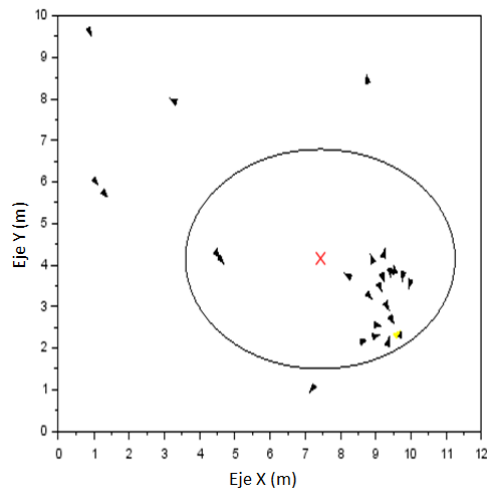
FIGURA 4.4: Simulación de enjambre de robots ejecutando tarea de depredador-presa con  $r_r = 0.05$  y  $r_a = 0.6$  para los robot-depredadores.



(a) Prueba 1

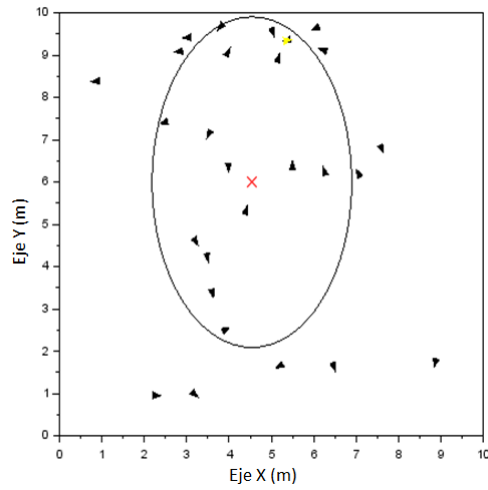


(b) Prueba 2

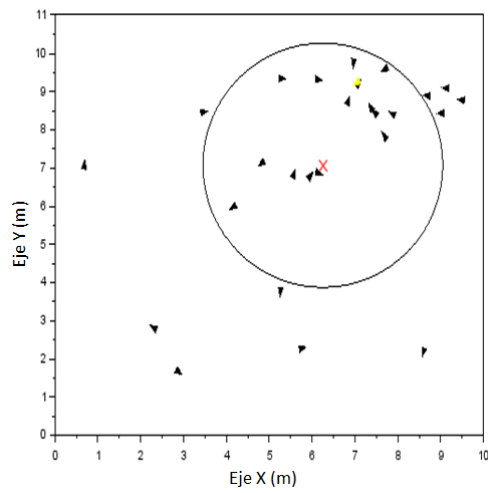


(c) Prueba 3

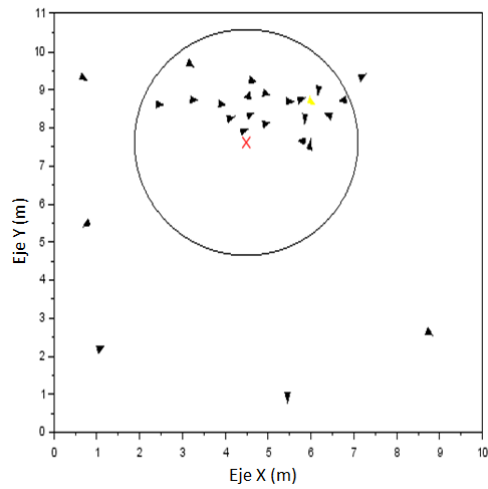
FIGURA 4.5: Simulación de enjambre de robots ejecutando tarea de depredador-presa con  $r_r = 0.1$  y  $r_a = 0.6$  para los robot-depredadores.



(a) Prueba 1



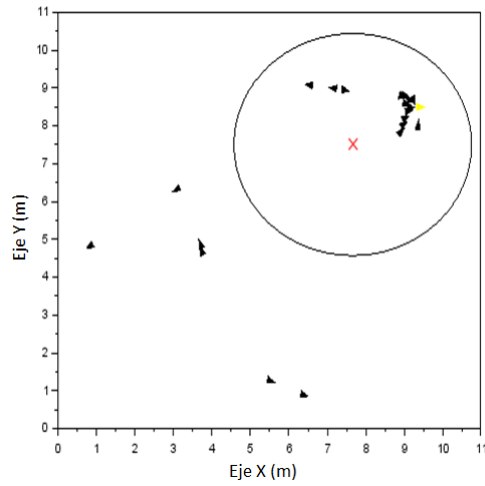
(b) Prueba 2



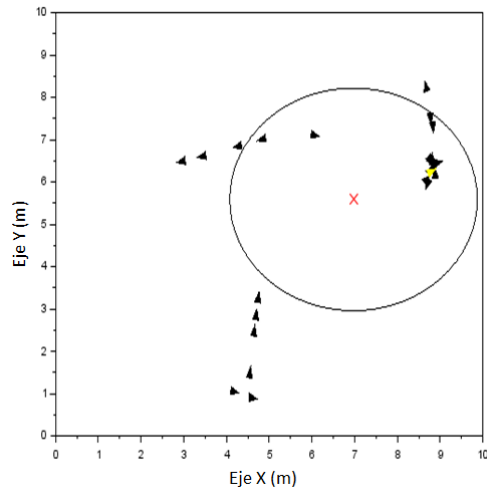
(c) Prueba 3

FIGURA 4.6: Simulación de enjambre de robots ejecutando tarea de depredador-presa con  $r_r = 0.15$  y  $r_a = 0.6$  para los robot-depredadores.

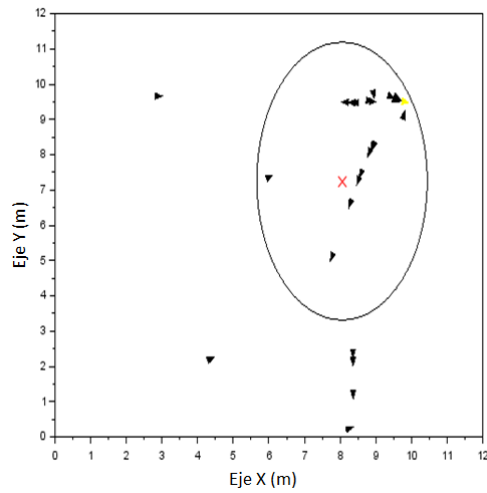




(a) Prueba 1

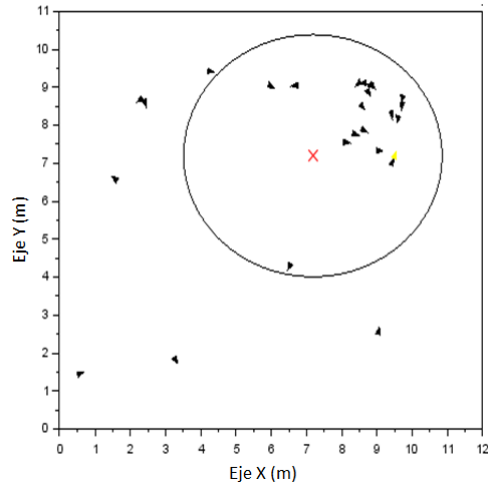


(b) Prueba 2

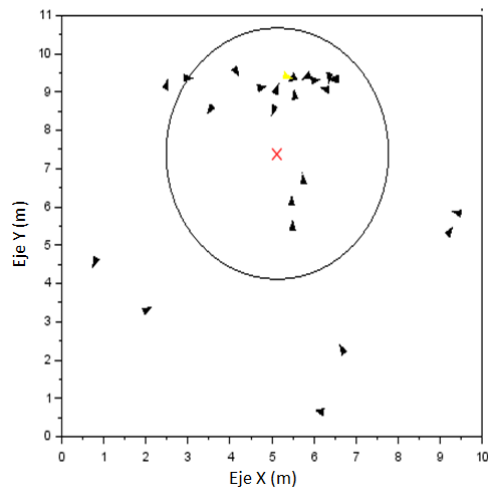


(c) Prueba 3

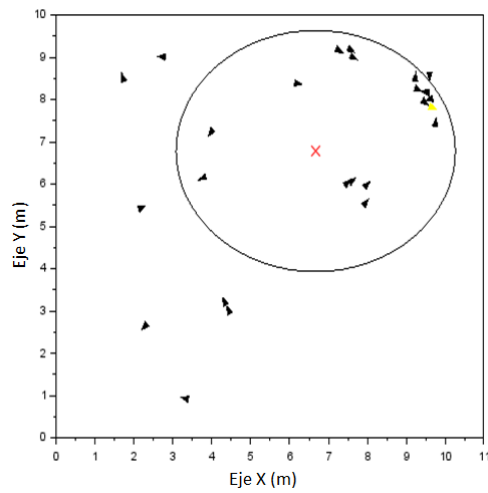
FIGURA 4.7: Simulación de enjambre de robots ejecutando tarea de depredador-presa con  $r_r = 0.05$  y  $r_a = 1$  para los robot-depredadores.



(a) Prueba 1

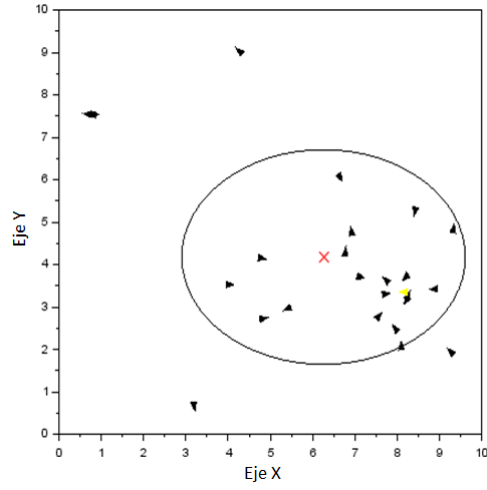


(b) Prueba 2

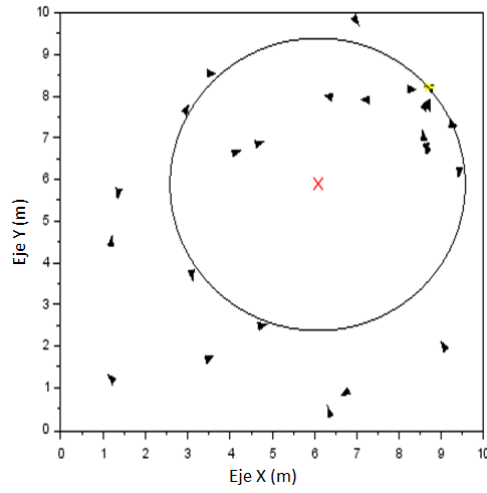


(c) Prueba 3

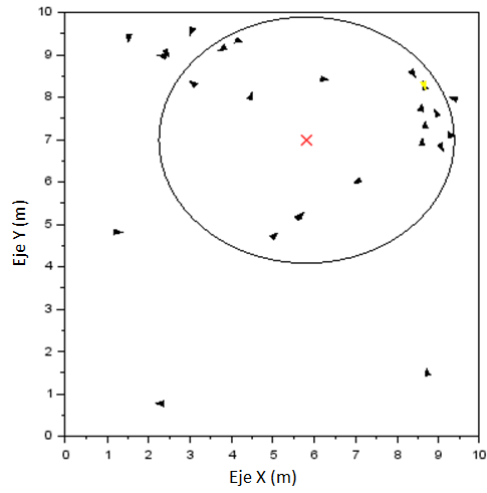
FIGURA 4.8: Simulación de enjambre de robots ejecutando tarea de depredador-presa con  $r_r = 0.1$  y  $r_a = 1$  para los robot-depredadores.



(a) Prueba 1



(b) Prueba 2

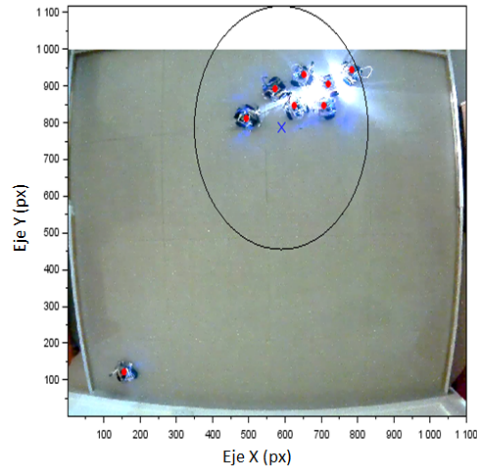


(c) Prueba 3

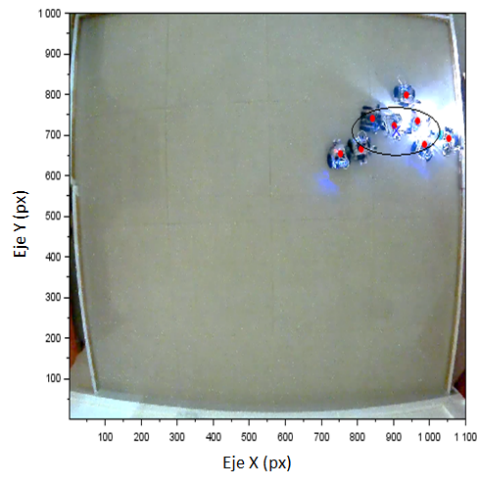
FIGURA 4.9: Simulación de enjambre de robots ejecutando tarea de depredador-presa con  $r_r = 0.15$  y  $r_a = 1$  para los robot-depredadores.

TABLA 4.1: Resultados de tarea depredador-presa, basados en simulaciones.

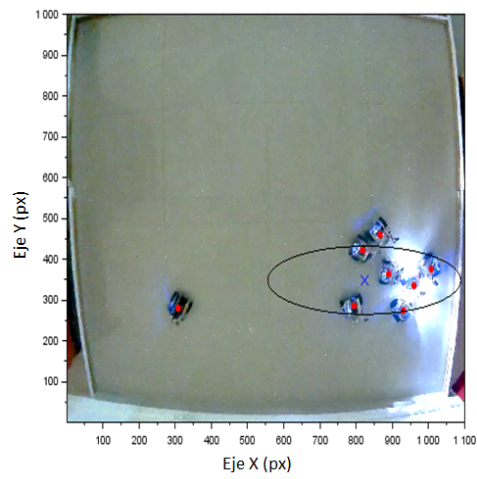
Test	$r_r$ (m)	$r_a$ (m)	No. de prueba	$Cm_x$	$Cm_y$	$\varsigma_x$ (m)	$\varsigma_y$ (m)	$\varepsilon$ (m <sup>2</sup> )	$t_c$ (s)
1	0.05	0.2	1	3.744	3.104	0.950	0.577	1.721	123
			2	8.850	6.444	0.838	0.814	2.143	128
			3	4.011	5.024	1.189	0.913	3.413	132
			<b>Media</b>	<b>5.535</b>	<b>4.857</b>	<b>0.992</b>	<b>0.768</b>	<b>2.426</b>	<b>128</b>
2	0.1	0.2	1	3.284	6.763	2.043	2.240	14.379	136
			2	2.779	7.682	2.510	1.583	12.480	132
			3	3.741	7.614	2.429	2.164	16.509	123
			<b>Media</b>	<b>3.268</b>	<b>7.353</b>	<b>2.327</b>	<b>1.995</b>	<b>14.456</b>	<b>130</b>
3	0.15	0.2	1	2.836	5.992	3.181	2.203	22.021	157
			2	7.167	7.072	2.819	2.236	19.806	190
			3	6.395	6.497	2.626	2.521	20.799	158
			<b>Media</b>	<b>5.466</b>	<b>6.520</b>	<b>2.876</b>	<b>2.320</b>	<b>20.875</b>	<b>168</b>
4	0.05	0.6	1	5.628	7.214	0.991	1.422	4.425	162
			2	8.366	5.140	1.841	2.018	11.670	154
			3	5.752	6.831	1.224	0.982	3.774	153
			<b>Media</b>	<b>6.582</b>	<b>6.395</b>	<b>1.352</b>	<b>1.474</b>	<b>6.623</b>	<b>156</b>
5	0.1	0.6	1	2.062	6.532	1.903	1.916	11.454	176
			2	5.165	6.471	2.603	1.987	16.246	177
			3	7.427	4.141	2.034	2.948	18.840	184
			<b>Media</b>	<b>4.885</b>	<b>5.715</b>	<b>2.180</b>	<b>2.283</b>	<b>15.513</b>	<b>179</b>
6	0.15	0.6	1	4.539	5.994	3.007	1.812	17.117	169
			2	6.250	7.071	2.461	2.153	16.649	182
			3	4.488	7.617	2.285	2.007	14.410	202
			<b>Media</b>	<b>5.092</b>	<b>6.894</b>	<b>2.584</b>	<b>1.991</b>	<b>16.059</b>	<b>184</b>
7	0.05	1	1	7.658	7.502	2.256	2.374	16.822	203
			2	6.972	5.586	2.023	2.229	14.163	185
			3	8.051	7.251	3.030	1.838	17.501	176
			<b>Media</b>	<b>7.560</b>	<b>6.780</b>	<b>2.436</b>	<b>2.147</b>	<b>16.162</b>	<b>188</b>
8	0.1	1	1	7.182	7.196	2.453	2.826	21.783	194
			2	5.126	7.390	2.523	2.035	16.128	236
			3	6.670	6.781	2.194	2.756	19.003	196
			<b>Media</b>	<b>6.326</b>	<b>7.122</b>	<b>2.390</b>	<b>2.539</b>	<b>18.971</b>	<b>209</b>
9	0.15	1	1	6.257	4.176	1.947	2.579	15.776	327
			2	6.073	5.878	2.702	2.692	22.849	227
			3	5.813	6.987	2.235	2.746	19.282	264
			<b>Media</b>	<b>6.048</b>	<b>5.681</b>	<b>2.295</b>	<b>2.673</b>	<b>19.302</b>	<b>273</b>



(a) Prueba 1

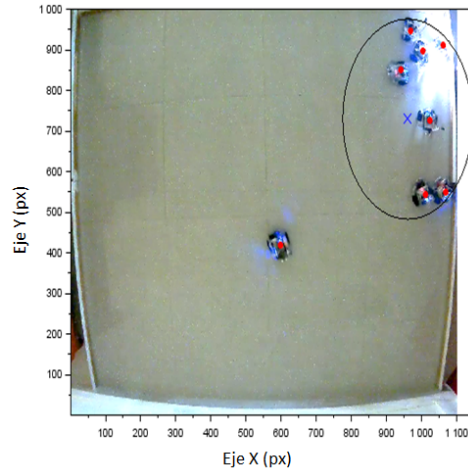


(b) Prueba 2

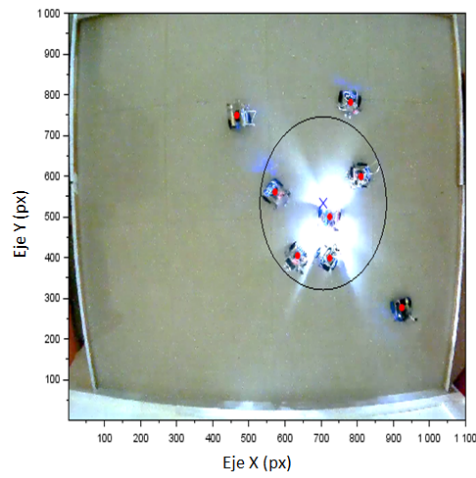


(c) Prueba 3

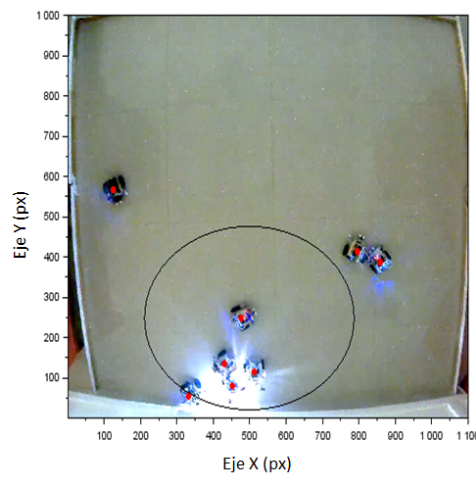
FIGURA 4.10: Manada de robots ejecutando tarea de depredador-presa con  $r_r = 0.05$  y  $r_a = 0.2$  para los robot-depredadores.



(a) Prueba 1

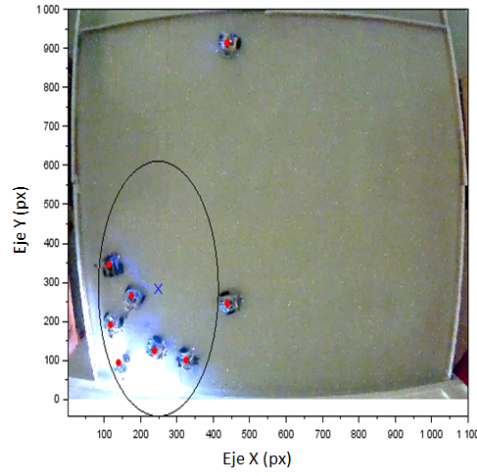


(b) Prueba 2

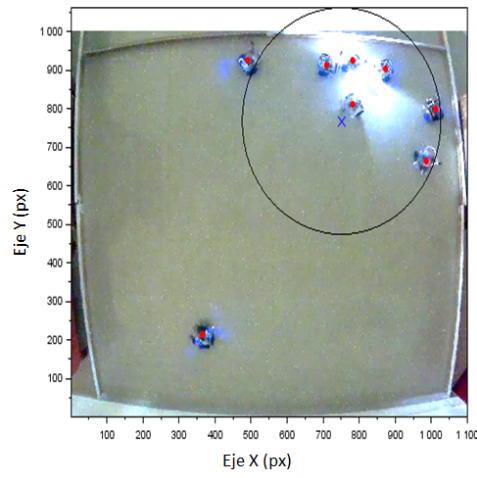


(c) Prueba 3

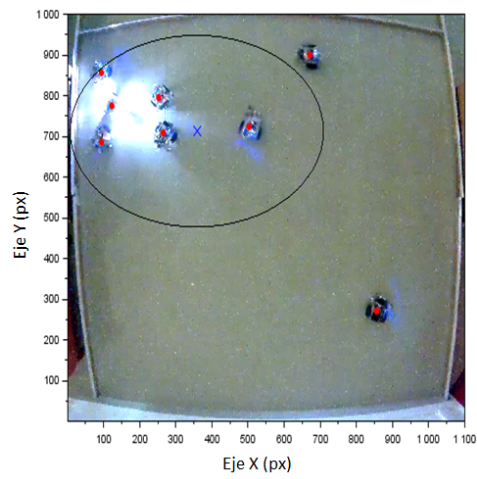
FIGURA 4.11: Manada de robots ejecutando tarea de depredador-presa con  $r_r = 0.1$  y  $r_a = 0.2$  para los robot-depredadores.



(a) Prueba 1

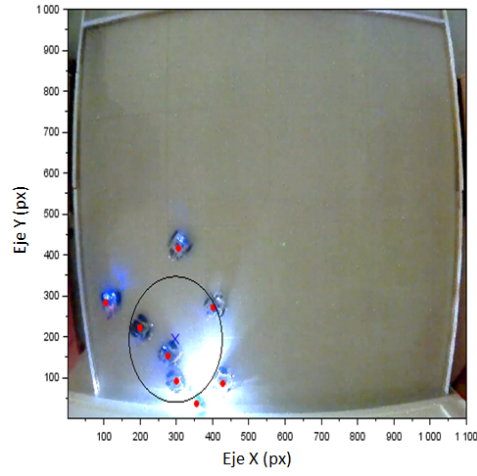


(b) Prueba 2

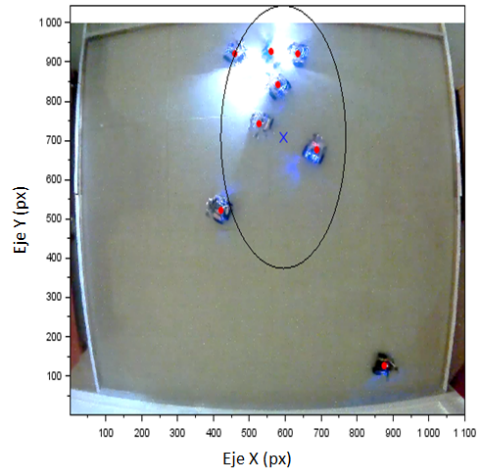


(c) Prueba 3

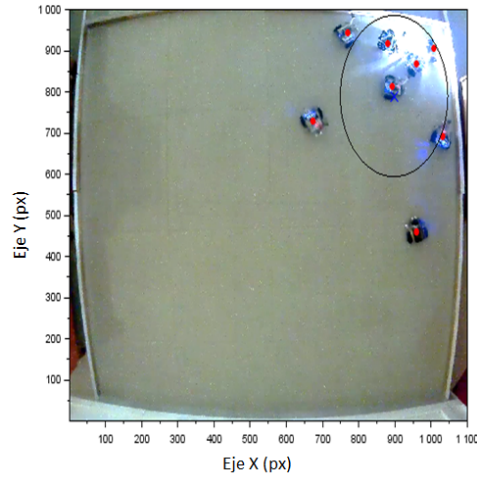
FIGURA 4.12: Manada de robots ejecutando tarea de depredador-presa con  $r_r = 0.15$  y  $r_a = 0.2$  para los robot-depredadores.



(a) Prueba 1



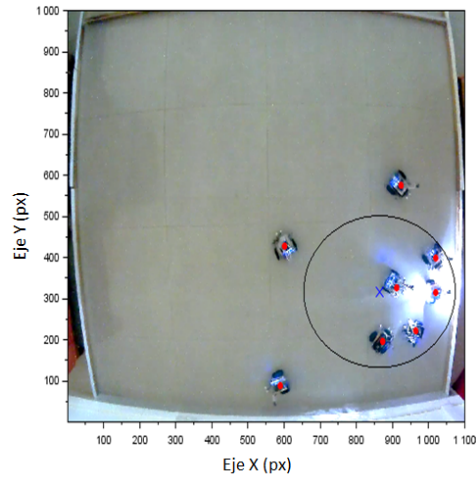
(b) Prueba 2



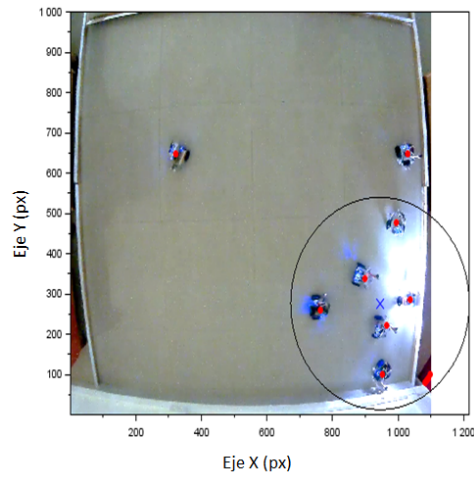
(c) Prueba 3

FIGURA 4.13: Manada de robots ejecutando tarea de depredador-presa con  $r_r = 0.05$  y  $r_a = 0.6$  para los robot-depredadores.

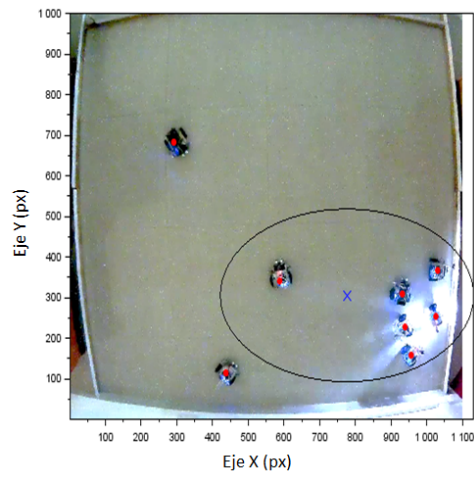




(a) Prueba 1

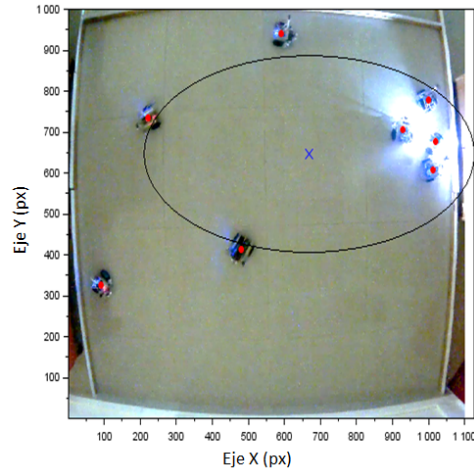


(b) Prueba 2

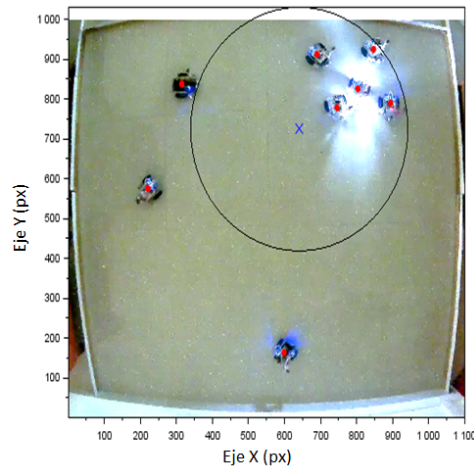


(c) Prueba 3

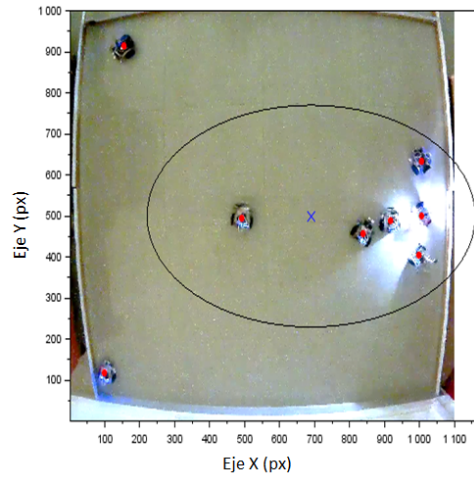
FIGURA 4.14: Manada de robots ejecutando tarea de depredador-presa con  $r_r = 0.1$  y  $r_a = 0.6$  para los robot-depredadores.



(a) Prueba 1

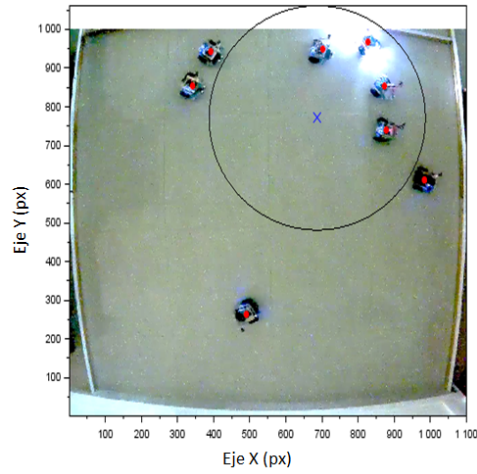


(b) Prueba 2

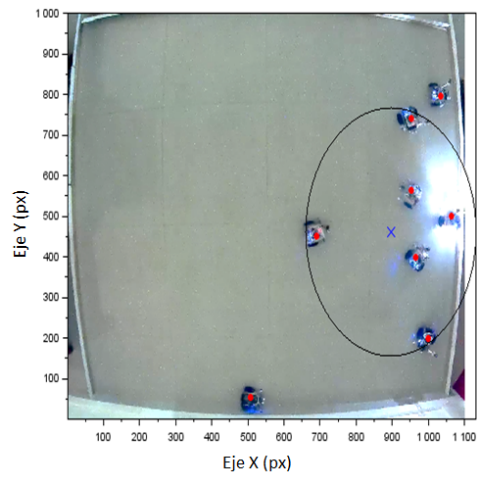


(c) Prueba 3

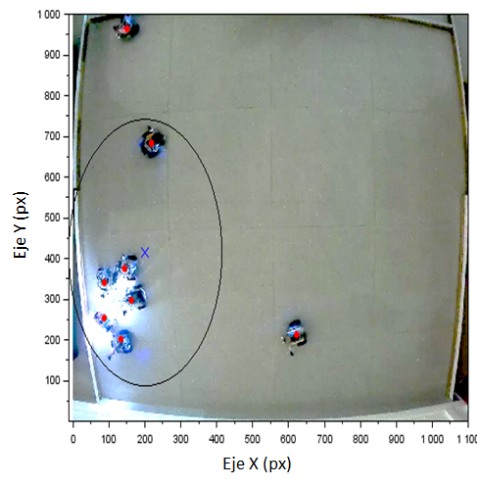
FIGURA 4.15: Manada de robots ejecutando tarea de depredador-presa con  $r_r = 0.15$  y  $r_a = 0.6$  para los robot-depredadores.



(a) Prueba 1

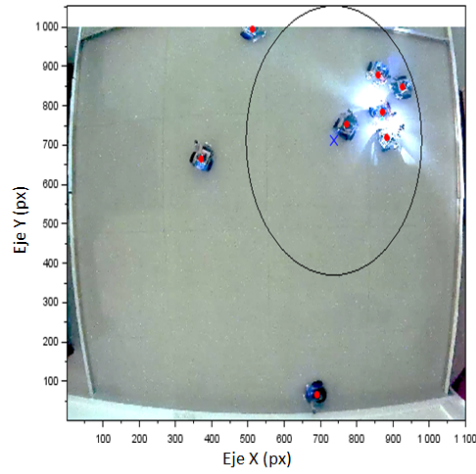


(b) Prueba 2

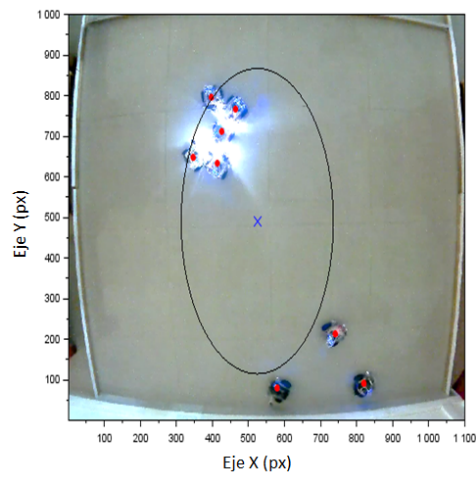


(c) Prueba 3

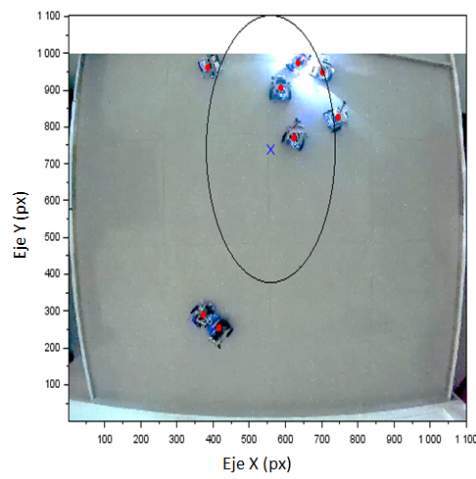
FIGURA 4.16: Manada de robots ejecutando tarea de depredador-presa con  $r_r = 0.05$  y  $r_a = 1$  para los robot-depredadores.



(a) Prueba 1

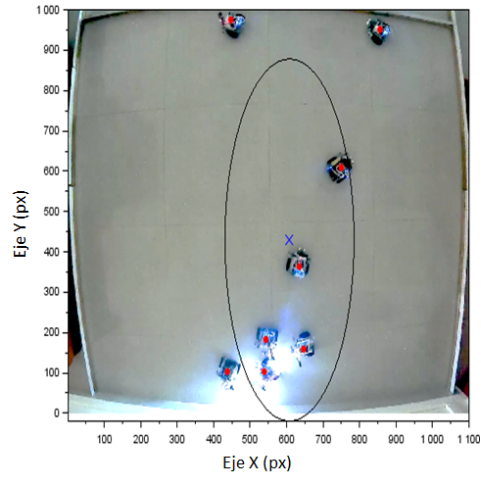


(b) Prueba 2

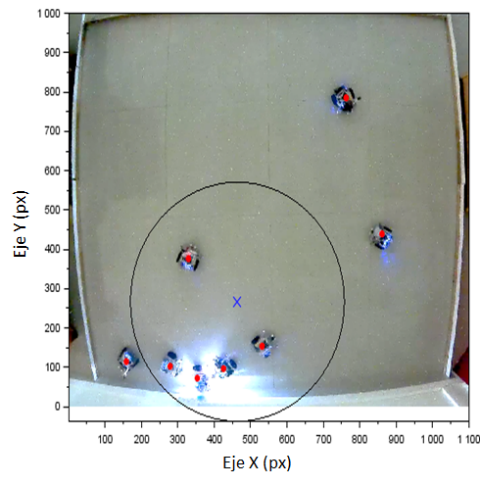


(c) Prueba 3

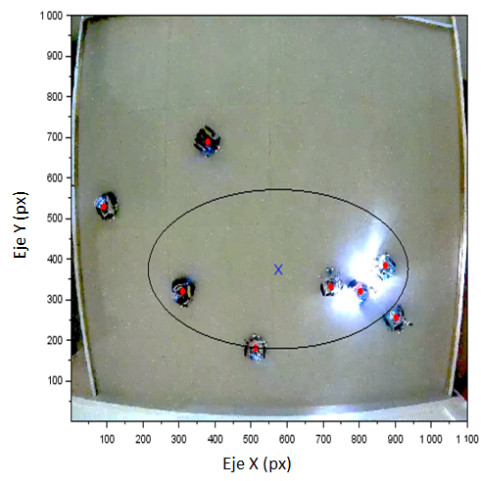
FIGURA 4.17: Manada de robots ejecutando tarea de depredador-presa con  $r_r = 0.1$  y  $r_a = 1$  para los robot-depredadores.



(a) Prueba 1



(b) Prueba 2



(c) Prueba 3

FIGURA 4.18: Manada de robots ejecutando tarea de depredador-presa con  $r_r = 0.1$  y  $r_a = 1$  para los robot-depredadores.

TABLA 4.2: Resultados de tarea depredador-presa, basados en implementación física.

Test	$r_r$ (m)	$r_a$ (m)	No. de prueba	$Cm_x$	$Cm_y$	$\varsigma_x$ (px)	$\varsigma_y$ (px)	$\varepsilon$ (px <sup>2</sup> )	$t_c$ (s)
1	0.05	0.2	1	906.625	709.500	93.513	45.144	13262	23
			2	589.125	786.375	184.077	254.752	147321	29
			3	822.375	348.625	205.200	64.110	41328	26
			<b>Media</b>	<b>772.708</b>	<b>614.833</b>	<b>160.930</b>	<b>121.335</b>	<b>67304</b>	<b>26</b>
2	0.1	0.2	1	960.375	729.625	142.360	189.759	84867	34
			2	705.625	533.375	134.612	163.629	69198	36
			3	498.875	248.625	221.393	175.128	121806	32
			<b>Media</b>	<b>721.625</b>	<b>503.875</b>	<b>166.122</b>	<b>176.172</b>	<b>91957</b>	<b>34</b>
3	0.15	0.2	1	249.000	283.875	126.884	251.440	100228	40
			2	750.750	768.000	211.870	226.060	150467	35
			3	358.375	713.125	269.503	181.153	153375	49
			<b>Media</b>	<b>452.708</b>	<b>588.333</b>	<b>202.752</b>	<b>219.551</b>	<b>134690</b>	<b>41</b>
4	0.05	0.6	1	298.000	193.625	98.774	118.246	36692	41
			2	594.375	708.625	133.840	257.571	108300	50
			3	897.375	790.250	114.262	150.715	54101	48
			<b>Media</b>	<b>596.583</b>	<b>564.167</b>	<b>115.625</b>	<b>175.510</b>	<b>66364</b>	<b>46</b>
5	0.1	0.6	1	863.875	317.250	161.319	141.918	71923	45
			2	945.042	276.458	209.543	202.874	133552	48
			3	668.875	646.750	352.396	184.788	204575	60
			<b>Media</b>	<b>825.931</b>	<b>413.486</b>	<b>241.086</b>	<b>176.527</b>	<b>136683</b>	<b>51</b>
6	0.15	0.6	1	640.750	724.750	231.701	235.215	171215	38
			2	776.375	305.750	272.843	163.725	140338	52
			3	690.125	500.000	361.117	207.970	235938	55
			<b>Media</b>	<b>702.417</b>	<b>510.167</b>	<b>288.553</b>	<b>202.303</b>	<b>182497</b>	<b>48</b>
7	0.05	1	1	607.750	429.500	136.113	345.585	147775	63
			2	524.375	491.000	162.486	289.447	147752	42
			3	201.500	414.875	164.050	251.812	129778	57
			<b>Media</b>	<b>444.542</b>	<b>445.125</b>	<b>154.216</b>	<b>295.614</b>	<b>141768</b>	<b>54</b>
8	0.1	1	1	736.875	712.000	186.244	263.095	153937	72
			2	896.500	461.500	181.537	235.187	134130	78
			3	559.125	740.250	136.939	279.097	120069	61
			<b>Media</b>	<b>730.833</b>	<b>637.917</b>	<b>168.240</b>	<b>259.126</b>	<b>136045</b>	<b>70</b>
9	0.15	1	1	686.750	771.250	230.473	223.175	161590	112
			2	463.750	266.750	226.034	233.924	166110	91
			3	575.000	375.125	277.264	150.827	131377	79
			<b>Media</b>	<b>575.167</b>	<b>471.042</b>	<b>244.590</b>	<b>202.642</b>	<b>153026</b>	<b>94</b>

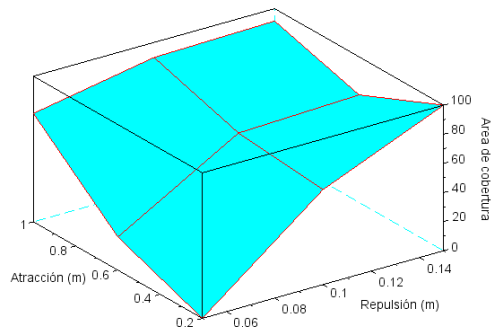
Las Figuras 4.10 - 4.18, ilustran algunas instantáneas de los experimentos físicos y muestran la posición de cada miembro del enjambre, cuando los robot-depredadores atrapan al robot-presa. Considerando todos los experimentos, cambios de parámetros y pruebas por experimento, se generó la Tabla 4.2 que incluye el centro de masa del enjambre ( $C_m$ ), la dispersión ( $\varsigma$ ), el área de la elipse ( $\varepsilon$ ) y el tiempo de captura ( $t_c$ ). Como en los resultados de la simulación, se formó una elipse en el enjambre considerando su área cubierta a través de la dispersión y el centro de masa calculado.

### 4.1.3 ANÁLISIS DE DATOS Y MODELADO DE LA EMERGENCIA DE COLABORACIÓN EN EL ENJAMBRE, A PARTIR DE LOS RESULTADOS OBTENIDOS EN LA TAREA DE DEPRADOR-PRESA

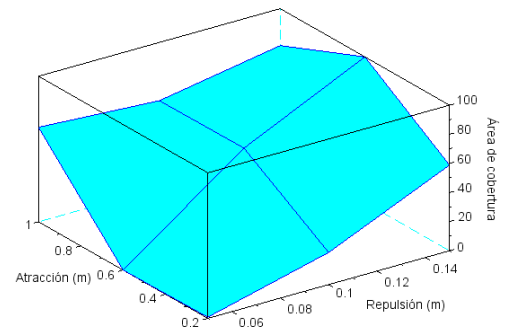
Las Figuras 4.19 y 4.20 ilustran el efecto de repulsión y atracción en el enjambre con respecto al área de cobertura ( $\varepsilon$ ) y el tiempo de captura ( $t_c$ ). Los datos fueron extraídos de las Tablas 4.1 y 4.2 con los valores promedio normalizados en un rango de 0 a 100. En las Figuras 4.19a y 4.19b, el parámetro de repulsión tiene mayor peso sobre el de atracción, donde el efecto en las simulaciones es más fuerte; además, se presenta un resultado semejante en el área de cobertura cuando el valor de los parámetros cambia. De la misma manera, las Figuras 4.20a y 4.20b, presentan grandes similitudes, a diferencia del efecto en el área de cobertura, el parámetro de atracción tiene mayor peso sobre el de repulsión; además, el efecto de los parámetros es muy parecido, otorgando resultados muy cercanos.

Con el fin de obtener una aproximación al modelo de comportamiento de las Figuras 4.19 y 4.20, y conocer el impacto que tienen los parámetros  $r_r$  y  $r_a$ , se realiza una regresión lineal múltiple que permite generar un modelo lineal con ecuación de tipo:



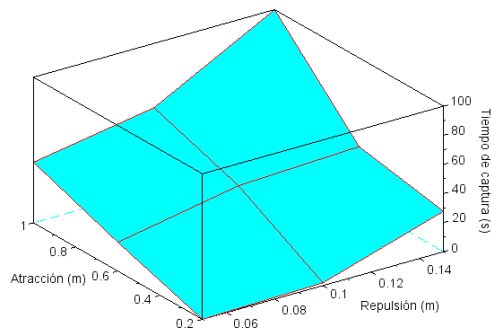


(a) Basado en simulaciones

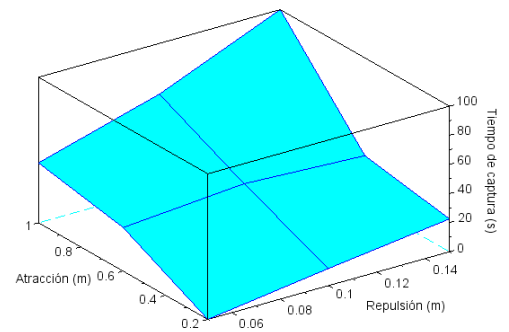


(b) Basado en implementación física

FIGURA 4.19: Efecto de repulsión y atracción en el área de cobertura para tarea depredador-presa.



(a) Basado en simulaciones



(b) Basado en implementación física

FIGURA 4.20: Efecto de repulsión y atracción en el tiempo de captura para tarea depredador-presa.



$$Y = (b_0 + b_1X_1 + b_2X_2 + \dots + b_nX_n) \quad (4.1)$$

donde la variable dependiente  $Y$  se determina a partir de un conjunto de variables independientes llamadas predictoras  $(X_1, X_2, \dots, X_n)$ ,  $b_0$  es la ordenada en el origen,  $b_1, b_2, \dots, b_n$  son los coeficientes de regresión que muestran el efecto de las variables predictoras sobre la variable independiente, y  $e$  es el error que muestra la diferencia entre el valor observado y el estimado por el modelo.

Para estimar la ecuación de regresión múltiple de cada superficie generada en las Figuras 4.19a, 4.19b, 4.20a y 4.20b se hizo uso del software *IBM® SPSS Statistics*, un programa estadístico informático. Los resultados de la salida para cada modelo son los siguientes:

TABLA 4.3: Estadísticas de la regresión para modelos de tarea depredador-presa.

Modelo	$R$	$R^2$	$R^2$ ajustado	Error típico
Figura 4.19a	0.833378	0.694519	0.592692	21.103805
Figura 4.19b	0.86723	0.75208	0.66944	19.61621
Figura 4.20a	0.94561	0.89418	0.85891	11.36563
Figura 4.20b	0.93109	0.86663	0.822567	12.51166

Los resultados de la Tabla 4.3 indican el coeficiente de relación múltiple  $R$ , es decir, la correlación entre el conjunto de variables predictoras ( $r_r$  y  $r_a$ ) y la criterio ( $\varepsilon$  o  $t_c$ ). El coeficiente de determinación  $R^2$  que determina la calidad del modelo para replicar los resultados y su proporción de variación. El coeficiente de correlación múltiple al cuadrado  $R^2$  ajustado que es una forma de minimizar la suma de todas las correlaciones que mantienen las variables predictoras con el criterio. Por último, el error típico de estimación que se refiere a la desviación típica de las puntuaciones de error.

Por otro lado, la Tabla 4.4 nos muestra información sobre la ecuación de regresión y sus coeficientes. Las primeras columnas contienen los coeficientes de

regresión parcial de las variables predictoras del modelo de regresión y su error típico. La última columna muestra el valor de probabilidad (p-valor), donde valores por debajo de 0.05 indican que la variable contribuye significativamente a mejorar la calidad del modelo de regresión.

TABLA 4.4: Relación de coeficientes para modelos de tarea depredador-presa.

Modelo		Coeficiente	Error típico	P-valor
Figura 4.19a	$b_0$	-13.278346	22.658625	0.579225
	$b_1$	560.5543	172.311843	0.0173977
	$b_2$	37.6669	21.53898	0.130911
Figura 4.19b	$b_0$	-36.287419	21.061431	0.135673
	$b_1$	559.063436	160.165679	0.012975
	$b_2$	49.113625	20.02071	0.049578
Figura 4.20a	$b_0$	-41.41797	12.20299	0.014602
	$b_1$	351.724136	92.799986	0.009072
	$b_2$	69.923563	11.56	0.000941
Figura 4.20b	$b_0$	-33.31977	13.433456	0.0477822
	$b_1$	281.04412	102.157282	0.033243
	$b_2$	71.691176	12.769660	0.001363

De modo que el modelo aproximado de las superficies en las Figuras 4.19a, 4.19b, 4.20a y 4.20b, corresponden a las Ecuaciones (4.2), (4.3), (4.4) y (4.5), con una certeza del 59.2 %, 66.9 %, 85.91 % y 82.2 %, respectivamente.

$$\varepsilon_s = -13.278346 + 560.5543r_r + 37.6669r_a \quad (4.2)$$

$$\varepsilon_i = -36.287419 + 559.063436r_r + 49.113625r_a \quad (4.3)$$

$$t_{cs} = -41.417967 + 351.724136r_r + 69.923563r_a \quad (4.4)$$

$$t_{ci} = -33.31977 + 281.04412r_r + 71.691176r_a \quad (4.5)$$

Por último, en la Tabla 4.5 se muestra el porcentaje de correlación de las variables  $r_r$  y  $r_a$  con la variable dependiente.

TABLA 4.5: Correlación de parámetros para modelos de tarea depredador-presa.

Modelo	Repulsión		Atracción	
	Correlación	Porcentaje	Correlación	Porcentaje
Ec. 4.2	0.734039	53.88 %	0.394594	18.57 %
Ec. 4.3	0.709526	50.34 %	0.498654	24.86 %
Ec. 4.4	0.503338	25.33 %	0.800519	64.08 %
Ec. 4.5	0.409710	16.78 %	0.836099	69.9 %

Las Ecuaciones (4.2) - (4.5) son sólo una aproximación para los modelos de comportamiento de las superficies generadas en las Figuras 4.19 y 4.20 para condiciones específicas de influencia, número de población, capacidad de percepción y área de prueba; además, están acotadas al rango de los valores en las configuraciones paramétricas utilizadas. Sin embargo, podemos ver una relación importante entre los parámetros con el comportamiento del enjambre y la significancia que tiene cada uno con el desempeño de la tarea.

#### 4.1.4 DISCUSIÓN

En los resultados se muestra el rendimiento de los robot-depredadores cuando intentan capturar el robot-presa para cada configuración paramétrica. El comportamiento cambia ante las variaciones en los parámetros  $r_r$  y  $r_a$ ; con estos cambios, no solo mejora el rendimiento del enjambre, sino incluso la eficiencia

individual del robot. Según los resultados, surgen diferentes comportamientos o escenarios típicos de la *RE* [40].

El comportamiento observado en las simulaciones computacionales fue consistente con la implementación en una bandada de robots físicos, como se esperaba. La Tabla 4.3 muestra que los resultados por simulación no se encuentran alejados de la implementación física, obteniendo coeficientes de determinación con errores típicos muy similares para los comportamientos de las Figuras 4.19 y 4.20. Por otro lado, vemos que la relación entre los parámetros es significativa en función del caso (Tabla 4.5). Con respecto al área de cobertura, el parámetro de repulsión tiene un porcentaje de correlación mayor, ya que al aumentar, ocasiona que los agentes se eviten unos a otros para prevenir colisiones provocando un aumento en el área de dispersión. Mientras que, con respecto al tiempo de captura, el parámetro de atracción tiene un porcentaje de correlación mayor, permitiendo al enjambre moverse de forma más coordinada en el espacio por la formación de cadenas de robots (ver Figura 4.7).

Con valores bajos de repulsión, surge un comportamiento de agregación y pastoreo [102, 103, 79], donde los robot-depredadores se mantienen unidos y son más fieles a la trayectoria del robot-presa (ver Figuras 4.1 y 4.10). Los robot-depredadores intentan acercarse uno al otro minimizando las distancias entre ellos y en colaboración con otros tienden a seguir al robot-presa. Aunque el comportamiento de pastoreo se centra en robots heterogéneos o especializados [104], el robot-presa toma el papel de “pastor” por instantes estimulando a los robot-depredadores con un factor de influencia que los guía hasta que es capturado. Al aumentar los valores de repulsión, se genera un comportamiento de dispersión [105, 106], las distancias entre los robot-depredadores se maximizan y el área de cobertura aumenta, lo que provoca que dejen de detectar al robot-presa y tomen más tiempo para capturarlo (ver Figuras 4.3 y 4.15). El comportamiento causado por esta configuración de parámetros es útil para evitar colisiones y explorar grandes áreas; sin embargo, los robots deben permanecer dentro del área de

detección, de lo contrario, se perderán. Es decir, al tener un área de cobertura pequeña (ver Figuras 4.1 y 4.10) la interacción entre los robot-depredadores es más cercana, y la mayoría de ellos se encuentran alrededor del robot-presa; mientras que, al tener un área de cobertura grande (ver Figuras 4.3 y 4.12), hay menos interacción entre los robot-depredadores, por lo que algunos de ellos pueden perder el rastro del robot-presa.

Por otro lado, los valores bajos de atracción causa independencia entre los miembros del enjambre; mientras que, valores altos de atracción provoca que sea difícil para los robot-depredadores, decidir entre seguir al robot-presa o reagruparse con el enjambre (ver Figuras 4.9 y 4.17). Los robot-depredadores exploran su entorno y verifican si hay grupos más grandes a los que deben unirse, esto ayuda a mantener un comportamiento de agregación formando subgrupos, pero se pierde precisión en el seguimiento de la trayectoria del robot-presa, aumentando el área de cobertura. En algunos casos, se forman cadenas de robots (ver Figura 4.7), similar a un estudio reportado por S. Nouyan et al. [107].

En general, los valores bajos de repulsión y atracción hacen que los robots depredadores sigan al robot de presa como un guía, con esta configuración es más probable que se capture en las esquinas o bordes del área de prueba. Los valores altos de repulsión y atracción hacen que los robot-depredadores se dispersen y regresen a su objetivo desde diferentes ángulos, lo que permite capturar al robot-presa en el centro del área de prueba; sin embargo, con esta configuración el área de cobertura y tiempo de captura aumenta. Los robot-depredadores al evitar colisiones con sus vecinos crearán nuevos caminos que volverán a converger al robot-presa atrapándolo desde otra perspectiva.

## 4.2 SEGUNDO CASO EXPERIMENTAL (TAREA DE TRANSPORTE DE OBJETOS)

### 4.2.1 SIMULACIONES

Se realizaron simulaciones gráficas con 20 objetos y para 5, 10 y 20 robots, los cuales cuentan con las capacidades sensoriales del robot *BugBot*, en un área de prueba de  $10 \times 10 \text{ m}^2$ , y por cada simulación se hicieron tres repeticiones. Todos los robots tienen la misma configuración paramétrica por cada experimento, el voltaje aplicado en los motores corresponde a la Ecuación (2.31) y el umbral de influencia se estableció en el 10% de la capacidad total de las LDRs. La posición inicial de los robots (flechas negras) es aleatoria dentro del “nido”, el cual se marca con un cuadro rojo de dimensiones de  $2 \times 2 \text{ m}^2$ ; mientras que, los objetos (círculos verdes) son colocados de forma aleatoria dentro de la zona de búsqueda, marcada con un cuadro azul de dimensiones de  $2 \times 2 \text{ m}^2$ . El origen de la zona de búsqueda es el punto  $(7.5, 7.5)$  con radio de  $1.5 \text{ m}$ ; mientras que, el origen de la zona de entrega (nido), es el punto  $(1, 1)$  con radio de  $4 \text{ m}$ . Ambas zonas (búsqueda y entrega) representan el factor de influencia que estimula a los robots a encontrar o descargar los objetos en la zona correspondiente en función del estado de las tenazas.

Las Figuras 4.21 - 4.32 ilustran algunas instantáneas de simulaciones con la evolución del desarrollo de la tarea, donde  $\kappa$  corresponde el número de iteración equivalente a 1 segundo. Las Tablas 4.6 - 4.8 muestran el resultado promedio de todas las pruebas para 5, 10 y 20 miembros del enjambre e incluye la distancia recorrida ( $\lambda$ ), tiempo de entrega ( $t_d$ ) y búsqueda por robot ( $t_s$ ), y el tiempo de ejecución de la tarea por el enjambre ( $t_e$ ).

En las simulaciones con 5 robots (ver Figuras 4.21 - 4.24), el efecto de los parámetros es débil, ya que la interacción entre los miembros del enjambre es muy

poca debido al gran espacio de trabajo. De modo que, la repulsión ayuda a que los miembros del enjambre se dispersen y cubran mayor territorio para localizar los objetos, mientras que la atracción no parece tener un efecto notable. En las simulaciones con 10 robots (ver Figuras 4.25 - 4.28), el efecto de los parámetros es el mismo que con 5 robots, sin embargo, el parámetro de atracción se hace más fuerte, provocando la formación de cadenas de robots. Finalmente, en las simulaciones con 20 robots (ver Figuras 4.29 - 4.32), surge un comportamiento distinto al observado con 5 y 10 robots, los mejores resultados son obtenidos con valores intermedios de repulsión, ya que cuando se tienen valores bajos, los robots tardan más en localizar los objetos, mientras que, con valor altos, los robots se estorban entre sí impidiendo tomar los objetos. Por otro lado, el efecto de la atracción se intensifica ayudando a que los robots se trasladen entre las áreas de entrega y búsqueda con la formación de las cadenas de robots. El detalle de la discusión se comenta en la Sección 4.2.4.

#### 4.2.2 EXPERIMENTOS POR IMPLEMENTACIÓN FÍSICA

Con el fin de validar experimentalmente las pruebas realizadas por simulación, se implementaron las reglas de comportamiento considerando los sensores locales de los robots tipo *BugBot*. Los experimentos se realizaron con tres *BugBot*, en un área de prueba de  $1.8 \times 1.1 \text{ m}^2$ , donde se ejecutaron casos específicos de configuraciones paramétricas, y para cada una se hicieron cuatro réplicas. Como objetos, se consideran cubos pequeños de diámetro de  $0.03 \text{ m}$ . En cada experimento se colocan 20 objetos en la zona de búsqueda y la tarea termina cuando se entregan 10 objetos en el nido. Cada zona es influenciada por fuentes de luz colocadas en esquinas del área de prueba.

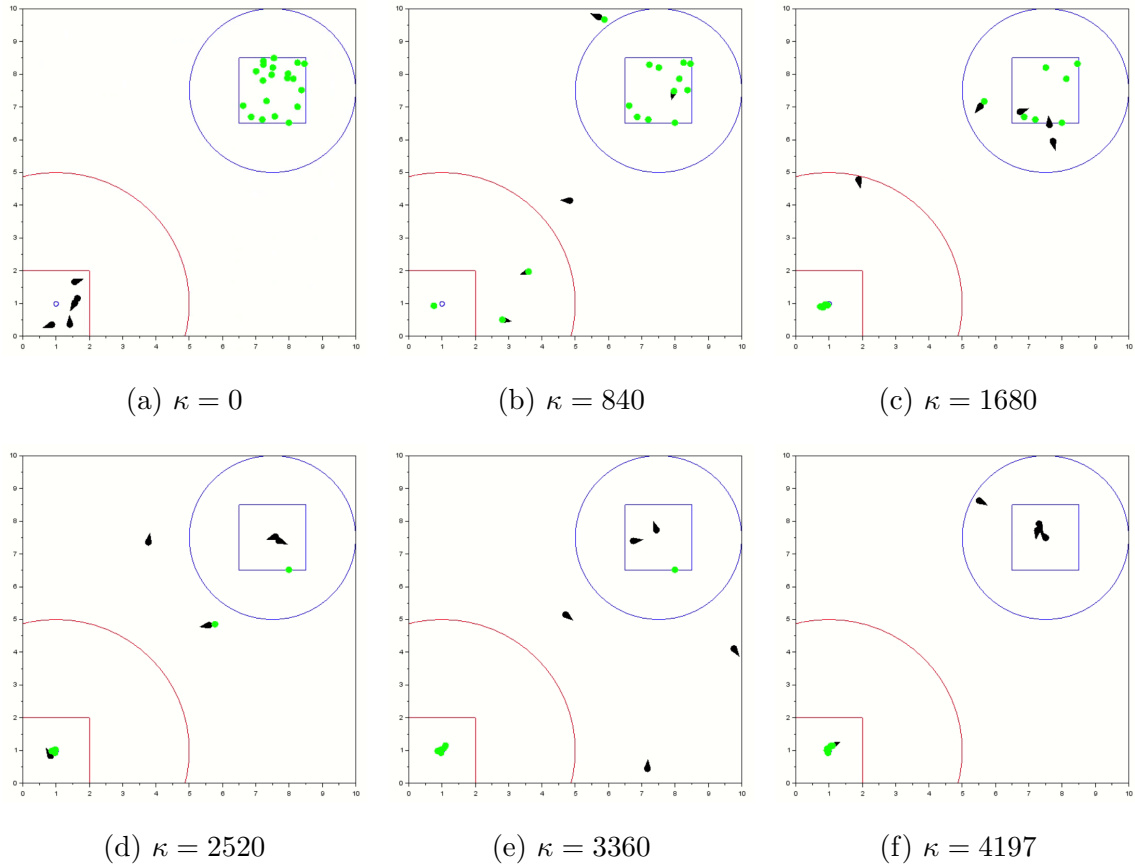


FIGURA 4.21: Simulación de enjambre de 5 robots ejecutando tarea de transporte de objetos con  $r_r = 0.01$  y  $r_a = 0.2$ .



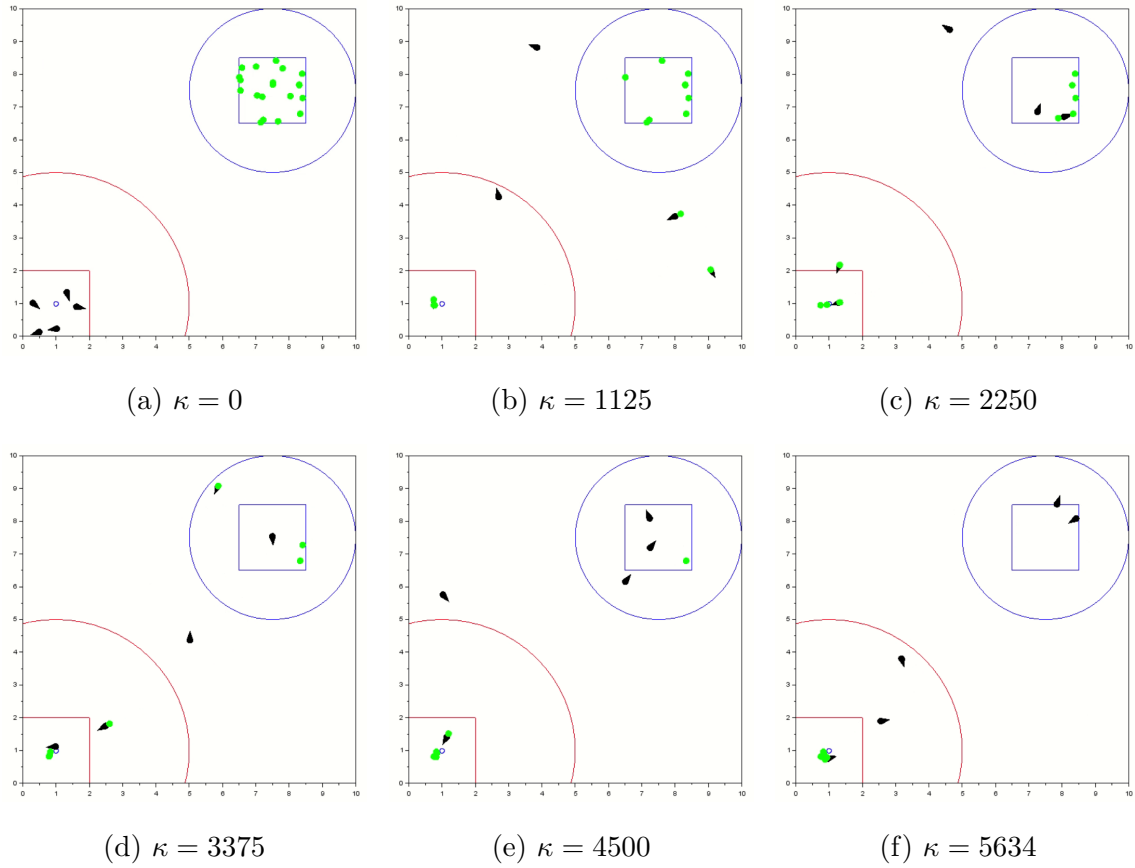


FIGURA 4.22: Simulación de enjambre de 5 robots ejecutando tarea de transporte de objetos con  $r_r = 0.01$  y  $r_a = 1$ .

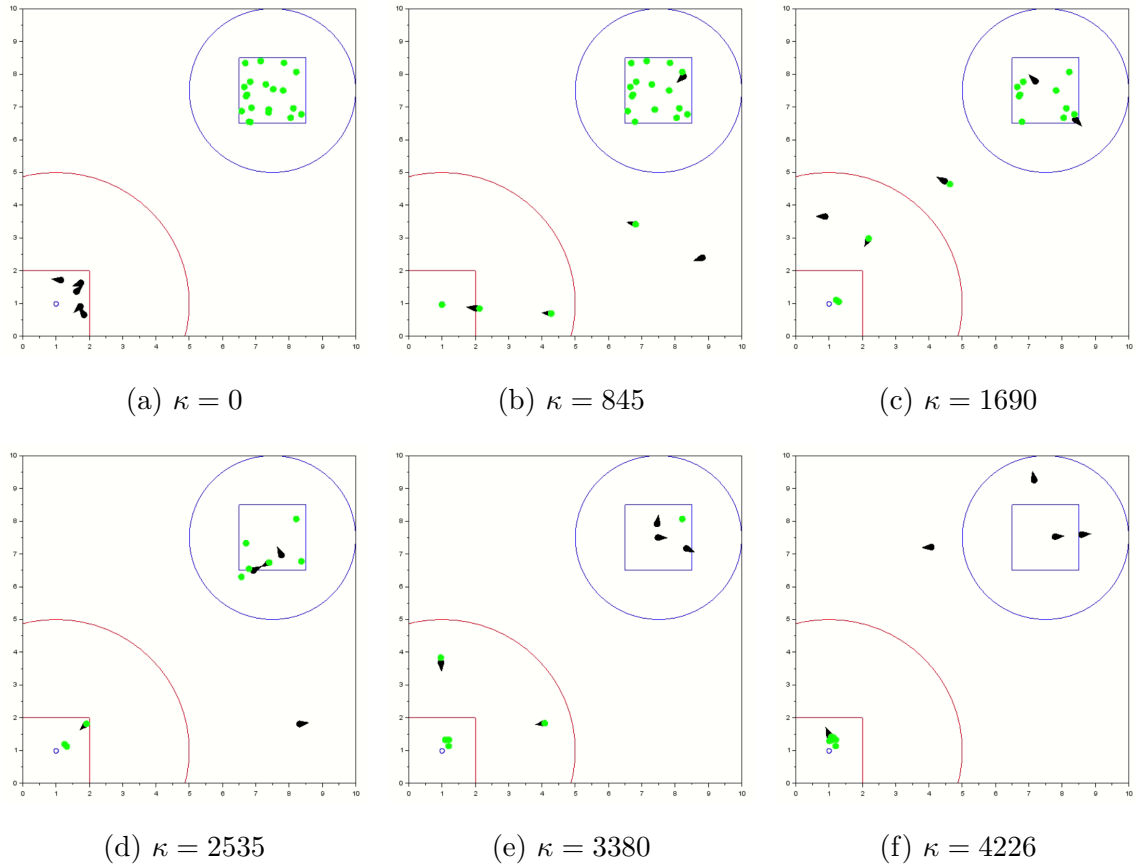


FIGURA 4.23: Simulación de enjambre de 5 robots ejecutando tarea de transporte de objetos con  $r_r = 0.1$  y  $r_a = 0.2$ .

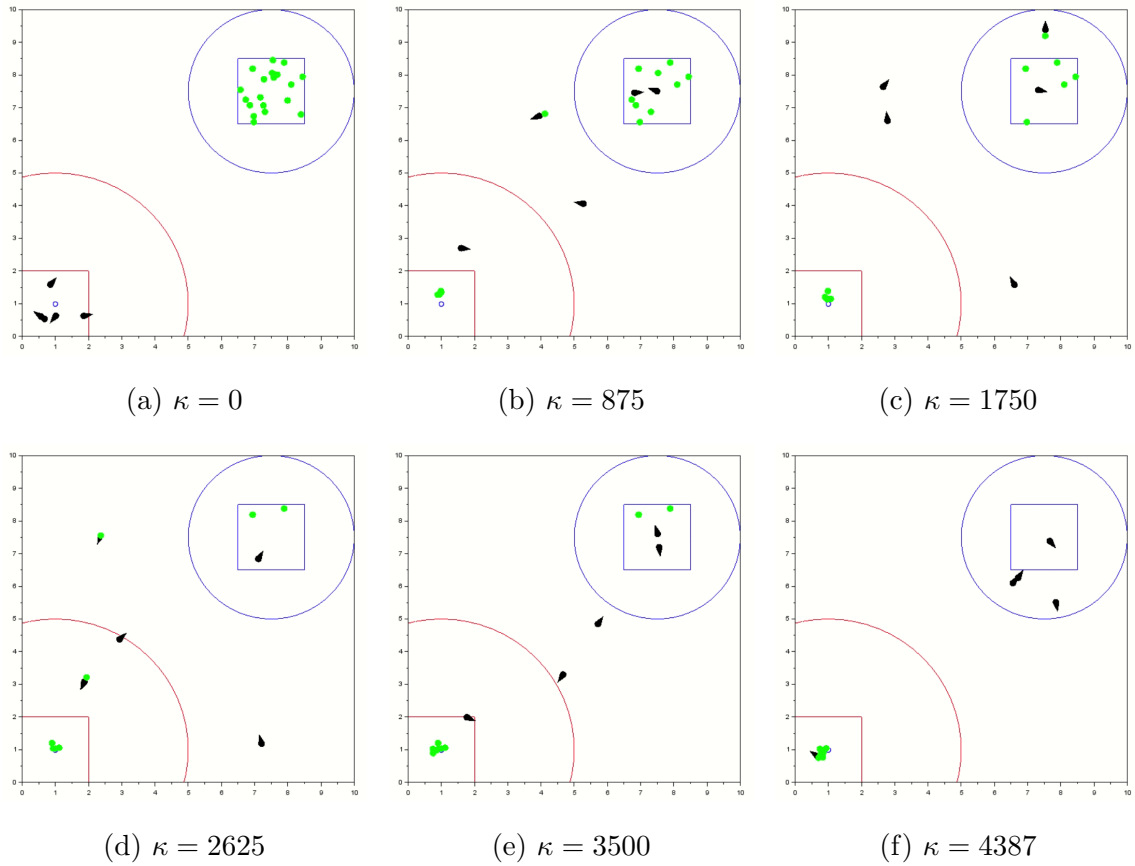


FIGURA 4.24: Simulación de enjambre de 5 robots ejecutando tarea de transporte de objetos con  $r_r = 0.1$  y  $r_a = 1$ .

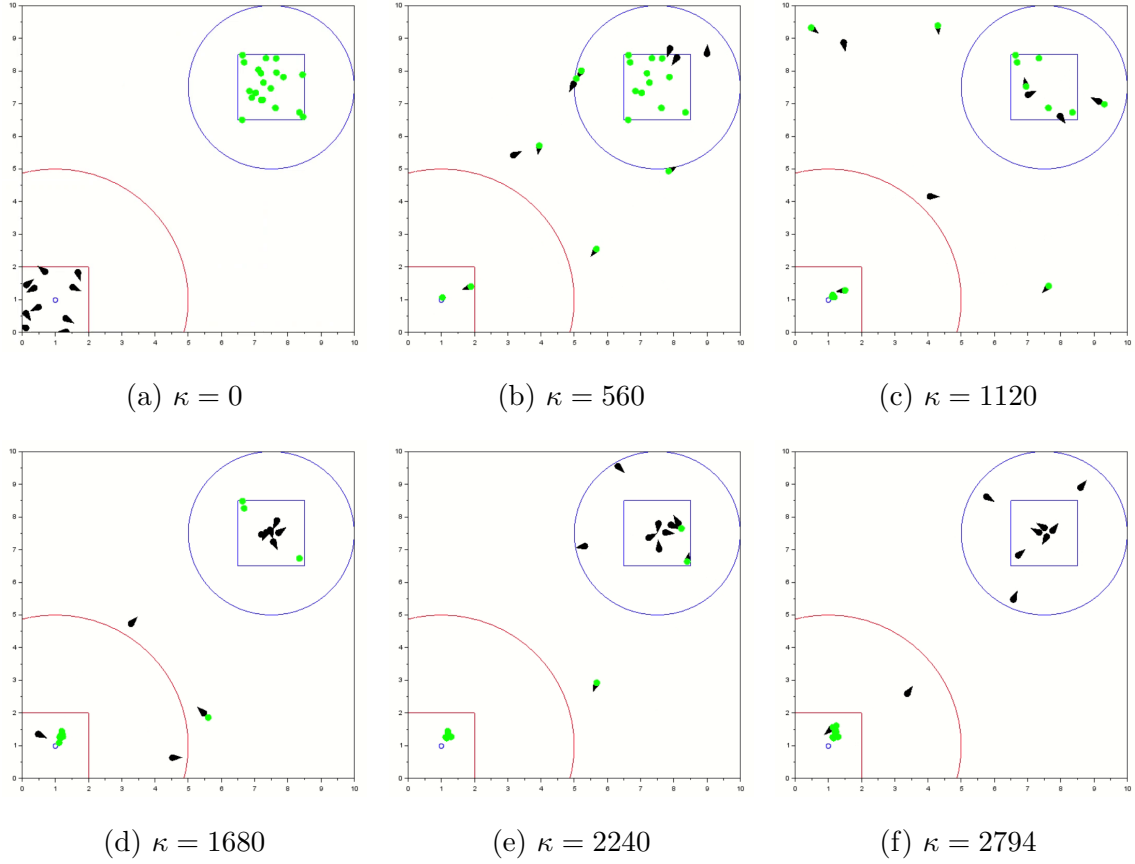


FIGURA 4.25: Simulación de enjambre de 10 robots ejecutando tarea de transporte de objetos con  $r_r = 0.01$  y  $r_a = 0.2$ .

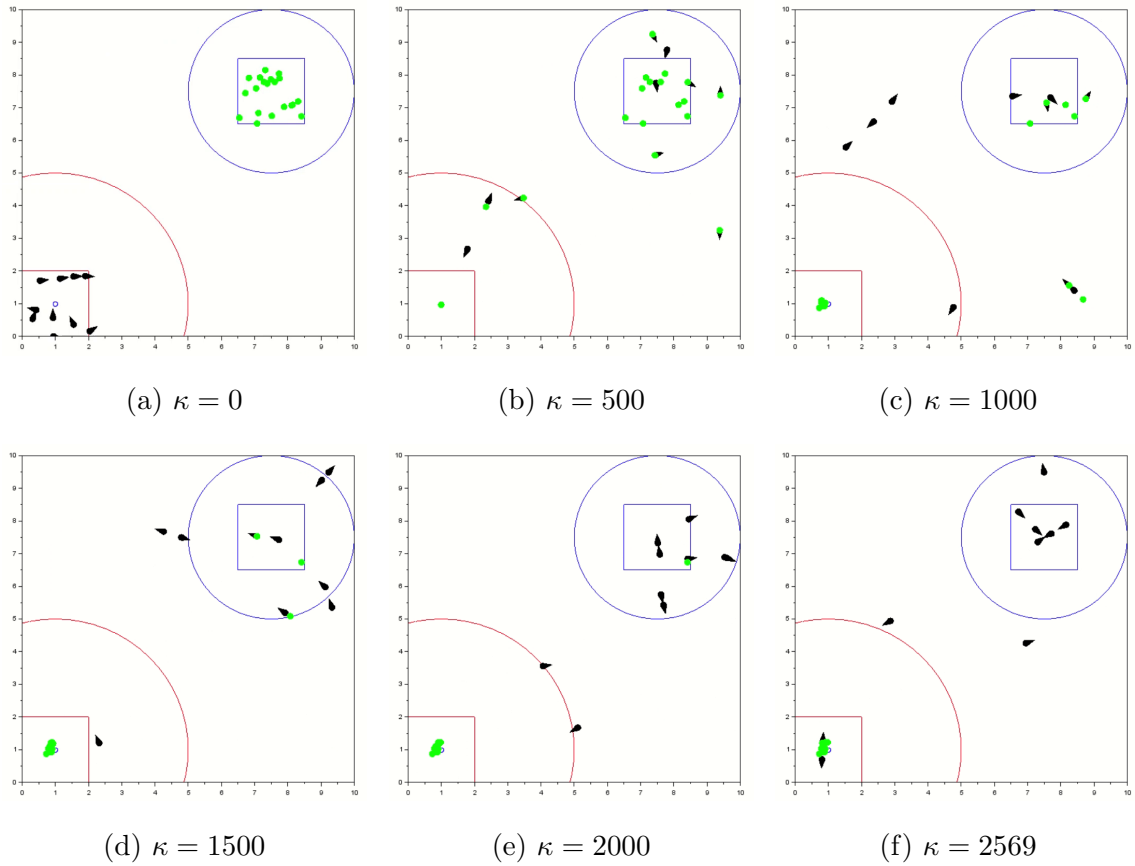


FIGURA 4.26: Simulación de enjambre de 10 robots ejecutando tarea de transporte de objetos con  $r_r = 0.01$  y  $r_a = 1$ .

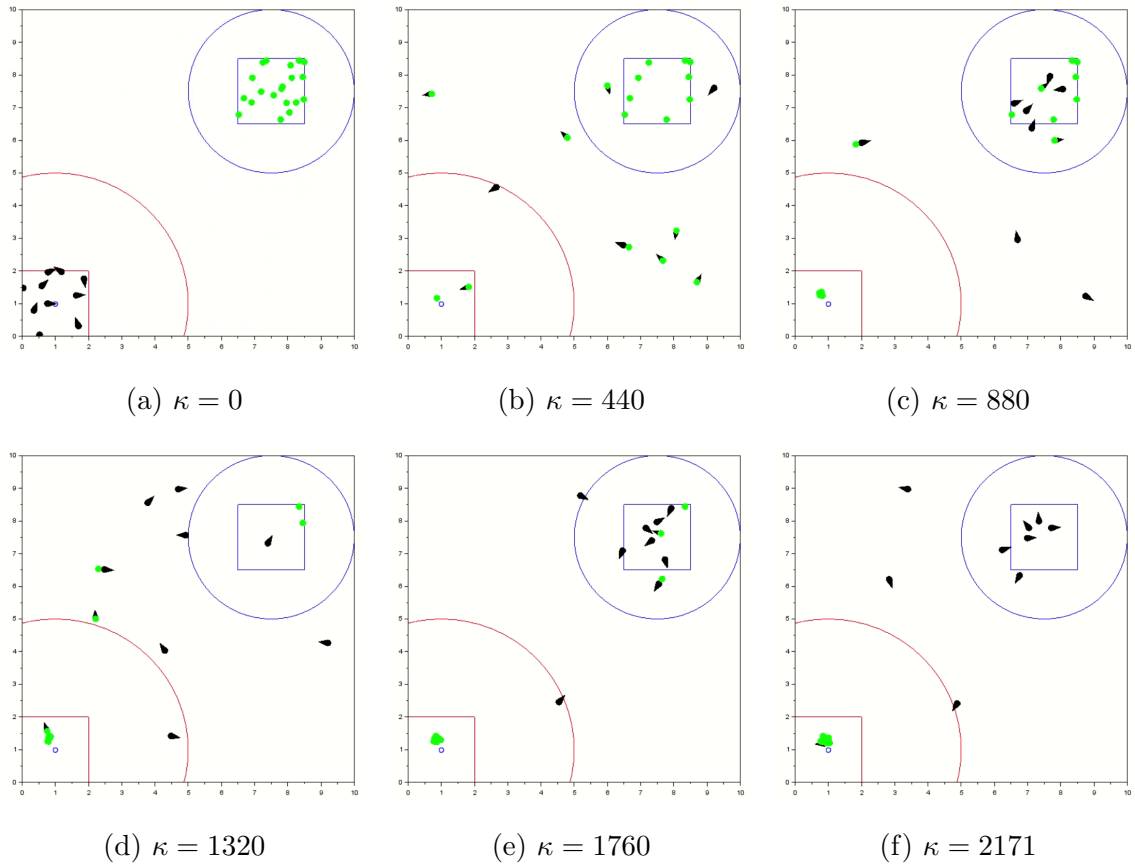


FIGURA 4.27: Simulación de enjambre de 10 robots ejecutando tarea de transporte de objetos con  $r_r = 0.1$  y  $r_a = 0.2$ .

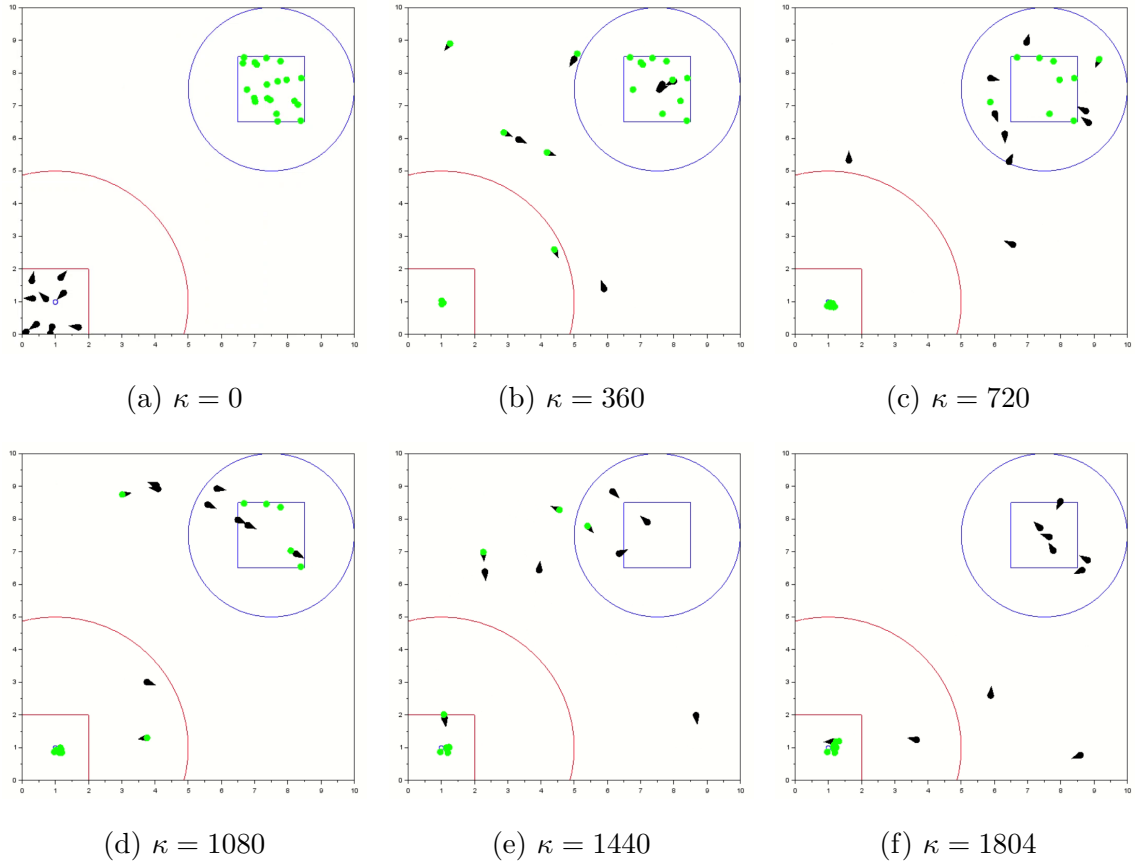


FIGURA 4.28: Simulación de enjambre de 10 robots ejecutando tarea de transporte de objetos con  $r_r = 0.1$  y  $r_a = 1$ .

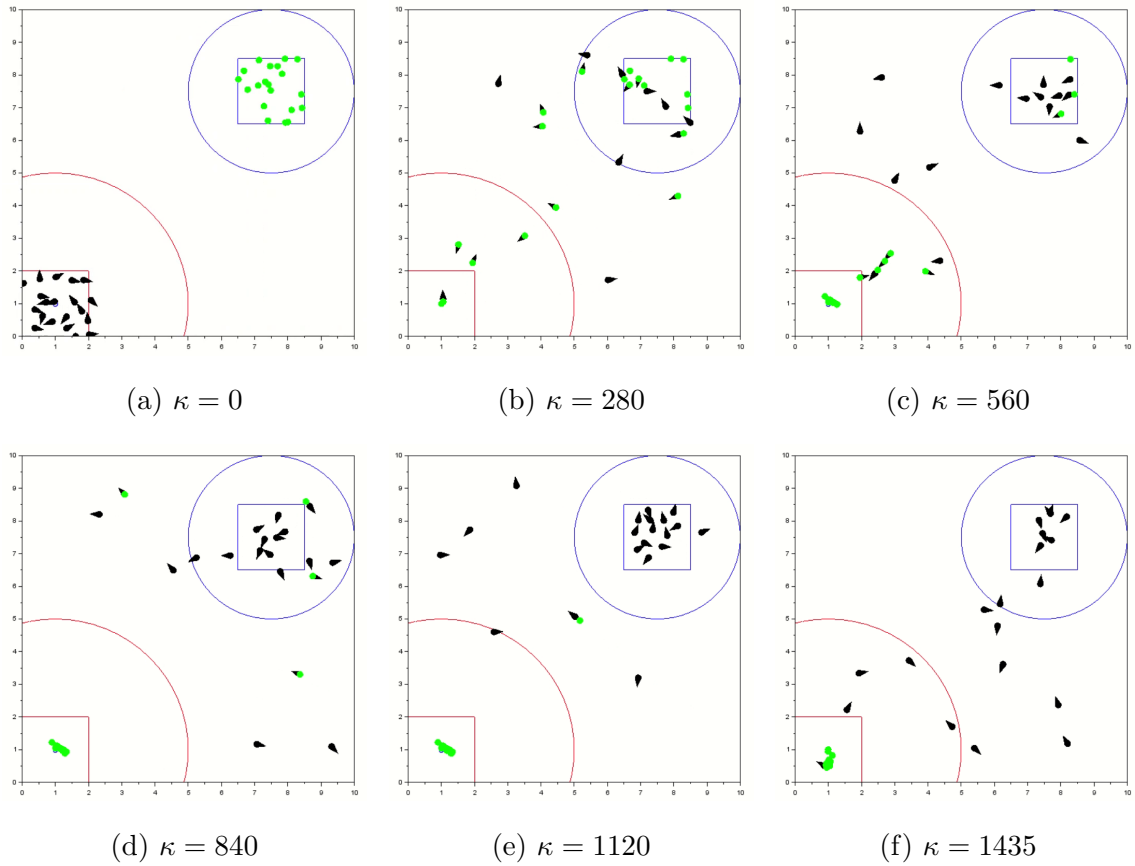


FIGURA 4.29: Simulación de enjambre de 20 robots ejecutando tarea de transporte de objetos con  $r_r = 0.01$  y  $r_a = 0.2$ .



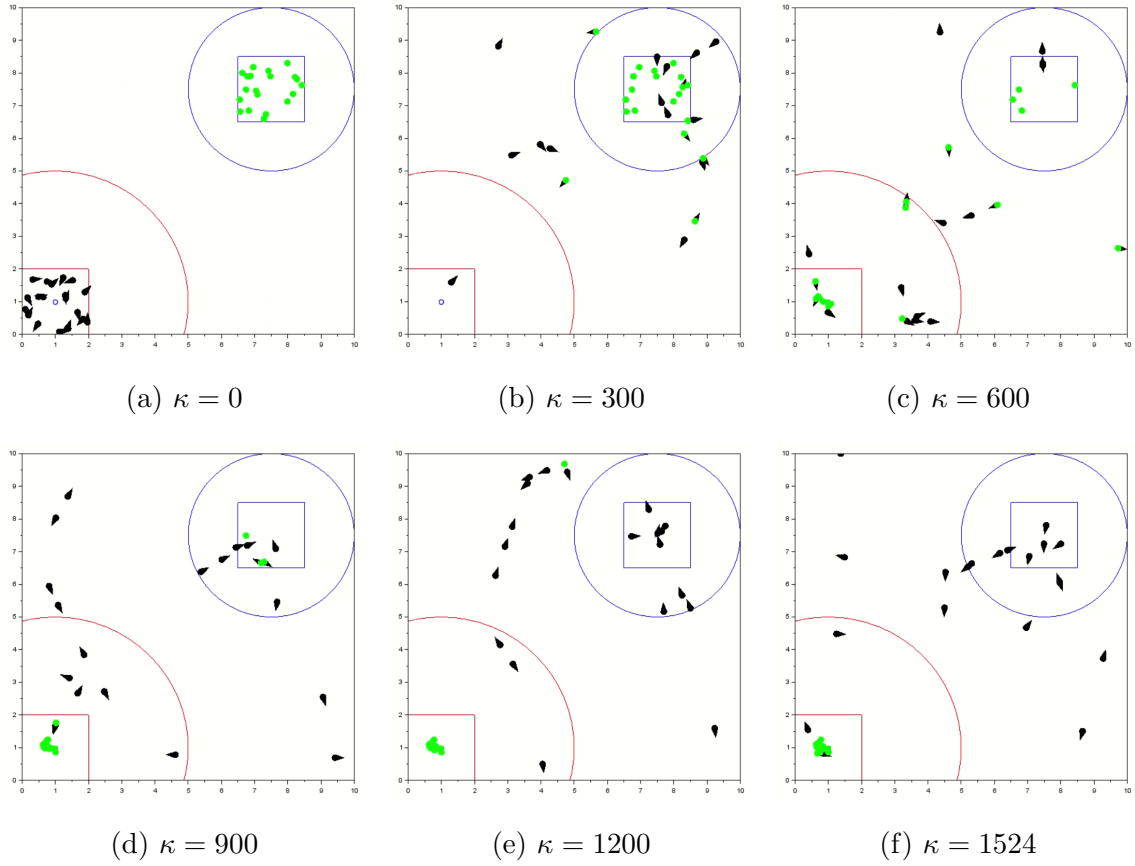


FIGURA 4.30: Simulación de enjambre de 20 robots ejecutando tarea de transporte de objetos con  $r_r = 0.01$  y  $r_a = 1$ .

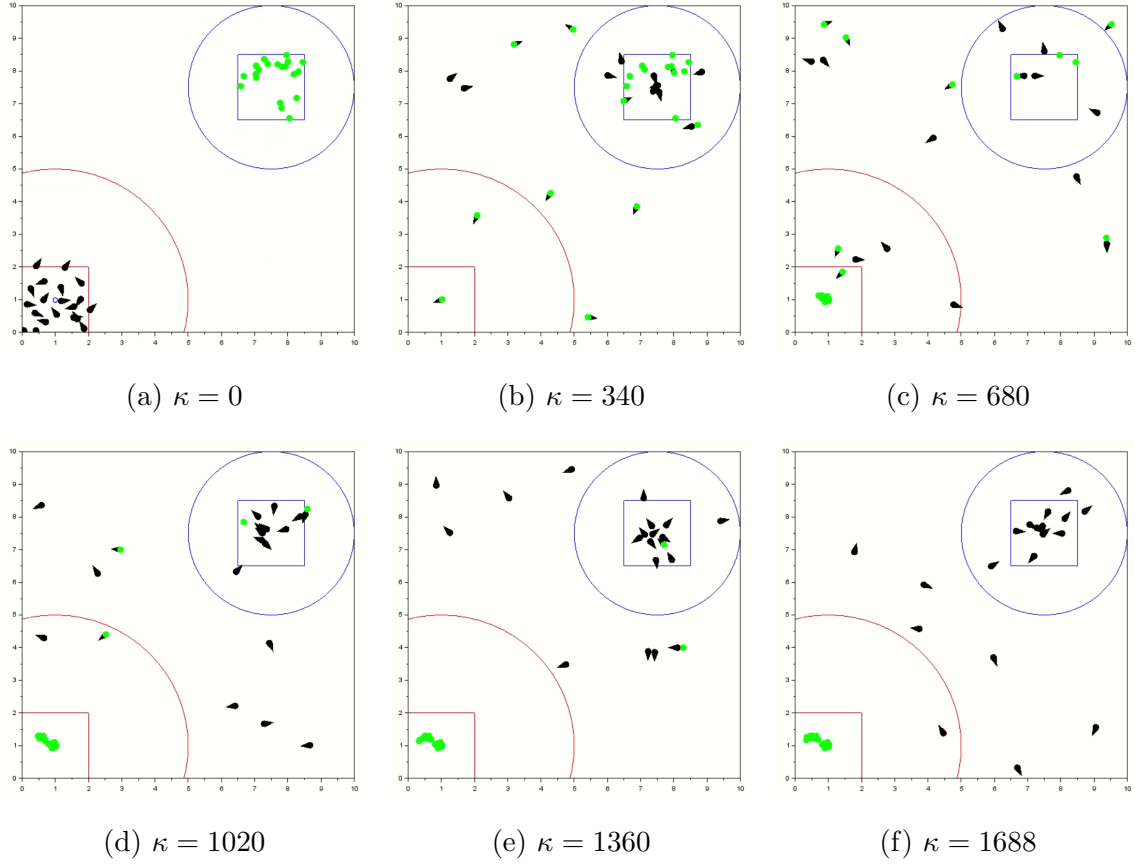


FIGURA 4.31: Simulación de enjambre de 20 robots ejecutando tarea de transporte de objetos con  $r_r = 0.1$  y  $r_a = 0.2$ .

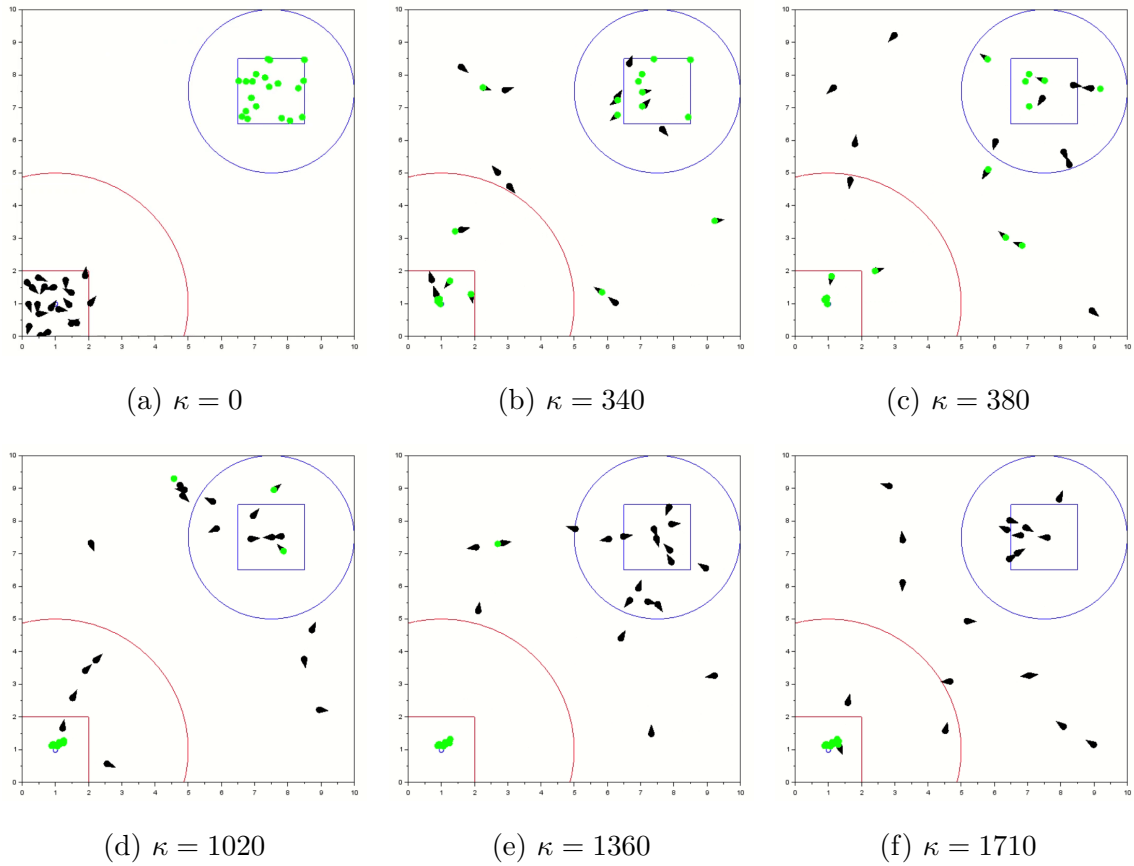


FIGURA 4.32: Simulación de enjambre de 20 robots ejecutando tarea de transporte de objetos con  $r_r = 0.1$  y  $r_a = 1$ .

TABLA 4.6: Resultados de tarea de transporte de objetos con 5 *BugBot*, basados en simulación.

Test	$r_r$ (m)	$r_a$ (m)	No. de prueba	$t_d$ (s)	$t_s$ (s)	$\lambda$ (m)	$t_e$ (s)
1	0.01	0.2	1	1223.2	5988.8	1397.775	7212
			2	859	5017	1067.0172	5876
			3	804.8	3392.2	819.16538	4197
			<b>Media</b>	<b>962.33</b>	<b>4799.33</b>	<b>1094.65</b>	<b>5761.67</b>
2	0.05	0.2	1	740	5538	1213.2369	6278
			2	1251	3374	904.28499	4625
			3	1331.6	2705.4	790.4595	4037
			<b>Media</b>	<b>1107.53333</b>	<b>3872.46667</b>	<b>969.32713</b>	<b>4980</b>
3	0.1	0.2	1	1408.4	2817.6	827.6661	4226
			2	837.6	3628.4	872.90912	4466
			3	1055.6	2519.4	705.56913	3575
			<b>Media</b>	<b>1100.53333</b>	<b>2988.46667</b>	<b>802.048117</b>	<b>4089</b>
4	0.01	0.6	1	1083.8	3950.2	945.19066	5034
			2	1124	4673	1127.3257	5797
			3	859.8	6289.2	1331.3649	7149
			<b>Media</b>	<b>1022.53333</b>	<b>4970.8</b>	<b>1134.62709</b>	<b>5993.33</b>
5	0.05	0.6	1	943.6	3628.4	909.62507	4572
			2	1417.4	2947.6	873.72054	4365
			3	1007.6	3446.4	877.00453	4454
			<b>Media</b>	<b>1122.86667</b>	<b>3340.8</b>	<b>886.78338</b>	<b>4463.67</b>
6	0.1	0.6	1	848.2	2393.8	644.89407	3242
			2	1121.2	2989.8	809.0406	4111
			3	823.8	3355.2	815.53713	4179
			<b>Media</b>	<b>931.06667</b>	<b>2912.93333</b>	<b>756.4906</b>	<b>3844</b>
7	0.01	1	1	1098.8	2768.2	719.34674	3867
			2	950.4	4899.6	1132.9665	5850
			3	1013.4	4620.6	948.40398	5634
			<b>Media</b>	<b>1020.86667</b>	<b>4096.13333</b>	<b>933.572407</b>	<b>5117</b>
8	0.05	1	1	1447	3784	1042.3873	5231
			2	1054.4	2636.6	745.84321	3691
			3	1240	3131	873.87974	4371
			<b>Media</b>	<b>1247.13333</b>	<b>3183.86667</b>	<b>887.370083</b>	<b>4431</b>
9	0.1	1	1	936.4	2190.6	627.46429	3127
			2	1029.8	3664.2	938.45867	4694
			3	1424	2963	882.01124	4387
			<b>Media</b>	<b>1130.06667</b>	<b>2939.26667</b>	<b>815.978067</b>	<b>4069.33</b>

TABLA 4.7: Resultados de tarea de transporte de objetos con 10 *BugBot*, basados en simulación.

Test	$r_r$ (m)	$r_a$ (m)	No. de prueba	$t_d$ (s)	$t_s$ (s)	$\lambda$ (m)	$t_e$ (s)
1	0.01	0.2	1	611.3	2182.7	581.99541	2794
			2	535.4	1621.6	441.31862	2157
			3	724.8	2360.2	649.51133	3085
			<b>Media</b>	<b>623.833333</b>	<b>2054.83333</b>	<b>557.608453</b>	<b>2678.67</b>
2	0.05	0.2	1	554.9	1431.1	408.52134	1986
			2	503.7	2228.3	561.86088	2732
			3	613	1562	442.00975	2175
			<b>Media</b>	<b>557.2</b>	<b>1740.46667</b>	<b>470.797323</b>	<b>2297.67</b>
3	0.1	0.2	1	547	1624	433.94157	2171
			2	631.5	1122.5	350.05068	1754
			3	619.2	1649.8	452.10877	2269
			<b>Media</b>	<b>599.233333</b>	<b>1465.43333</b>	<b>412.033673</b>	<b>2064.67</b>
4	0.01	0.6	1	506.5	1922.5	485.35309	2429
			2	687	2091	549.90817	2778
			3	723.9	1670.1	468.89406	2394
			<b>Media</b>	<b>639.133333</b>	<b>1894.53333</b>	<b>501.385107</b>	<b>2533.67</b>
5	0.05	0.6	1	608.8	1666.2	452.07028	2275
			2	426.5	1478.5	381.78889	1905
			3	611.9	1329.1	382.99894	1941
			<b>Media</b>	<b>549.066667</b>	<b>1491.26667</b>	<b>405.61937</b>	<b>2040.33</b>
6	0.1	0.6	1	484.3	1314.7	372.85726	1799
			2	571.4	1683.6	459.42923	2255
			3	478.4	1239.6	358.48943	1718
			<b>Media</b>	<b>511.366667</b>	<b>1412.63333</b>	<b>396.925307</b>	<b>1924</b>
7	0.01	1	1	668.8	2037.2	531.30784	2706
			2	606.8	1962.2	501.03696	2569
			3	487.3	1684.7	422.02339	2172
			<b>Media</b>	<b>587.633333</b>	<b>1894.7</b>	<b>484.789397</b>	<b>2482.33</b>
8	0.05	1	1	401.5	1101.5	296.24567	1503
			2	424	1632	400.61104	2056
			3	564.1	1664.9	431.31441	2229
			<b>Media</b>	<b>463.2</b>	<b>1466.13333</b>	<b>376.05704</b>	<b>1929.33</b>
9	0.1	1	1	487.5	1316.5	349.68935	1804
			2	690.2	1415.8	414.9434	2106
			3	390.3	1151.7	306.12019	1542
			<b>Media</b>	<b>522.666667</b>	<b>1294.66667</b>	<b>356.917647</b>	<b>1817.33</b>

TABLA 4.8: Resultados de tarea de transporte de objetos con 20 *BugBot*, basados en simulación.

Test	$r_r$ (m)	$r_a$ (m)	No. de prueba	$t_d$ (s)	$t_s$ (s)	$\lambda$ (m)	$t_e$ (s)
1	0.01	0.2	1	328.6	1106.4	295.72616	1435
			2	343.2	1632.8	399.28536	1976
			3	274.7	1085.3	281.09291	1360
			<b>Media</b>	<b>315.5</b>	<b>1274.83333</b>	<b>325.368143</b>	<b>1590.33</b>
2	0.05	0.2	1	260.25	1226.75	296.93608	1487
			2	184.3	1335.7	295.22959	1520
			3	210.55	1185.45	273.59756	1396
			<b>Media</b>	<b>218.366667</b>	<b>1249.3</b>	<b>288.587743</b>	<b>1467.67</b>
3	0.1	0.2	1	285.55	1675.45	424.2902	1961
			2	295.65	1392.35	369.31882	1688
			3	291.4	1321.6	341.67229	1613
			<b>Media</b>	<b>290.866667</b>	<b>1463.13333</b>	<b>378.427103</b>	<b>1754</b>
4	0.01	0.6	1	258.7	1476.3	356.91841	1735
			2	412.25	1391.75	362.18216	1804
			3	200.45	1010.55	244.97289	1211
			<b>Media</b>	<b>290.466667</b>	<b>1292.86667</b>	<b>321.35782</b>	<b>1583.33</b>
5	0.05	0.6	1	339.05	1047.95	298.54704	1387
			2	366.2	1100.8	317.52619	1467
			3	247.85	1095.15	296.43198	1343
			<b>Media</b>	<b>317.7</b>	<b>1081.3</b>	<b>304.168403</b>	<b>1399</b>
6	0.1	0.6	1	225.35	1163.65	270.79002	1389
			2	298	1689	384.18459	1987
			3	240.9	1349.1	307.92706	1590
			<b>Media</b>	<b>254.75</b>	<b>1400.58333</b>	<b>320.967223</b>	<b>1655.33</b>
7	0.01	1	1	289.15	1303.85	327.74213	1593
			2	311.2	941.8	256.30709	1253
			3	314.7	1209.3	311.42216	1524
			<b>Media</b>	<b>305.016667</b>	<b>1151.65</b>	<b>298.49046</b>	<b>1456.67</b>
8	0.05	1	1	217.55	795.45	198.91763	1013
			2	258.7	758.3	200.34202	1017
			3	192.45	959.55	224.12042	1152
			<b>Media</b>	<b>222.9</b>	<b>837.766667</b>	<b>207.793357</b>	<b>1060.67</b>
9	0.1	1	1	366.35	1343.65	364.40739	1710
			2	317	1457	383.85453	1774
			3	271.55	1255.45	328.18434	1527
			<b>Media</b>	<b>318.3</b>	<b>1352.03333</b>	<b>358.81542</b>	<b>1670.33</b>

Las Figuras 4.33 - 4.36, ilustran algunas instantáneas de los experimentos físicos y muestran la evolución de la tarea de transporte de objetos en tiempos específicos. Considerando todos los experimentos, cambios de parámetros y réplicas por experimento, se generó la Tabla 4.9, que incluye el tiempo de ejecución ( $t_e$ ) cuando la tarea es completada.

### 4.2.3 ANÁLISIS DE DATOS Y MODELADO DE LA EMERGENCIA DE COLABORACIÓN EN EL ENJAMBRE, A PARTIR DE LOS RESULTADOS OBTENIDOS EN LA TAREA DE TRANSPORTE DE OBJETOS

Las Figuras 4.37 y 4.38, ilustran el efecto de repulsión y atracción en el enjambre, con respecto al tiempo de ejecución ( $t_e$ ). Los datos fueron extraídos de las Tablas 4.6, 4.7, 4.8 y 4.9, con los valores promedio normalizados en un rango de 0 a 100.

Para conocer una aproximación al modelo de comportamiento, y conocer el impacto que tienen los parámetros  $r_r$  y  $r_a$ , se realiza una regresión lineal múltiple (Ec. 4.1). Los resultados de la Tabla 4.10 y 4.12, nos muestran información sobre la ecuación de regresión, su correlación y coeficientes.

TABLA 4.10: Estadísticas de la regresión para tarea de transporte de objetos.

<b>Modelo</b>	$R$	$R^2$	$R^2$ ajustado	Error típico
Figura 4.37a	0.939458	0.882581	0.843441	14.052822
Figura 4.37b	0.940012	0.883622	0.844829	14.181679
Figura 4.37c	0.570217	0.325147	0.100196	28.0721651
Figura 4.38	0.985491	0.971193	0.913582	13.536585

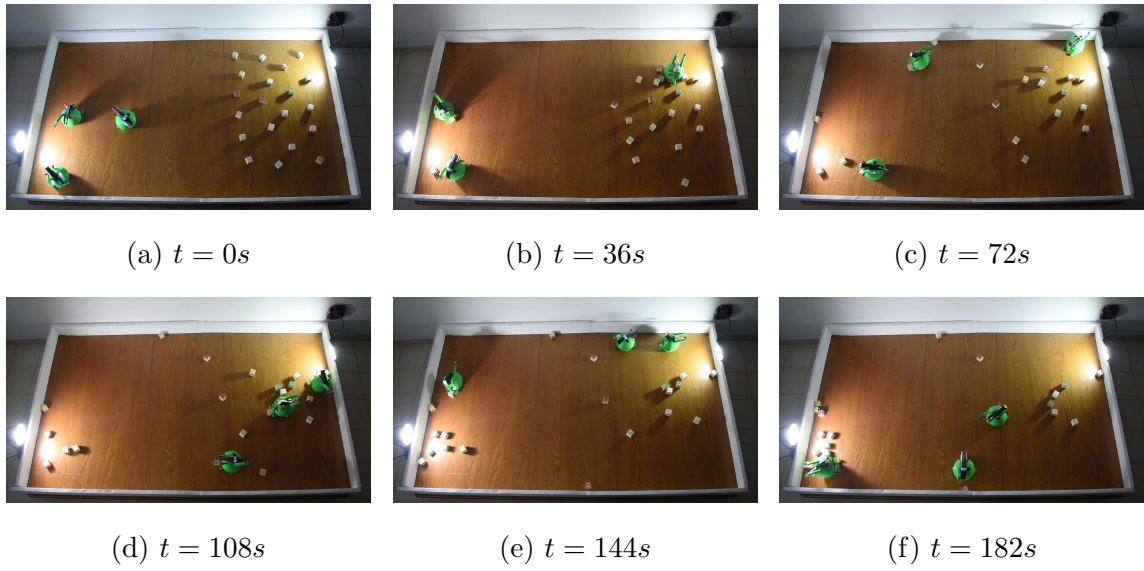


FIGURA 4.33: Manada de robots ejecutando tarea de transporte de objetos con  $r_r = 0.05$  y  $r_a = 0.2$ .

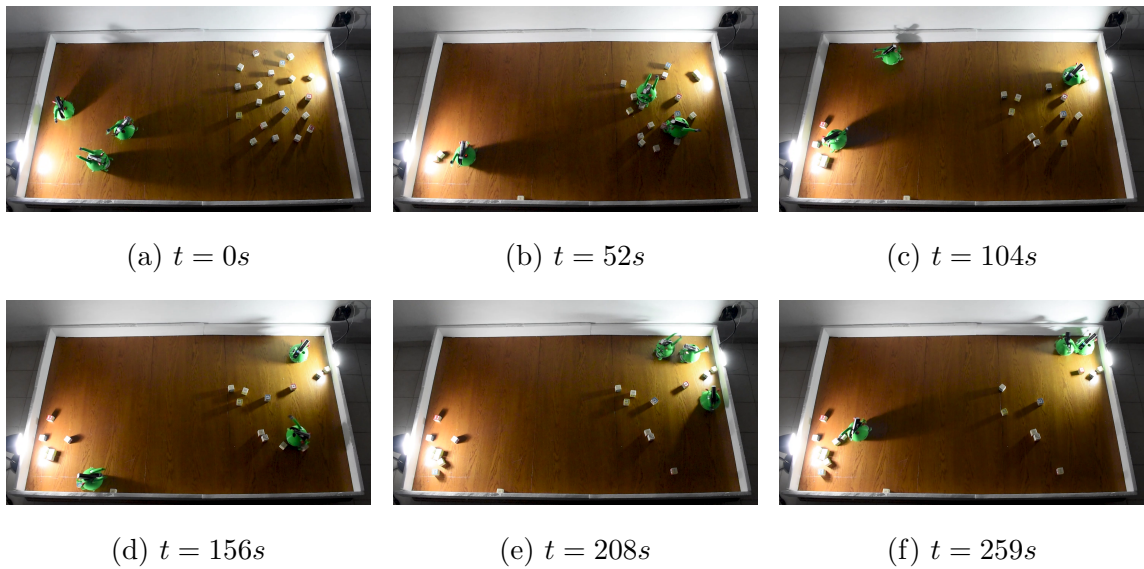


FIGURA 4.34: Manada de robots ejecutando tarea de transporte de objetos con  $r_r = 0.1$  y  $r_a = 0.2$ .



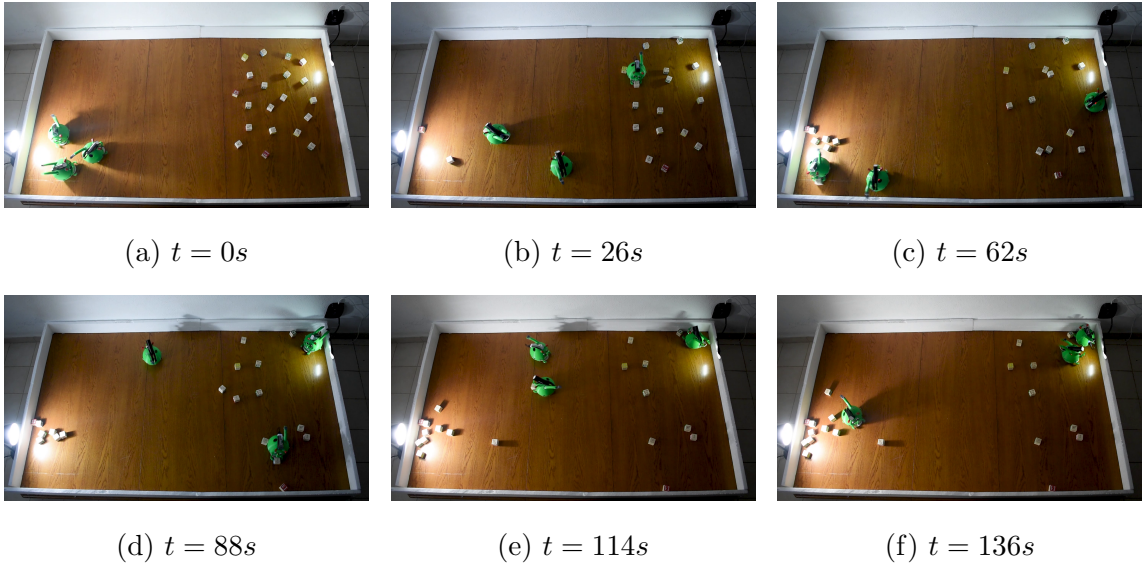


FIGURA 4.35: Manada de robots ejecutando tarea de transporte de objetos con  $r_r = 0.05$  y  $r_a = 1$ .

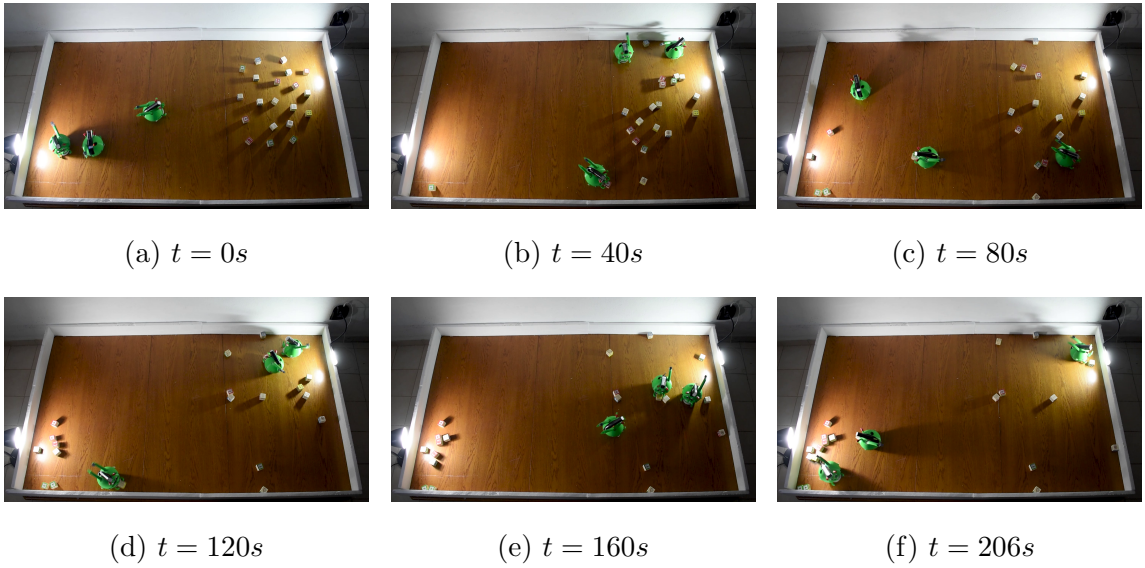


FIGURA 4.36: Manada de robots ejecutando tarea de transporte de objetos con  $r_r = 0.1$  y  $r_a = 1$ .

TABLA 4.9: Resultados de tarea de transporte de objetos con 3 *BugBot*, basados en implementación física.

Test	$r_r$ (m)	$r_a$ (m)	No. de prueba	$t_e$ (s)
1	0.05	0.2	1	181.2
			2	190.2
			3	183
			4	139.2
			<b>Media</b>	<b>173.4</b>
2	0.1	0.2	1	332.4
			2	269.4
			3	259.8
			4	264
			<b>Media</b>	<b>281.4</b>
3	0.05	1	1	184.8
			2	130.8
			3	181.8
			4	136.2
			<b>Media</b>	<b>158.4</b>
4	0.1	1	1	268.8
			2	258
			3	205.2
			4	200.4
			<b>Media</b>	<b>233.1</b>

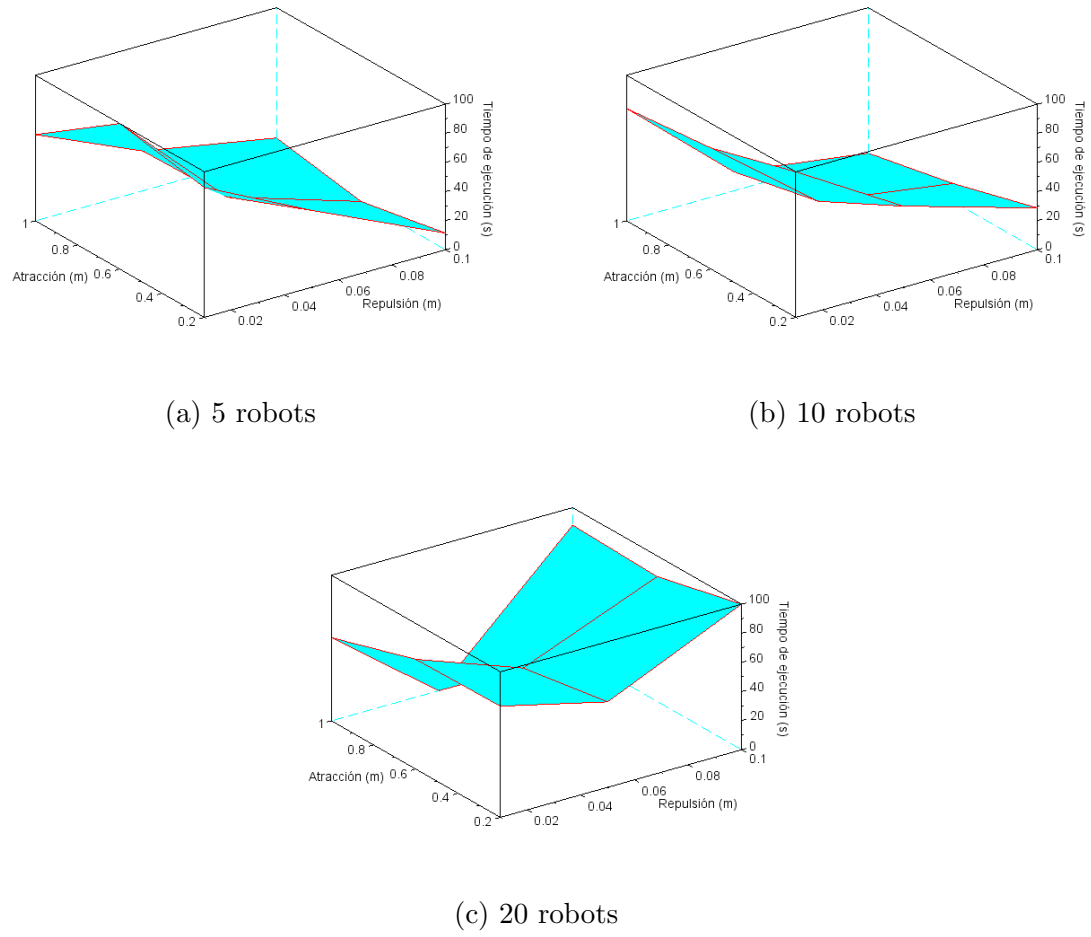


FIGURA 4.37: Efecto de repulsión y atracción en el tiempo de ejecución para tarea de transporte de objetos, basado en simulaciones.

TABLA 4.11: Estadísticas de regresión para la superficie de comportamiento de la Figura 4.37c.

Rango	$R$	$R^2$	$R^2$ ajustado	Error típico
$0 \leq r_r \leq 0.6$	0.907788	0.824079	0.706798	15.169274
$0.6 < r_r \leq 1$	0.935131	0.874469	0.790782	16.739363

El modelo para la Figura 4.37c presenta un valor bajo en el coeficiente de determinación debido a la no linealidad de la superficie. Por lo que se propone dividir

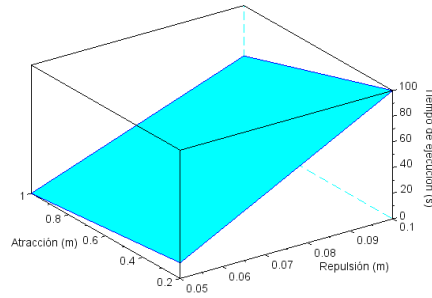


FIGURA 4.38: Efecto de repulsión y atracción en el tiempo de ejecución para tarea de transporte de objetos, basado en implementación física.

el modelo de comportamiento en dos partes con respecto al valor del parámetro de repulsión. Primero, se obtiene un modelo en el rango de valores de repulsión de 0 a 0.6, y el segundo modelo en un rango de valores de repulsión de 0.6 a 1, como se muestra en la Tabla 4.11.

De modo que el modelo aproximado de las superficies en la Figuras 4.37a, 4.37b, 4.37c y 4.38, corresponden a las Ecuaciones (4.6), (4.7), (4.8) y (4.9), con una certeza del 84.4 %, 84.4 %, 70.6 % para  $0 \leq r_r \leq 0.6$  ó 79 % para  $0.6 < r_r \leq 1$ , y 91.3 %, respectivamente. Por último, en la Tabla 4.13, se muestra el porcentaje de correlación de las variables  $r_r$  y  $r_a$  con la variable dependiente.

TABLA 4.13: Correlación de parámetros de tarea de transporte de objetos.

Modelo	Repulsión		Atracción	
	Correlación	Porcentaje	Correlación	Porcentaje
Ec. 4.6	- 0.911014	82.99 %	- 0.229419	5.26 %
Ec. 4.7	- 0.860681	74.07 %	-0.377955	14.28 %
Ec. 4.8 ( $0 \leq r_r \leq 0.6$ )	- 0.660801	43.6 %	- 0.62243	38.7 %
Ec. 4.8 ( $0.6 < r_r \leq 1$ )	0.829154	68.74 %	- 0.432403	18.69 %
Ec. 4.9	0.931185	86.71 %	- 0.322627	10.41 %

TABLA 4.12: Relación de coeficientes para modelos de tarea de transporte de objetos.

Modelo		Coeficiente	Error típico	P-valor
Figura 4.37a	$b_0$	100.449414	11.918105	0.000152
	$b_1$	-828.545139	127.228277	0.000624
	$b_2$	-23.521505	14.342602	0.152121
Figura 4.37b	$b_0$	109.900988	12.027388	0.000096
	$b_1$	-793.470537	128.394897	0.000825
	$b_2$	-39.280185	14.47411	0.034928
Fig. 4.37c ( $0 \leq r_r \leq 0.6$ )	$b_0$	107.323718	15.939772	0.006689
	$b_1$	-844.951925	309.641522	0.072012
	$b_2$	-48.737981	18.961593	0.082467
Fig. 4.37c ( $0.6 < r_r \leq 1$ )	$b_0$	6.971154	24.992529	0.021603
	$b_1$	1108.01282	273.35266	0.027051
	$b_2$	-44.230769	20.924204	0.124908
Figura 4.38	$b_0$	-11.737804	18.224186	0.635726
	$b_1$	742.682925	135.365855	0.114774
	$b_2$	-32.164634	16.920732	0.308304

$$t_{e1} = 100.449414 - 828.545139r_r - 23.521505r_a \quad (4.6)$$

$$t_{e2} = 109.900988 - 793.470537r_r - 39.2801852r_a \quad (4.7)$$

$$t_{e3} = \begin{cases} 107.323718 - 844.951925r_r - 48.737981r_a, & \text{si } (0 \leq r_r \leq 0.6) \\ 6.971154 + 1108.01282r_r - 44.230769r_a, & \text{si } (0.6 < r_r \leq 1) \end{cases} \quad (4.8)$$

$$t_{e4} = -11.737804 + 742.682925r_r - 32.164634r_a \quad (4.9)$$

Las Ecuaciones (4.6) - (4.9), son sólo una aproximación para los modelos de comportamiento de las superficies generadas en las Figuras 4.37 y 4.38, para condiciones específicas y están acotadas al rango de los valores en las configuraciones paramétricas utilizadas.

#### 4.2.4 DISCUSIÓN

En esta tarea se establece un comportamiento general en el enjambre, que incluye un conjunto de reglas que permiten a los robots deambular en una arena desconocida, buscar objetos, tomarlos y navegar hacia donde deben colocarse. Uno de los principales desafíos, es transportar y descargar el objeto correctamente de modo emergente. Dependiendo de la configuración paramétrica, el comportamiento del enjambre cambia, provocando que los robots tomen autonomía unos con otros o se muevan juntos en grupos. En la evolución de la tarea, la interacción con los vecinos y el entorno provoca la emergencia de colaboración, ya que el movimiento en grupo facilita la navegación y localización entre las zonas (búsqueda y entrega). Esta tarea tiene similitud con la búsqueda de alimento en insectos (*foraging*), aunque es simple, puede considerarse como una abstracción con muchos puntos en común con aplicaciones más complejas, como la búsqueda y remoción de minas o rescate [108].

Con base en los resultados obtenidos, se observa similitud en las pruebas basadas en simulaciones cuando el número de robots es igual a 5 y 10; sin embargo, al aumentar a 20 robots, el comportamiento del enjambre es diferente al modificar el valor de  $r_r$ . Esto se refleja en la Figura 4.37c, ya que a diferencia de la Figuras 4.37a y 4.37b, la eficacia mejora con valores de  $r_r$  intermedios; mientras que, en los otros casos, mejora al aumentar su valor. Por otro lado, en los experimentos por implementación física (Figura 4.38), el tiempo de ejecución aumenta con valores altos de repulsión. La Tabla 4.13 afirma estos resultados, ya que existe una correlación negativa (el tiempo disminuye) para los resultados por simulación con 5

y 10 robots; en cambio, existe una correlación positiva (el tiempo aumenta) con los resultados por simulación con 20 robots en un rango de  $0.6 < r_r \leq 1$  y por implementación física. En relación al parámetro de atracción ( $r_a$ ), para todos los casos (simulación e implementación física), el tiempo de ejecución disminuye al aumentar su valor; esto debido a que se generan cadenas entre los robots, que facilitan el traslado entre las zonas de búsqueda y entrega (ver Figura 4.30).

En configuraciones con valores bajos de repulsión y altos de atracción (Figuras 4.26 y 4.30), la entrega de objetos es consistente, es decir, los robots se encuentran en todo momento buscando y entregando objetos. Esto debido a que se forman cadenas de robots de diferentes longitudes manteniendo al enjambre más unido, lo cual ayuda a transportarse de forma coordinada entre las zonas de búsqueda y entrega. Sin embargo, en algunos casos, las cadenas que se forman con esta configuración, están encabezadas por robots que están en el proceso de entrega y desvían la atención de aquellos que están en un proceso de búsqueda, y viceversa. Por el contrario, con valores altos de repulsión y bajos de atracción (Figuras 4.27 y 4.31), los robots se separan al tratar de evitar a los vecinos, pero debido a la influencia se reúnen en las zonas de búsqueda y entrega. Esto provoca que se entregue el mayor porcentaje de objetos en los primeros instantes de tiempo; sin embargo, al quedar pocos objetos, la mayor concentración del enjambre se encuentra en la zona de búsqueda, provocando que los robots se eviten y tarden más en tomar los últimos objetos.

Por medio de la plataforma de simulación, es posible explorar distintos elementos en un enjambre de robots, permitiendo experimentar con distintas cantidades de individuos; que, debido al costo de fabricación de un enjambre real, sería difícil probar. Además, se posibilita la homogeneidad en el enjambre, es decir, individuos con dinámica y capacidades de percepción idénticas entre sí. De manera que, por simulaciones, se probó el concepto de una tarea de transporte de objetos, empleando un algoritmo basado en el comportamiento de animales sociales, antes de ser implementado en un enjambre de robots real. Para esto, se propuso la arquitectura de robot tipo *BugBot*, que aún es un prototipo con mejoras

potenciales en el diseño y capacidades sensoriales. No obstante, se logró ejecutar la tarea implementando las reglas de comportamiento en tres *BugBot*; que, a pesar de tratar de mantener la uniformidad, existen errores de lectura en los sensores, perturbaciones en el voltaje aplicado en los actuadores y ruido de luz ambiental. Sin embargo, mediante la interacción entre sí y con estímulos por influencia, cumplen el objetivo y se demuestra que es posible trasladar las reglas de comportamiento en pequeños robots con limitaciones sensoriales.



## CAPÍTULO 5

# CONCLUSIONES Y TRABAJO FUTURO

---

### 5.1 CONCLUSIONES

La *RE* es una aproximación para la coordinación de múltiples robots que ha recibido mucha atención en los últimos años, su objetivo es desarrollar sistemas que sean robustos, escalables y flexibles; a pesar de su potencial, se conocen pocos casos donde se ha utilizado este enfoque para abordar una aplicación del mundo real. El propósito principal de la *RE*, es obtener comportamientos colectivos deseados y comprender sus propiedades ante las limitaciones de hardware de los robots disponibles.

La principal contribución de esta tesis, consiste en la implementación de reglas de comportamiento basadas en parámetros *RAOI* a un enjambre de robots real, sin intervención humana o métodos centralizados. Es decir, una vez definidos los parámetros a utilizar en una tarea específica, el enjambre tiene la libertad de encontrar soluciones sin que el humano participe en el proceso. Para esto, se propone un algoritmo que proporciona un medio simple y efectivo para ejecutar tareas colaborativas, donde la relación de los parámetros provoca la emergencia de comportamientos colectivos; que son fundamentales para desplegar la *RE* en el

futuro, especialmente cuando no se conocen instrucciones a priori o están codificadas en el sistema.

En base a los resultados obtenidos por simulación, los robots exploran el espacio de prueba bajo las reglas locales de comportamiento implementadas, manteniendo su dirección hasta llegar a un límite o reunirse con otros miembros del enjambre y formar grupos; de modo que, los parámetros de repulsión, orientación y atracción mantienen la forma del enjambre y cambian su distribución de navegación. Por otro lado, al agregar formas de percepción, es posible incluir diferentes mecanismos de influencia y asociar cada estímulo con tareas específicas. De esta forma, al integrar los parámetros *RAOI* en un algoritmo, se abre la posibilidad de gobernar en el comportamiento de un enjambre de robots, explorar completamente las ventajas que ofrecen las arquitecturas de enjambre distribuidas y manejar entornos diversos y dinámicos. Estas reglas de comportamiento local, se diseñaron inspiradas en el comportamiento de las formas de vida social, por lo que se genera un comportamiento similar en nuestra mandada de robots; los cuales se construyeron bajo un modelo de arquitectura simple.

Al implementar las reglas de comportamiento en robots que operan en el mundo físico, nos enfrentamos a desafíos como: limitaciones sensoriales, perturbaciones en sensores y actuadores, cambios dinámicos continuos y eventos con condiciones externas que son difíciles de modelar o predecir; por lo que es difícil obtener resultados idénticos a los observados en las simulaciones, sin embargo, se logra observar ciertas similitudes en los comportamientos durante instantes de tiempo. Esto se puede afirmar con los resultados de las Tablas 4.5 y 4.13, donde el efecto de los parámetros  $r_r$  y  $r_a$ , es similar en el área de cobertura y tiempo de ejecución.

De este modo, este trabajo de tesis proporciona un algoritmo de comportamiento capaz de establecer emergencia de colaboración en el enjambre, en ausencia de líderes y control centralizado. Además, el impacto de los parámetros  $r_r$ ,

y  $r_a$  en el comportamiento de un enjambre de robots físicos, el cual se cuantifica con indicadores de eficiencia, proporciona una aproximación del comportamiento ante casos específicos de tareas como: depredador-presa y transporte de objetos. También, abre nuevas posibilidades de exploración en la *RE* para trabajo futuro que se explican la siguiente sección.

## 5.2 TRABAJO FUTURO

A pesar de que los resultados presentados son prometedores, existen una serie de oportunidades que deben de abordarse en trabajo futuro. Con el creciente uso de la *RE* y la necesidad de su aplicación al mundo real, es necesario comprender en su totalidad el efecto de todos los parámetros en el comportamiento del enjambre; por lo cual, se deben incluir metodologías para la inclusión del parámetro de orientación ( $r_o$ ), el cual permite un movimiento coordinado entre los miembros del enjambre; además, considerar el uso de sensores más complejos para evitar zonas muertas o puntos ciegos en *ZOR*, *ZOO* y *ZOA*. Por otro lado, explorar otros mecanismos de percepción y, de este modo, probar nuevas tareas. De esta forma, ante procesos complejos que puedan dividirse en subtareas, es posible conmutar los valores paramétricos  $r_r$ ,  $r_o$  y  $r_a$ , en función del estímulo por influencia activo; y así, mejorar la eficiencia de cada subtask. Otra necesidad es realizar una verificación y validación del comportamiento del enjambre con métricas bien definidas, ya que a menudo suelen estar demasiado relacionadas con soluciones específicas y, por lo tanto, no se pueden utilizar para otros sistemas o comparaciones. Además, calcular un factor que determine el grado de variabilidad respecto al modelo simulado y físico. Así mismo, es posible realizar un estudio que considere las condiciones dinámicas de los robots, para evitar colisiones y condiciones del terreno.

Por otra parte, debido a que la mayor parte de trabajos se realizan en entornos estructurados de laboratorio, se requiere un escenario más realista para

aplicar los comportamientos generados en las tareas ya exploradas (depredador-presa y transporte de objetos) en aplicaciones reales como captura o rescate. Finalmente, los parámetros de repulsión, orientación, atracción e influencia, pueden establecerse adecuadamente utilizando enfoques de optimización, para mejorar el desempeño del enjambre en tareas colectivas específicas.

## 5.3 DIVULGACIÓN CIENTÍFICA

### 5.3.1 ARTÍCULOS DE REVISTA

- Erick Ordaz-Rivas, Angel Rodriguez-Liñan, Mario Aguilera-Ruiz, Luis Torres-Treviño. Collective Tasks for a Flock of Robots Using Influence Factor. October 2018. Journal of Intelligent and Robotic Systems.

### 5.3.2 ARTÍCULOS DE CONGRESO

- Erick Ordaz-Riva, Angel Rodriguez-Liñan, Luis Torres-Treviño. Collective Behaviors in Swarms of Builder Robots. December 2019. Research in Computing Science 148(11):103-114.
- Erick Ordaz-Rivas, Angel Rodriguez-Liñan, Luis Torres-Treviño. Collaboration of Robot Swarms with a Relation of Individuals with Prey-Predator Type. December 2017. Lecture Notes of the Institute for Computer Sciences, Social Informatics and Telecommunications Engineering.

## APÉNDICE A

# REPORTE TÉCNICO DE BUGBOTS

---

## A.1 DISEÑO

La estructura del robot está formada por diferentes niveles, en cada nivel se incorporan los sensores, actuadores y el microcontrolador. El diámetro total del robot es de 12 cm y el de cada rueda de 1.2 cm. Una vista de la estructura mecánica puede verse en la Figura A.1.

## A.2 HARDWARE

### A.2.1 MICROCONTROLADOR

El procesamiento del robot es realizado por un módulo *ESP32*, que incorpora un chip *ESP32-D0WDQ6*; el cual cuenta con dos núcleos de CPU que se pueden controlar individualmente, y la frecuencia del reloj es ajustable. Además, integra *Bluetooth*<sup>®</sup> y *Wi-Fi*, ideal para desarrollar productos de IoT. Las especificaciones del módulo se encuentran en la Tabla A.1.

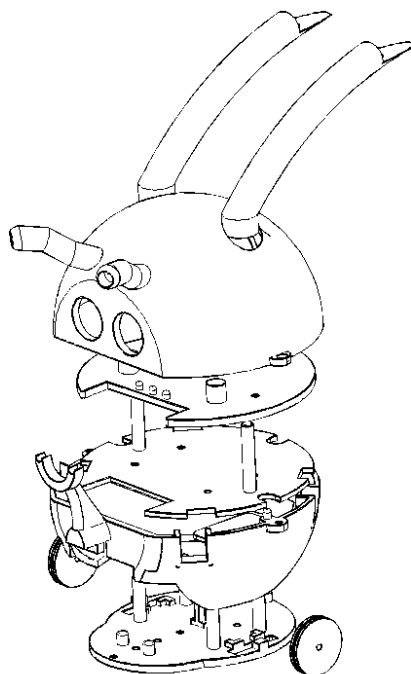


FIGURA A.1: Vista explosionada de la estructura del robot.

### A.2.2 SENSORES Y ACTUADORES

Cada BugBot cuenta con sensores de proximidad y luz, para detectar y medir distancias con objetos cercanos e interactuar con el entorno. Al frente del robot se ubica un sensor ultrasónico HC-SR04 (Figura A.2), mientras que en los costados, sensores infrarrojos TCRT5000 (Figura A.3) y resistencias dependientes de luz (LDR) (Figura A.4), cuyas características se muestran en la Tablas A.2 - A.4.

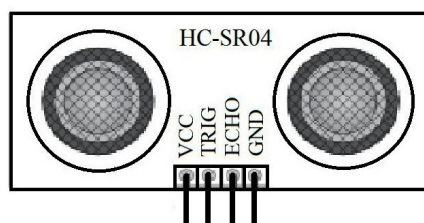


FIGURA A.2: Sensor ultrasónico HC-SR04.

Por otro lado, cada robot utiliza dos motores de CC con reducción de velocidad

TABLA A.1: Características de módulo ESP32.

Voltaje de alimentación	3.3V DC (2.7 - 3.6V)
Corriente de operación	*80mA (fuente superior a 500mA)
CPU	Dual Core Tensilica LX6 (32 bit)
Frecuencia de reloj	240MHz
SRAM	520KB
Memoria flash externa	4MB
Pines Digitales GPIO	34 (Incluyendo todos los periféricos)
Canales PWM	16 canales independientes (16-bits)
ADC	2 (12-bit)
DAC	2 (8-bit)
Wi-Fi	802.11n up to 150 Mbps
Bluetooth	V4.2 BR/EDR

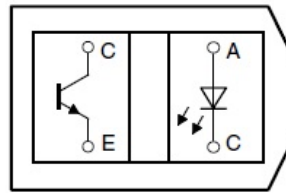


FIGURA A.3: Sensor infrarrojo TCRT5000.

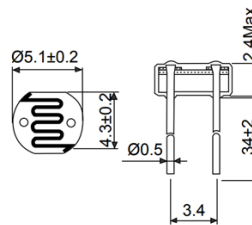


FIGURA A.4: Resistencia dependiente de luz (LDR).

y un circuito integrado SN754410 para controlarlos; las características de los motores se muestran en las Tabla A.5.

TABLA A.2: Características de sensor ultrasónico HC-SR04.

Voltaje de alimentación	5V DC
Corriente de operación	15 mA
Rango de salida	2 - 400 cm
Resolución	3 mm
Ángulo efectivo	<15°
Ángulo de medición	30°

TABLA A.3: Características de sensor infrarrojo TCRT5000.

Voltaje de alimentación	3.5 - 5V DC
Corriente operación	60 mA
Distancia focal	2.55mm

### A.2.3 ALIMENTACIÓN

Cada robot cuenta con una banco de energía de 5 V y con capacidad de 2600 mAh, para alimentar el módulo de *ESP32* y componentes del robot (Figura A.5a).

## A.3 SOFTWARE

La programación del microcontrolador se realiza en el entorno de desarrollo integrado de *Arduino<sup>TM</sup>* (*Arduino IDE 1.8.12*); el código implementado en cada robot se muestra en el Apéndice B. Para la comunicación *Bluetooth<sup>®</sup>*, se utiliza la aplicación *Bluetooth Serial Terminal* para *Windows 10*, mientras que para la comunicación con un celular la aplicación *Bluetooth Terminal* para *Android*.



TABLA A.4: Características de LDR.

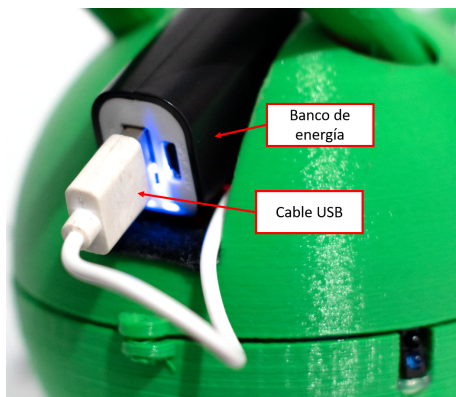
Pico de voltaje AC/DC	320 V max
Corriente operación	60 mA max
Disipación de potencia	100 mW max
Resistencia de celda	10 - 1000 LUX

TABLA A.5: Características de motor CC.

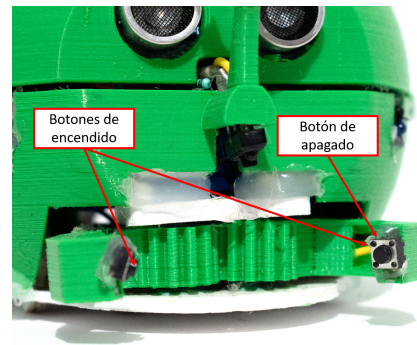
Voltaje de operación	6 V
Par	2 kgf.cm
Relación de transmisión	100:1

## A.4 FUNCIONAMIENTO

Para encender el robot es necesario conectar el cable USB, incorporado en el robot, al banco de energía y presionar los botones de inicialización, como se muestra en la Figura A.5; una vez encendido, el robot inicia con el proceso de búsqueda y recolección de objetos. Para desactivarlo, sólo hay que presionar el botón izquierdo.



(a) Conexión a banco de energía.



(b) Botones de encendido y apagado.

FIGURA A.5: Alimentación y encendido del robot.

## APÉNDICE B

# CÓDIGOS EN ARDUINO - REGLAS DE COMPORTAMIENTO

---

## B.1 TAREA DE RELACIÓN TIPO DEPREDADOR-PRESA

```
1 //*****
2 //Estudio de comportamintos emergentes en enjambres de robots basados
3 //factores de influencia
4 //DIE Mechatronica
5 //UANL – FIME
6 //M.Sc. Erick de Jesus Ordaz Rivas
7 //*****
8
9 // Libraries
10 #include <NewPing.h>
11 #include <SoftwareSerial.h>
12
13 #define Trig 5 // Ultrasonic sensor digital output.
14 #define Echo 6 // Ultrasonic sensor digital input.
15 int button = 4; // Push button digital input.
16 int motorRD = 12; // Right DC motor digital output.
17 int motorLD = 10; // Left DC motor digital output.
```

```
18 int motorRA = 11;           // Right DC motor digital output.
19 int motorLA = 9;           // Left DC motor digital output.
20 int ldrD = A2;             // Left LDR analog input.
21 int ldrI = A4;             // Right LDR analog input.
22 int irD = A3;              // Right TCRT analog input.
23 int irI = A5;              // Left TCRT analog input.
24
25 //Variables and constants initialization.
26 int statebutton = 0;
27 int previousstate = 0;
28 int swarmon = 0;
29
30 int distance;              // Calculated distance by ultrasonic sensor
31 int velR,velO,velA; // Motors speed
32 int vel, velI;            // Motors speed
33 int val;                   // Value read by serial port.
34 int bI;
35 int blue = 1;             // Bluetooth flag
36 int ldrI_val, ldrD_val; // LDRs.
37 int irI_val, irD_val;    // TCRTs.
38 int dR=5;                 // Repulsion distance.
39 int dO=15;                // Orientation distance.
40 int dA=100;               // Attraction distance.
41 int Qf[]={0, 1}; // Direction vector by ultrasonic sensor.
42 int Ql[]={-0.707,0.707}; // Direction vector by left TCRT.
43 int Qr[]={0.707,0.707}; // Direction vector by right TCRT.
44 int qfA,qlA,qrA; // Elements detected by sensor in attraction zone.
45 int qfR,qlR,qrR; // Elements detected by sensor in repulsion zone.
46 int detR; // Elements detected in repulsion zone.
47 int detO; // Elements detected in orientation zone.
48 int detA; // Elements detected in attraction zone.
49 int DQf; // Measured distance by ultrasonic sensor.
50 int DQl; // Measured distance by left TCRT.
51 int DQr; // Measured distance by right TCRT.
52 int DLl,ILl; // Light information by left LDR.
53 int DLr,ILr; // Light information by right LDR.
```

```
54 int ddx,ddy;           // Components of the desired direction.
55 int dd,dd2;            // Desired direction.
56
57 void setup() {
58     // Initialize serial communication
59     Serial.begin(9600);
60     Serial1.begin(9600);
61     // Pin configuration of motors
62     pinMode(motorLD, OUTPUT);
63     pinMode(motorRD, OUTPUT);
64     pinMode(motorLA, OUTPUT);
65     pinMode(motorRA, OUTPUT);
66     digitalRead(button);
67 }
68
69 void loop() {
70     if (Serial.available()){
71         blue = '0'; // Check for commands.
72     }
73     while (blue == '0') {
74         if (Serial.available()) {
75             val = Serial.read();
76         }
77         // Change parameter values.
78         if (val == '1') {
79             Stop();
80             dR=5;
81             dO=15;
82             dA=20;
83             blue = '1';
84         }
85         if (val == '2') {
86             Stop();
87             dR=10;
88             dO=15;
89             dA=20;
```

```
90     blue = '1';
91 }
92 if (val == '3') {
93     Stop();
94     dR=15;
95     dO=15;
96     dA=20;
97     blue = '1';
98 }
99 if (val == '4') {
100     Stop();
101     dR=2;
102     dO=15;
103     dA=60;
104     blue = '1';
105 }
106 if (val == '5') {
107     Stop();
108     dR=10;
109     dO=15;
110     dA=60;
111     blue = '1';
112 }
113 if (val == '6') {
114     Stop();
115     dR=15;
116     dO=15;
117     dA=60;
118     blue = '1';
119 }
120 if (val == '7') {
121     Stop();
122     dR=5;
123     dO=15;
124     dA=100;
125     blue = '1';
```

```
126     }
127     if (val == '8') {
128         Stop();
129         dR=10;
130         dO=15;
131         dA=100;
132         blue = '1';
133     }
134     if (val == '9') {
135         Stop();
136         dR=15;
137         dO=15;
138         dA=100;
139         blue = '1';
140     }
141 }
142
143 statebutton = digitalRead(button);
144 if ((statebutton == HIGH) && (previousstate == LOW)){
145     swarmon = 1 - swarmon;
146 }
147 previousstate = statebutton;
148
149 // Sensor reading.
150 ldrI_val = analogRead(ldrI);
151 ldrD_val = analogRead(ldrD);
152 DLl = map(ldrI_val , 0, 1023, 1000, 0);
153 DLr = map(ldrD_val , 0, 1023, 1000, 0);
154
155 irI_val = analogRead(irI);
156 irD_val = analogRead(irD);
157
158 DQl = 126.43*pow(irI_val , -0.692);
159 DQr = 126.43*pow(irD_val , -0.692);
160
161 DQf = Ultrasonic();
```

```

162
163  //Influence parameters.
164  int DLm = (DLl +DLr)/2;
165  int DLsup = DLm + 25;
166  int DLinf = DLm - 25;
167  int Rango = 120;
168
169  // Initialize variables to zero
170  detR=0; detO=0; detA=0;
171  qfR=0; qlR=0; qrR=0; qfA=0; qlA=0; qrA=0;
172  velR = 50; velO = velI; velA=(220+velI)/2; vel=velO;
173
174  if (swarmon == 1){
175
176  // Repulsion.
177  if (DQf<=dR || DQl<=dR || DQr<=dR){
178      if (DQf<=dR){
179          qfR=1;
180      }
181      if (DQl<=dR){
182          qlR=1;
183      }
184      if (DQr<=dR){
185          qrR=1;
186      }
187      ddx= -(Qf[0]*qfR + Ql[0]*qlR + Qr[0]*qrR);
188      ddy= -(Qf[1]*qfR + Ql[1]*qlR + Qr[1]*qrR);
189      vel = velR; detR=1;
190  }
191
192  //Influence.
193  if (detR == 0) {
194      if (DLinf < DLl && DLl < DLsup && DLinf < DLr && DLr < DLsup) {
195          //Attraction.
196          if (dO < DQf && DQf <= dA) {
197              detA=1; vel=velA;

```

---

```

198         ddx = 0; ddy = 1;
199     }
200 }
201 else {
202     dd2 = 30;
203     if (DLl > DLr) {
204         TurnRight(dd2);
205         Stop();
206     }
207     else {
208         TurnLeft(dd2);
209         Stop();
210     }
211 }
212 }
213
214 // Orientation
215 if (detR==0 && detA==0){
216     if (DQf<=dO || DQl<=dO || DQr<=dO){
217         detO = 1; vel = velO;
218         ddx = 0; ddy = 1;
219     }
220 // Out of range
221 if (detO == 0){
222     vel = velO;
223     ddx=0; ddy=1;
224 }
225 }
226
227 // Calculation of the desired direction in radians.
228 float ddrad=atan2(ddy,ddx);
229 dd = ddrad*180/3.14159;
230
231 // Conversion to the robot reference system.
232 if (dd>-90){
233     dd2=dd-90;

```



```
234     }
235     if (dd<=-90){
236         dd2=dd+270;
237     }
238
239     if (dd2>=90 && dd2<180){
240         TurnLeft(90);
241         Forward();
242     }
243     if(dd2<90 && dd2>0){
244         TurnLeft(dd2);
245         Forward();
246     }
247
248     if (dd2<=-90 && dd2>-180){
249         TurnRight(90);
250         Forward();
251     }
252
253     if (dd2>-90 && dd2<0){
254         dd2=abs(dd2);
255         TurnRight(dd2);
256         Forward();
257     }
258
259     if (dd2 == 0) {
260         if (DQf > dR) {
261             Forward();
262         }
263         else {
264             int randomnumber = random(0,1);
265             if (randomnumber == 1) {
266                 TurnRight(20);
267             }
268             else {
269                 TurnLeft(20);
```

```
270     }
271   }
272 }
273
274   if (dd2>=178 && dd2<=182){
275     if (irI_val>irD_val){
276       TurnRight(90);
277       Forward();
278     }
279     if (irI_val<=irD_val){
280       TurnLeft(90);
281       Forward();
282     }
283   }
284 }
285
286   else {
287     Stop();
288   }
289
290 }
291
292 //Motion functions
293 void Forward(){
294   digitalWrite(motorLD, 0);
295   digitalWrite(motorRD, 0);
296   analogWrite(motorLA, (vel));
297   analogWrite(motorRA, vel);
298 }
299
300 void Backward(){
301   digitalWrite(motorLD, 1);
302   digitalWrite(motorRD, 1);
303   digitalWrite(motorLA, 0);
304   digitalWrite(motorRA, 0);
305 }
```

```
306
307 void TurnRight(int grados){
308     digitalWrite(motorLD, 0);
309     digitalWrite(motorRD, 1);
310     digitalWrite(motorLA, 1);
311     digitalWrite(motorRA, 0);
312     int time= 3.39*grados;
313     delay(time);
314 }
315
316 void TurnLeft(int grados){
317     digitalWrite(motorLD, 1);
318     digitalWrite(motorRD, 0);
319     digitalWrite(motorLA, 0);
320     digitalWrite(motorRA, 1);
321     int time= 3.39*grados;
322     delay(time);
323 }
324
325 void Stop(){
326     digitalWrite(motorLD, 1);
327     digitalWrite(motorRD, 1);
328     digitalWrite(motorLA, 1);
329     digitalWrite(motorRA, 1);
330 }
331
332 int Ultrasonic(){
333     digitalWrite(Trig, LOW);
334     delayMicroseconds(5);
335     digitalWrite(Trig, HIGH);
336     delayMicroseconds(10);
337     digitalWrite(Trig, LOW);
338     int t = pulseIn(Echo, HIGH);
339     int d = (t/58);
340     return d;
341 }
```

## B.2 TAREA DE TRANSPORTE DE OBJETOS

```

1  //*****
2  //Estudio de comportamientos emergentes en enjambres de robots basados
3  //factores de influencia
4  //DIE Mecatronica
5  //UANL – FIME
6  //M.Sc. Erick de Jesus Ordaz Rivas
7  //*****
8
9  // Libraries
10 #include <ESP32Servo.h>
11 #include <analogWrite.h>
12 #include <Wire.h>
13 #include <MechaQMC5883.h>
14
15 // Definition of I/O pins
16 const int Trig = 19; // Ultrasonic sensor digital output.
17 const int Echo = 18; // Ultrasonic sensor digital input.
18 #define MotorRB 27 // Left DC motor digital output.
19 #define MotorRF 26 // Left DC motor digital output.
20 #define MotorLB 25 // Right DC motor digital output.
21 #define MotorLF 33 // Right DC motor digital output.
22 #define LDRl 34 // Left LDR analog input.
23 #define LDRr 35 // Right LDR analog input.
24 #define TCRTbr 13 // TCRT analog input.
25 #define TCRTbl 39 // TCRT analog input.
26 #define TCRTfr 15 // TCRT analog input.
27 #define TCRTfl 36 // TCRT analog input.
28 #define TCRTg 4 // TCRT analog input (grip).
29 #define PUSHr 16 // Push button digital input.
30 #define PUSHl 17 // Push button digital input.
31 Servo SERVO;
32
33 //Magnetometer

```

```
34   MechaQMC5883 qmc;
35   int x, y, z;
36   float acimut, geografico;
37   float declinacion=4.58;
38
39   static int gn;
40   int gd, gsup, ginf;
41   int bg = 0;
42
43   //Influence by magnetometer
44   int MSsup, MSinf, MDsup, MDinf;
45   int MSi, MSf, MDi, MDf;
46   int Mumbral, MSI, MSr, MDI, MDr;
47   static int MS, MD;
48
49   //Declaration of sensor variables
50   int dUS;           //Ultrasonic sensor
51   int dLDRl,dLDRr;   //Light information by LDRs.
52   int dTCRTg;        //Gripper
53   int dTCRTbl, dTCRTbr, dTCRTfr, dTCRTfl; //TCRTs
54   int uTCRT;
55   int tempfr; int tempfl;
56   int tempfrs = 0;
57   int tempfls = 0;
58
59   int DLm, DLsup, DLinf, Rango, uDLm, uDLmg;
60   int sLDRl, sLDRr, uLDR, dsLDR;
61   int bS = 0;
62   int bc= 2;
63   int fb = 0;
64   int rn = 0;
65
66   long d, t;
67   int mdUS;
68   int ddUS;
69   int tempdUS;
```

```
70  static int sTCRTg;
71  int grip = 0;
72
73  int velR,velO,velA; //Motors speed
74  int vel, velI;
75
76  int dPUSHr, dPUSHl; //Push button states.
77  int swarmON = 0;
78
79  // Repulsion, orientation and attraction parameters.
80  int dR=10;
81  int dO=10;
82  int dA=100;
83
84  //Direction vectors by sensors.
85  float Qf[] ={1, 0}; // 0 Direction vector by ultrasonic sensor.
86  float Qbr[]={-0.707, -0.707};// -135 Direction vector by TCRT.
87  float Qbl[]={-0.707, 0.707}; // 135 Direction vector by TCRT.
88  float Qfr[]={0.707, -0.707}; // -45 Direction vector by TCRT.
89  float Qfl[]={0.707, 0.707}; // 45 Direction vector by TCRT.
90
91  int qfR,qfrR,qflR,qbrR,qblR; // Elements detected by sensor in repulsion zone.
92  int qfA,qfrA,qflA,qbrA,qblA; // Elements detected by sensor in attraction zone.
93  int detR,detO,detA,detI; // Elements detected in zones.
94  float ddx,ddy,dd; // Components of the desired direction.
95  int TR,TL,F;
96  static int randomnumber;
97
98  void setup() {
99      Serial.begin (115200);
100
101      //Magnetometer
102      Wire.begin(21,22,40000);
103      qmc.init();
104
105      // I/O pin configuration.
```

```

106   pinMode(PUSHr, INPUT_PULLUP);
107   pinMode(PUSHl, INPUT_PULLUP);
108   pinMode(TCRTg, INPUT);
109   pinMode(TCRTbr, INPUT);
110   pinMode(TCRTbl, INPUT);
111   pinMode(TCRTfr, INPUT);
112   pinMode(TCRTfl, INPUT);
113   pinMode(LDRl, INPUT);
114   pinMode(LDRr, INPUT);
115   pinMode(MotorLB, OUTPUT);
116   pinMode(MotorLF, OUTPUT);
117   pinMode(MotorRB, OUTPUT);
118   pinMode(MotorRF, OUTPUT);
119   pinMode(Trig, OUTPUT);
120   pinMode(Echo, INPUT);
121   SERVO.attach(32);
122
123   // Calibration for magnetometer.
124   Magnetometer();
125   MS=geografico; MD=geografico+180; Mumbral=180;
126   if (MD>360){MD=MD-360;}
127   MSsup=MS+Mumbral; MSinf=MS-Mumbral;
128   MDsup=MD+Mumbral; MDinf=MD-Mumbral;
129   if (MSinf<0){MSinf=MSinf+360;}
130   if (MSsup>360){MSsup=MSsup-360;}
131   if (MSinf<MSsup){MSi=0;}
132   else if (MSinf>MSsup){MSi=1;}
133   if (MDinf<0){MDinf=MDinf+360;}
134   if (MDsup>360){MDsup=MDsup-360;}
135   if (MDinf<MDsup){MDi=0;}
136   else if (MDinf>MDsup){MDi=1;}
137
138   // Calibration for gripper.
139   sTCRTg = analogRead(TCRTg);
140   sTCRTg = map(sTCRTg, 4095, 0, 0, 4095);
141   sTCRTg = sTCRTg + 500;

```

---

```

142     }
143
144     void loop() {
145         Magnetometer();
146
147         // Sensors reading.
148         dLDRl = analogRead(LDRl); // LDRs.
149         dLDRr = analogRead(LDRr);
150         dLDRl = map(dLDRl, 0, 4096, 4096, 0);
151         dLDRr = map(dLDRr, 0, 4096, 4096, 0);
152
153         dTCRTg = analogRead(TCRTg); // TCRTs.
154         dTCRTbr = analogRead(TCRTbr);
155         dTCRTbl = analogRead(TCRTbl);
156         dTCRTfr = analogRead(TCRTfr);
157         dTCRTfl = analogRead(TCRTfl);
158
159         dTCRTbr = 126.43*pow(dTCRTbr, -0.692);
160         dTCRTbl = 126.43*pow(dTCRTbl, -0.692);
161         dTCRTfr = 126.43*pow(dTCRTfr, -0.692);
162         dTCRTfl = 126.43*pow(dTCRTfl, -0.692);
163
164         dUS = Ultrasonic();
165
166         //Push buttons.
167         dPUSHr = digitalRead(PUSHr); //
168         dPUSHl = digitalRead(PUSHl);
169         if (dPUSHr == LOW && dPUSHl == LOW && grip==0){swarmON=1;}
170         if (dPUSHr == HIGH && dPUSHl == LOW && grip==0){swarmON=0;}
171
172         //Influence parameters.
173         DLm = (dLDRl + dLDRr) / 2;
174         dsLDR = sqrt((pow(abs(dLDRl - DLm), 2) + pow(abs(dLDRr - DLm), 2)) / 2);
175         uDLm = 2800;
176         uDLmg = 3500;
177

```



```

178     if (grip==0 && DLm>uDLm && (dUS<=dR || dTCRTfr<=dR || dTCRTfl<=dR)){
179         bS = bS + 1;
180     }
181     if (dTCRTfr<=dR && dTCRTfl<=dR){
182         bS = bS + 1;
183     }
184
185     // Initialize variables to zero
186     TL=0; TR=0; F=0;
187     detR=0; detO=0; detA=0; detI=0;
188     qfR=0; qfrR=0, qflR=0, qbrR=0, qblR=0;
189     qfA=0; qfrA=0, qflA=0, qbrA=0, qblA=0;
190     velR = 100; velO = velI; velA=(220+velI)/2; vel=velO;
191
192     //Gripper.
193     if(dTCRTg>sTCRTg)
194     {
195         grip=1; //Close gripper
196         SERVO.write(45);
197     }
198     else
199     {
200         grip=0; //Open gripper
201         SERVO.write(90);
202     }
203
204     //Angle by magnetometer
205     if (MSi==0)
206     {
207         if (MSinf<geografico && geografico<MSsup){MSf=1;}
208         else {MSf=0;}
209     }
210     else if (MSi==1)
211     {
212         if (MSinf<geografico || geografico<MSsup){MSf=1;}
213         else {MSf=0;}

```

```

214     }
215     if (MDi==0)
216     {
217         if (MDinf<geografico && geografico<MDsup){MDf=1;}
218         else {MDf=0;}
219     }
220     else if (MDi==1)
221     {
222         if (MDinf<geografico || geografico<MDsup){MDf=1;}
223         else {MDf=0;}
224     }
225
226     if (rn == 1)
227     {
228         if (fb >= 2) {rn = 0; bS = 0;}
229         BehaviorRules();
230         if (dUS<=dR){fb= fb + 1;}
231     }
232
233     if (grip == 0 & rn == 0)
234     {
235         if (MSf==1 && bS<=bc)
236         {
237             BehaviorRules();
238         }
239
240         else if (bS > bc)
241         {
242             fb = 0; bS = 0; rn = 1;
243         }
244
245         else if (MSf == 0 & bS <= bc)
246         {
247             MSr = abs(MSsup-geografico);
248             MSl = abs(MSinf-geografico);
249             if (MSr<MSl)

```

```
250      {
251          ddx=1; ddy=1;
252      }
253      else
254      {
255          ddx=1; ddy=-1;
256      }
257  }
258  }
259
260  else if (grip==1 && rn == 0)
261  {
262      if (DLm>uDLmg && MDf ==1)
263      {
264          SERVO.write(90);
265          grip=0;
266      }
267
268      if (MDf == 1 && bS <= bc)
269      {
270          BehaviorRules();
271      }
272
273      else if (bS > bc)
274      {
275          bS = 0; fb = 0;rn = 1;
276      }
277
278      else if (MDf == 0 & bS <= bc)
279      {
280          MDr = abs(MDsup-geografico);
281          MDl = abs(MDinf-geografico);
282          if (MDr<MDl)
283          {
284              ddx=1; ddy=1;
285          }
```

```
286         else
287         {
288             ddx=1; ddy=-1;
289         }
290     }
291 }
292
293 // Calculation of the desired direction in radians.
294 float ddrad=atan2(ddy,ddx);
295 dd=ddrad*180/3.14159;
296
297 //Conversion to the robot reference system.
298 if (swarmON == 1)
299 {
300     if (0<dd && dd<180)
301     {
302         TL=1; TR=0; F=0;
303         TurnLeft(dd);
304     }
305
306     if (0>dd && dd>-180)
307     {
308         TR=1; TL=0; F=0;
309         TurnRight(dd);
310     }
311
312     if (dd== 0)
313     {
314         TR=0; TL=0; F=1;
315         Forward();
316         //Stop();
317     }
318 }
319
320 else
321 {
```

```
322     Stop();
323 }
324 }
325
326 void Magnetometer()
327 {
328     qmc.read(&x, &y, &z, &acimut);
329     geografico = acimut + declinacion;
330     if (geografico < 0)
331     {
332         geografico= geografico+360;
333     }
334     if (geografico >360)
335     {
336         geografico= geografico-360;
337     }
338 }
339
340 int Ultrasonic()
341 {
342     digitalWrite(Trig, LOW);
343     delayMicroseconds(5);
344     digitalWrite(Trig, HIGH);
345     delayMicroseconds(10);
346     digitalWrite(Trig, LOW);
347     t = pulseIn(Echo, HIGH);
348     d = (t/58);
349     return d;
350 }
351
352 void Backward()
353 {
354     analogWrite(MotorLB,255);
355     analogWrite(MotorLF,0);
356     analogWrite(MotorRB,220);
357     analogWrite(MotorRF,0);
```

```
358     }
359
360     void Forward()
361     {
362         analogWrite(MotorLB, 0);
363         analogWrite(MotorLF, vel);
364         analogWrite(MotorRB, 0);
365         analogWrite(MotorRF, vel);
366     }
367
368     void Stop()
369     {
370         analogWrite(MotorLB, 0);
371         analogWrite(MotorLF, 0);
372         analogWrite(MotorRB, 0);
373         analogWrite(MotorRF, 0);
374     }
375
376     void TurnRight(int grados)
377     {
378         grados = (-1 * grados);
379         analogWrite(MotorLB, 0);
380         analogWrite(MotorLF, 255);
381         analogWrite(MotorRB, 255);
382         analogWrite(MotorRF, 0);
383         int time = 4.4 * grados;
384         delay(time);
385     }
386
387     void TurnLeft(int grados)
388     {
389         analogWrite(MotorLB, 255);
390         analogWrite(MotorLF, 0);
391         analogWrite(MotorRB, 0);
392         analogWrite(MotorRF, 255);
393         int time = 3.6 * grados;
```

```

394     delay(time);
395 }
396
397 void BehaviorRules{
398     //Repulsion
399     if (dUS<=dR || dTCRTbr<=dR || dTCRTbk<=dR || dTCRTfr<=dR || dTCRTfl<=dR)
400     {
401         ddx= -(Qf[0]*qfR + Qfr[0]*qfrR + Qfl[0]*qflR + Qbr[0]*qbrR + Qbl[0]*qblR);
402         ddy= -(Qf[1]*qfR + Qfr[1]*qfrR + Qfl[1]*qflR + Qbr[1]*qbrR + Qbl[1]*qblR);
403         if (ddx<=-1 || ddy==0)
404         {
405             randomnumber = random(0,2);
406             if (randomnumber == 0) {ddx=-0.707; ddy=0.707;}
407             if (randomnumber == 1) {ddx=-0.707; ddy=-0.707;}
408         }
409         vel= velR; detR= 1;
410         fb= fb + 1;
411     }
412
413     //Influence
414     if (detR == 0)
415     {
416         if (dsLDR<1000)
417         {
418             detI=0;
419             //Attraction
420             if (dO < dUS && dUS > dA)
421             {
422                 vel=velA; detA=1;
423                 ddx= 1; ddy= 0;
424             }
425         }
426         else
427         {
428             detI=1;
429             if (dLDRl < dLDRr)

```

```
430      {
431          ddx=1; ddy=-0.035;
432      }
433      else
434      {
435          ddx=1; ddy=0.035;
436      }
437  }
438  }
439
440  //Orientation
441  if (detR==0 && detA==0 && detI==0)
442  {
443      if (dUS<=dO || dTCRTbr<=dO || dTCRTbk<=dO || dTCRTfr<=dO || dTCRTfl<=dO)
444      {
445          detO= 1; vel= velO; ddx= 1; ddy= 0;
446      }
447      else
448      {
449          vel= velO; ddx= 1; ddy= 0;
450      }
451  }
452  }
```



## APÉNDICE C

# CÓDIGO EN SCILAB - REGLAS DE COMPORTAMIENTO

---

### C.1 TAREA DE RELACIÓN TIPO DEPREDADOR-PRESA

```
1  //*****
2  //Estudio de comportamintos emergentes en enjambres de robots basados
3  //factores de influencia
4  //DIE Mechatronica
5  //UANL – FIME
6  //M.Sc. Erick de Jesus Ordaz Rivas
7  //*****
8
9  function [norm_val] = normalize(val, l_min, l_max)
10     norm_val = (val - l_min)/((l_max - l_min) + %eps);
11     if norm_val > 1 then
12         norm_val = 1;
13     elseif norm_val < 0 then
14         norm_val = 0;
15     end
16 endfunction
17
```

---

```

18 function [val]=denormalize(norm_val, l_min, l_max)
19     val = norm_val * (l_max - l_min) + l_min;
20     if val > l_max then
21         val = l_max;
22     elseif val < l_min then
23         val = l_min;
24     end
25 endfunction
26
27 function [dxdt]=dynamicModel(t,c)
28     // c(1,:) x position
29     //c(2,:) y position
30     //c(3,:) movement
31     //c(4,:) orientation
32     //c(5,:) speed
33     //c(6,:) angular speed
34
35     //Parameters
36     m = .38;      //mass
37     Ip = 0.005;   //inertia moment
38     d = 0.02;     //distance centroide to axis wheel
39     r = 0.03;     //radio wheel
40     R = 0.05;     //distance wheel-center
41
42     M = [m 0 ; 0 (Ip+m*d^2)];           //Inertial matrix
43     H = [-m*d*c(6)^2 ; m*d*c(5)*c(6)]; //Coriolis and centrifugal forces
44     B = [1/r 1/r ; R/r -R/r];           //Conversion torque-wheel-movil force
45     A = [r/2 r/2 ; r/(2*R) -r/(2*R)];   //Speed ratio
46     F = [0; 0];                          //Friction
47     Ts = [.434 0 ; 0 .434];
48     Ks = [2.745 0 ; 0 2.745];
49     Kl = [1460.2705 0 ; 0 1460.2705];
50
51     dxdt = [[cos(c(4)) -d*sin(c(4)); sin(c(4)) d*cos(c(4))]*[c(5); c(6)]; ...
52     ... c(5);c(6); inv(M + B*inv(Kl)*Ts*inv(A)) * (B*inv(Kl)*Ks*u - ...
53     ... (H + F + B*inv(Kl)*inv(A)*[c(5); c(6)]))];

```

```

54 endfunction
55
56 function [c,t]= mov(u,ci)
57     ti = 0;                //Initial time
58     tf = 1;                //Final time
59     tspan = [ti:0.1:tf]; //Time vector
60     c = ode(ci,ti,tspan,dynamicModel);
61     t = tspan;
62 endfunction
63
64 function [ReportPredators]= ppBehavior(Predators, Preys, dRd, dOd, dAd)
65     res = zeros(3,1);      //Center of mass and dispersion report
66     Tv = Predators + Preys; //Total of vehicles
67     C = zeros(Tv, 6);
68     for v=1:Tv
69         C(v,4) = denormalize(rand(1,'uniform'),0,2*%pi); ;
70     end                    //Vehicle states
71     iPreys = zeros(Preys,3) //Influence by prey
72     uO=0; uR =0; uA = 0; uI =0; //Initial speeds (voltages)
73     ud = zeros(Tv,2)+uO;    //Desired speed (voltage)
74     lims= 10;               //Test area limits
75     dInf = 2;               //Maximum distance of prey influence 2
76     cp = 0;                 //Collisions by prey
77     m=0;                    //Time
78     collisions = 3;
79     dirExp = C(:,4);
80     temp = zeros(Tv,1)
81     count = zeros(Tv,1)
82
83     for i=1: Preys
84         iPreys(i,1) = C(i,1);
85         iPreys(i,2) = C(i,2);
86         iPreys(i,3) = 0;
87     end
88
89     dR = 0.075+dRd; dRp = 0.25; //Repulsion ratio

```

```

90     dO = 0.075+dOd; dOp = 0.25; //Orientation ratio
91     dA = 0.075+dAd; dAp = 0.25; //Attraction ratio
92
93     for v = 1:Tv //Initialize predators
94         if v == 1 then
95             C(v,1) = lims*denormalize(rand(1,'uniform'),0.4,0.6);
96             C(v,2) = lims*denormalize(rand(1,'uniform'),0.5,0.6);
97         else
98             while %Γ
99                 if v <= Preys then
100                     safe = 0;
101                     C(v,1) = lims*denormalize(rand(1,'uniform'),0.4,0.6);
102                     C(v,2) = lims*denormalize(rand(1,'uniform'),0.5,0.6);
103                     for j = 1:v-1
104                         dother = sqrt((C(v,1)-C(j,1))^2 + (C(v,2)-C(j,2))^2);
105                         if dother > 0.3 then
106                             safe = safe + 1;
107                         end
108                     end
109                     if safe == j then
110                         break;
111                     end
112                 else
113                     safe = 0;
114                     C(v,1) = lims*denormalize(rand(1,'uniform'),0.33,0.66);
115                     C(v,2) = lims*denormalize(rand(1,'uniform'),0,0.33);
116                     for j = 1:v-1
117                         dother = sqrt((C(v,1)-C(j,1))^2 + (C(v,2)-C(j,2))^2);
118                         if dother > 0.3 then
119                             safe = safe + 1;
120                         end
121                     end
122                     if safe == j then
123                         break;
124                     end
125                 end

```

```

126         end
127     end
128     C(v,3) = 0;
129     C(v,4) = denormalize(rand(1,'uniform'),0,2*%pi);
130     C(v,5) = 0;
131     C(v,6) = 0;
132 end
133
134 scf();
135 f = get("current_figure");
136 f.BackgroundColor = [1 1 1];
137 f.figure_position = [10,10];
138 f.figure_size=[700,800];
139
140 while cp < collisions
141     m = m + 1;
142     for v=1:Tv
143         if v <= Preys then
144             dR = dRp; dO = dOp; dA = dAp;
145         else
146             dR = dRd; dO = dOd; dA = dAd;
147         end
148
149         //Elements detected
150         DetR = 0;           //Repulsion
151         DetO = 0;           //Orientation
152         DetA = 0;           //Attraction
153         DetI = 0;           //Influence (Objects)
154         ElemRx = [];        //Elements in repulsion
155         ElemOx = [];        //Elements in orientation
156         ElemAx = [];        //Elements in attraction
157         ElemIx = [];        //Elements in influence
158         ElemRy = [];        //Elements in repulsion
159         ElemOy = [];        //Elements in orientation
160         ElemAy = [];        //Elements in attraction
161         ElemIy = [];        //Elements in influence

```

```

162
163      //Detection range for repulsion , orientation , attraction , influence ,
164      //nest and objects
165      rangR = 2.0944;
166      rangO = 2.0944;
167      rangA = 0.5235988;
168      rangI = 2.44346;
169
170      //Verify each sensor for repulsion of walls
171      for i = 1:5
172          if i == 1 then
173              dirObs = C(v,4) -3.8397244;
174          else
175              dirObs = dirObs+1.9198622;
176          end
177          if dirObs < 0 then
178              dirObs = dirObs+(2*%pi);
179          elseif dirObs > (2*%pi) then
180              dirObs = dirObs-(2*%pi);
181          end
182          Dir = [cos(dirObs),sin(dirObs)];
183          limitX = C(v,1) + (Dir(1)*dR);
184          limitY = C(v,2) + (Dir(2)*dR);
185
186      //Resulting direction due exploration
187      if limitX > lims | limitX < 0 | limitY > lims | limitY < 0 then
188          explore(v) = 0;
189          dirExp(v) = dirObs+(3*%pi/4)+(rand()*%pi/2);
190          if dirExp(v) > (2*%pi) then
191              dirExp(v) = dirExp(v)-(2*%pi);
192          end
193      end
194  end
195
196  for z=1:Tv
197      if v <> z then //It must not be the same

```

---

```

198      //Angle of the individual with respect to other
199      //members of the swarm
200      ang = atan(C(z,2)-C(v,2),C(z,1)-C(v,1))
201      if ang<0 then
202          ang=ang+(2*%pi);
203      elseif ang > (2*%pi) then
204          ang=ang-(2*%pi);
205      end
206
207      //Calculation of angles of repulsion and attraction with
208      //respect to other individuals
209      Beta = ang - C(v,4);
210      if Beta < 0 then
211          Beta = Beta + (2*%pi);
212      end
213
214      Gama = C(v,4) - ang;
215      if Gama < 0 then
216          Gama = Gama + (2*%pi);
217      end
218
219      if Gama<Beta then
220          Delta = Gama;
221      else
222          Delta = Beta;
223      end
224
225      //Calculation of the repulsion distance with respect
226      //to other individuals
227      if Delta < rangR/2 then
228          dr = sqrt((C(v,1)-C(z,1))^2+(C(v,2)-C(z,2))^2);
229      else
230          dr = %inf;
231      end
232
233      //Calculation of the orientation distance with respect to objec

```

```

234         if Delta < rangO/2 then
235             dor = sqrt((C(v,1)-C(z,1))^2+(C(v,2)-C(z,2))^2);
236         else
237             dor = %inf;
238         end
239
240         //Calculation of the attraction distance with respect
241         //to other individuals
242         if Delta < rangA/2 then
243             da = sqrt((C(v,1)-C(z,1))^2+(C(v,2)-C(z,2))^2);
244         else
245             da = %inf;
246         end
247
248         //Number of individuals detected in the radius of repulsion,
249         //orientation and attraction
250         if dr <= dR then
251             ElemRx = [ElemRx; cos(ang)];
252             ElemRy = [ElemRy; sin(ang)];
253             DetR = DetR+1; //A vehicle is detected (repulsion)
254         end
255
256         if dor > dR & dor <= dO & DetR == 0 & DetA == 0 then
257             ElemOx = [ElemOx; cos(C(z,4))];
258             ElemOy = [ElemOy; sin(C(z,4))];
259             DetO = DetO+1; //A vehicle is detected (orientation)
260         end
261
262         if da > dO & da <= dA & DetR == 0 then
263             ElemAx = [ElemAx; cos(ang)];
264             ElemAy = [ElemAy; sin(ang)];
265             DetA = DetA+1; //A vehicle is detected (attraction)
266         end
267     end
268 end //of Z
269

```



```

270      //Influence prey angle
271      if v > Preys then
272          for p=1 : Preys
273              if iPreys(p,3) < collisions then
274                  dirP(p) = atan(iPreys(p,2)-C(v,2), iPreys(p,1)-C(v,1));
275                  if dirP(p)<0 then
276                      dirP(p)=dirP(p)+(2*%pi);
277                  elseif dirP(p) > (2*%pi) then
278                      dirP(p)=dirP(p)-(2*%pi);
279                  end
280
281              //Calculation of influence angle
282              BetaI = dirP(p) - C(v,4);
283              if BetaI < 0 then
284                  BetaI = BetaI + (2*%pi);
285              end
286
287              GamaI = C(v,4) - dirP(p);
288              if GamaI < 0 then
289                  GamaI = GamaI + (2*%pi);
290              end
291
292              if GamaI<BetaI then
293                  DeltaI = GamaI;
294              else
295                  DeltaI = BetaI;
296              end
297
298              //Calculation of the influence distance
299              if DeltaI<rangI then
300                  di(p)=sqrt((iPreys(p,1)-C(v,1))^2+(iPreys(p,2)- ...
301                      ... C(v,2))^2);
302              else
303                  di(p) = %inf;
304              end
305          else

```

---

```

306             di(p) = %inf;
307         end
308     end
309
310     minPrey = find(di==min(di))
311     if di(minPrey) <= dInf then
312         ElemIx = [ElemIx; cos(dirP(minPrey))];
313         ElemIy = [ElemIy; sin(dirP(minPrey))];
314         DetI = DetI+1; //A vehicle is detected (repulsion)
315     end
316
317     Ilim = 0.05;
318     if (di(minPrey)>=Ilim) then
319         di(minPrey) = di(minPrey);
320     else
321         di(minPrey) = Ilim;
322     end
323
324     [norm_val]=normalize(di(minPrey),Ilim,dInf)
325     [val]=denormalize(norm_val,1.2,2)
326     uI = val;
327 end
328
329 uO=uI; uR=1; uA=(uI+2)/2;
330 uDO=1.2; uDR=1.2; uDA=(uDO+1.2)/2;
331
332 //Average of detected elements
333 dirR = atan(-sum(ElemRy),-sum(ElemRx));
334 if dirR < 0 then
335     dirR = dirR+(2*%pi);
336 end
337
338 dirO = atan(sum(ElemOy),sum(ElemOx));
339 if dirO < 0 then
340     dirO = dirO+(2*%pi);
341 end

```

```

342
343     dirA = atan(sum(ElemAy),sum(ElemAx));
344     if dirA < 0 then
345         dirA = dirA+(2*%pi);
346     end
347
348     dirI = atan(sum(ElemIy),sum(ElemIx));
349     if dirI < 0 then
350         dirI = dirI+(2*%pi);
351     end
352
353     //Behavior Policies
354     //Repulsion rules
355     if DetR > 0 then
356         if (v > Preys) then
357             ud(v,:) = zeros(1,2)+uR;
358             xT = cos(dirR);
359             yT = sin(dirR);
360             C(v,4) = atan(yT,xT);
361             dirExp(v) = dirR;
362         else
363             if iPreys(v,3) < collisions
364                 if count(v) < 6 & m > 10 then
365                     temp(v) = temp(v) + 1;
366                 else
367                     temp(v) = 0;
368                     count(v) = 0;
369                 end
370                 ud(v,:) = zeros(1,2)+uR;
371                 xT = cos(dirR);
372                 yT = sin(dirR);
373                 C(v,4) = atan(yT,xT);
374                 dirExp(v) = dirR;
375             end
376         end
377     end

```

---

```

378      //Collisions by prey
379      if temp(v) >= 1 then
380          count(v) = count(v) + 1;
381      end
382      if temp(v) == collisions then
383          iPreys(v,3) = collisions;
384      end
385      cp = mean(iPreys(:,3));
386
387      //Influence rules
388      if v > Preys then
389          if (DetI>0 & DetR==0) then
390              if DetA == 0 then
391                  ud(v,:) = zeros(1,2)+uO;
392                  xT = cos(dirI);
393                  yT = sin(dirI);
394                  C(v,4) = atan(yT,xT);
395                  dirExp(v) = dirI;
396              else
397                  ud(v,:) = zeros(1,2)+uO;
398                  xT = cos(dirI)*0.5 + cos(dirA);
399                  yT = sin(dirI)*0.5 + sin(dirA);
400                  C(v,4) = atan(yT,xT);
401                  dirExp(v) = dirI;
402              end
403          end
404      end
405
406      //Attraction rules
407      if (DetA>0 & DetR==0 & DetO==0 & DetI==0 ) then
408          if (v > Preys) then
409              ud(v,:) = zeros(1,2)+uA;
410              xT = cos(dirA);
411              yT = sin(dirA);
412              C(v,4) = atan(yT,xT);
413              dirExp(v) = dirA;

```

```

414         else
415             if iPreys(v,3) < collisions then
416                 ud(v,:) = zeros(1,2)+uDA;
417                 xT = cos(dirA);
418                 yT = sin(dirA);
419                 C(v,4) = atan(yT,xT);
420                 dirExp(v) = dirA;
421             end
422         end
423     end
424
425     //Orientation rules
426     if (DetO>0 & DetR==0 & DetA==0 & DetI==0) then
427         if (v > Preys) then
428             ud(v,:) = zeros(1,2)+uO;
429             xT = cos(dirO);
430             yT = sin(dirO);
431             C(v,4) = atan(yT,xT);
432             dirExp(v) = dirO;
433         else
434             if iPreys(v,3) < collisions then
435                 ud(v,:) = zeros(1,2)+uDO;
436                 xT = cos(dirO);
437                 yT = sin(dirO);
438                 C(v,4) = atan(yT,xT);
439                 dirExp(v) = dirO;
440             end
441         end
442     end
443
444     //Orientation-Attraction rules
445     if (DetO>0 & DetA>0 & DetR==0 & DetI==0) then
446         if (v > Preys) then
447             ud(v,:) = zeros(1,2)+uO;
448             xT = 0.5*cos(dirO)+0.5*cos(dirA);
449             yT = 0.5*sin(dirO)+0.5*sin(dirA);

```

---

```

450             C(v,4) = atan(yT,xT);
451             dirExp(v) = dirO;
452         else
453             if iPreys(v,3) < collisions then
454                 ud(v,:) = zeros(1,2)+uDO;
455                 xT = 0.5*cos(dirO)+0.5*cos(dirA);
456                 yT = 0.5*sin(dirO)+0.5*sin(dirA);
457                 C(v,4) = atan(yT,xT);
458                 dirExp(v) = dirO;
459             end
460         end
461     end
462
463     //Out of range
464     if (DetO==0 & DetR==0 & DetA==0 & DetI==0) then
465         if (v > Preys) then
466             ud(v,:) = zeros(1,2)+uO;
467             xT = cos(dirExp(v));
468             yT = sin(dirExp(v));
469             C(v,4) = atan(yT,xT);
470         else
471             if iPreys(v,3) < collisions then
472                 ud(v,:) = zeros(1,2)+uDO;
473                 xT = cos(dirExp(v));
474                 yT = sin(dirExp(v));
475                 C(v,4) = atan(yT,xT);
476             end
477         end
478     end
479
480     //ReportsPredators
481     if v > Preys then
482         ReportPredators(m,v-Preys,1) = C(v,1);
483         ReportPredators(m,v-Preys,2) = C(v,2);
484         ReportPredators(m,v-Preys,3) = C(v,4);
485         ReportPredators(m,v-Preys,4) = C(v,5);

```

---

```

486         else
487             ReportPreys(m,v,1) = C(v,1);
488             ReportPreys(m,v,2) = C(v,2);
489             ReportPreys(m,v,3) = C(v,4);
490             ReportPreys(m,v,4) = C(v,5);
491         end
492
493     Dm(m,v) = C(v,3);
494     Dr(v) = max(Dm(:,v))
495
496     Cpast = C(v,:);
497     [cs,t] = mov(ud(v,:) ',C(v,:) '); //Vehicle movement
498     [r, c] = size(cs);
499     C(v,:) = cs(:,c)'; //Next initial condition, actual condition
500
501     if (v <= Preys) then
502         if iPreys(v,3) >= collisions then
503             C(v,:) = Cpast;
504         end
505     end
506
507     for i=1:Preys
508         iPreys(i,1) = C(i,1)
509         iPreys(i,2) = C(i,2)
510     end
511
512     if C(v,1) < 0 | C(v,1) > lims | C(v,2) < 0 | C(v,2) > lims then
513         C(v,:) = Cpast;
514     end
515
516     //This avoids an infinite increment of radians
517     if C(v,4) > (2*%pi) then
518         C(v,4) = C(v,4)-(2*%pi);
519     elseif C(v,4) < 0 then
520         C(v,4) = C(v,4)+(2*%pi);
521     end

```

```

522     end
523
524     drawlater();
525     clf();
526     scatter([0,0],[0,0]);
527     d = 0.18;           //Size of arrow
528     RadRobot = 0.06; //Radius of robot
529
530     for v=1:(Tv)
531         if v <= Preys then
532             t1 = C(v,4)-acos(RadRobot/d);
533             t2 = C(v,4)+acos(RadRobot/d);
534             xf = [C(v,1),C(v,1)+RadRobot*cos(t1),C(v,1)+d*cos(C(v,4)),C(v,1)+ ...
535                 ... RadRobot*cos(t2)];
536             yf = [C(v,2),C(v,2)+RadRobot*sin(t1),C(v,2)+d*sin(C(v,4)),C(v,2)+ ...
537                 ... RadRobot*sin(t2)];
538             xfpoly(xf,yf,[-1]);
539             if iPreys(v,3) < collisions then
540                 gce().background = 7;
541             else
542                 gce().background = 3;
543             end
544             xfarc(C(v,1)-RadRobot,C(v,2)+RadRobot,RadRobot*2,RadRobot*2,0,360*64);
545             if iPreys(v,3) < collisions then
546                 gce().background = 7;
547             else
548                 gce().background = 3;
549             end
550         else
551             t1 = C(v,4)-acos(RadRobot/d);
552             t2 = C(v,4)+acos(RadRobot/d);
553             xf = [C(v,1),C(v,1)+RadRobot*cos(t1),C(v,1)+d*cos(C(v,4)),C(v,1)+ ...
554                 ... RadRobot*cos(t2)];
555             yf = [C(v,2),C(v,2)+RadRobot*sin(t1),C(v,2)+d*sin(C(v,4)),C(v,2)+ ...
556                 ... RadRobot*sin(t2)];
557             xfpoly(xf,yf,[-1]);

```



```

558         xfarc(C(v,1)-RadRobot,C(v,2)+RadRobot,RadRobot*2,RadRobot*2,0,360*64);
559     end
560 end
561
562     a = get("current_axes");
563     a.data_bounds = [0,0; lims,lims];
564     a.tight_limits = ["on","on"];
565     drawnow();
566 end // of m
567
568 cx = sum(ReportPredators(m,:,1))/Predators;
569 cy = sum(ReportPredators(m,:,2))/Predators;
570 dy=sqrt(sum((ReportPredators(m,:,2)-cy).^2)/Predators);
571 dx=sqrt(sum((ReportPredators(m,:,1)-cx).^2)/Predators);
572 area = (%pi*dy*dx)
573 set(gca(),"auto_clear","off");
574 plot(cx,cy,'rx');
575 xset("color",1);
576 xarc(cx-(dx*1.3),cy+(dy*1.3),(dx*1.3)*2,(dy*1.3)*2,0,360*64);
577 //title('k=250, con influencia');
578 set(gca(),"auto_clear","on");
579 xlabel('x-axis','FontSize',3);
580 ylabel('y-axis','FontSize',3);
581 res(1,1)=cx;
582 res(2,1)=cy;
583 res(3,1)=dy;
584 res(4,1)=dx;
585 res(5,1)=area;
586 endfunction

```

## C.2 TAREA DE TRANSPORTE DE OBJETOS

```

1
2 //*****

```

---

```

3  //Estudio de comportamintos emergentes en enjambres de robots basados
4  //factores de influencia
5  //DIE Mecatronica
6  //UANL – FIME
7  //M.Sc. Erick de Jesus Ordaz Rivas M.Sc. Luis Angel Marquez Vega
8  //*****
9
10 function [norm_val]=normalize(val,l_min,l_max)
11     norm_val = (val-l_min)/((l_max-l_min)+%eps);
12     if norm_val > 1 then
13         norm_val = 1;
14     elseif norm_val < 0 then
15         norm_val = 0;
16     end
17 endfunction
18
19 function [val]=denormalize(norm_val,l_min,l_max)
20     val = norm_val*(l_max-l_min)+l_min;
21     if val > l_max then
22         val = l_max;
23     elseif val < l_min then
24         val = l_min;
25     end
26 endfunction
27
28 function [dxdt]=DynamicModel(t,c)
29     //c(1,:) x position
30     //c(2,:) y position
31     //c(3,:) movement
32     //c(4,:) orientation
33     //c(5,:) speed
34     //c(6,:) angular spee
35
36     //Parameters
37     m = .38;    //mass
38     Ip = 0.005; //inertia moment

```

```

39     d = 0.02;    //distance centroid to axis wheel
40     r = 0.03;    //radio wheel
41     R = 0.05;    //distance wheel-center
42
43     M = [m 0 ; 0 (Ip+m*d^2)];           //Inertial matrix
44     H = [-m*d*c(6)^2 ; m*d*c(5)*c(6)]; //Coriolis and centrifugal forces
45     B = [1/r 1/r ; R/r -R/r];           //Conversion torque-wheel-movil force
46     A = [r/2 r/2 ; r/(2*R) -r/(2*R)];   //Speed ratio
47     F = [0; 0];                           //Friction
48
49     Ts = [.434 0 ; 0 .434];
50     Ks = [2.745 0 ; 0 2.745];
51     Kl = [1460.2705 0 ; 0 1460.2705];
52
53     dxdt = [[cos(c(4)) -d*sin(c(4)); sin(c(4)) d*cos(c(4))]*[c(5); c(6)]; ...
54     ... c(5); c(6); inv(M + B*inv(Kl)*Ts*inv(A)) * (B*inv(Kl)*Ks*u - ...
55     ... (H + F + B*inv(Kl)*inv(A)*[c(5); c(6)]))];
56 endfunction
57
58 function [c,t]= Mov(u,ci)
59     ti = 0;           //Initial time
60     tf = 1;           //Final time
61     tspan = [ti:0.1:tf]; //Time vector
62     c = ode(ci,ti,tspan,DynamicModel);
63     t = tspan;
64 endfunction
65
66 function [Report,Oend,Oini,st,Tr,Dr]=SimMov2(Ob,Tv,dRU,dOU,dAU)
67     st = 0;           //Iterations
68     Report = zeros(st,Tv,4); //Report
69     Tr = zeros(Tv,3); //Delivery time, Search time, collected objects
70     C = zeros(Tv,6); //vehicle states
71     rm = rand(1,1,'normal')*0.01; //White noise in DC motors (1%)
72     uO = 0; uR = 0; uA = 0; uI = 0; //Initial speeds (voltages)
73     ud = zeros(Tv,2)+uO; //Desired speed (voltage)
74     lims = 10;        //Test area limits

```

```

75     dNest = 4;                                //Maximum distance of influence (nest)
76     dObBox = 3;                               //Maximum distance of influence (Objects box)
77
78     dR = 0.075+dRU;
79     dO = 0.075+dOU;
80     dA = 0.075+dAU;
81
82     Gripc = zeros(Tv,1); //Open grip
83     NestFull = Ob;      //Nest full (End task)
84
85     //Objects box
86     centerBox = 0.75;
87     limsBox = 0.2;
88     ObBox = [centerBox*lims ,centerBox*lims ];
89     ObBoxOn = zeros(Tv,1);
90
91     Objects = zeros(Ob,2);    //Objects location
92     if Ob == 0 then
93         Object = zeros(1,1)    //Objects vector
94         gov = zeros(1,1)       //Objects gripped by vehicle
95     else
96         Object = zeros(Ob,1); //Objects vector
97         gov = zeros(Ob,1)      //Objects gripped by vehicle
98     end
99
100    //Random objects position
101    for o = 1:Ob
102        Obrand1 = denormalize(rand(1,'uniform'),centerBox-(limsBox/2),
103        centerBox+(limsBox/2));
104        Obrand2 = denormalize(rand(1,'uniform'),centerBox-(limsBox/2),
105        centerBox+(limsBox/2));
106        Objects(o,1) = [lims*Obrand1()];
107        Objects(o,2) = [lims*Obrand2()];
108        Oini(o,1) = Objects(o,1);    //Initial position of object on X axis
109        Oini(o,2) = Objects(o,2);    //Initial position of object on Y axis
110        Object(o,1) = 1;

```

```

111     end
112
113     //Nest
114     limsNest = 0.2;
115     dot = zeros(1,2)+lims*(limsNest/2); //Nest dot
116     Nest = [dot(1,1),dot(1,2)]; //Nest location (Dotted line)
117     NestOn = zeros(Tv,1); //Influence of nest activated for vehicle
118
119     for v = 1:Tv //Initialize vehicles
120         if v == 1 then
121             C(v,1) = lims*denormalize(rand(1,'uniform'),0,limsNest);
122             C(v,2) = lims*denormalize(rand(1,'uniform'),0,limsNest);
123         else
124             while %Γ
125                 safe = 0;
126                 C(v,1) = lims*denormalize(rand(1,'uniform'),0,0.2);
127                 C(v,2) = lims*denormalize(rand(1,'uniform'),0,0.2);
128                 for j = 1:v-1
129                     dother = sqrt((C(v,1)-C(j,1))^2 + (C(v,2)-C(j,2))^2);
130                     if dother > 0.3 then
131                         safe = safe + 1;
132                     end
133                 end
134                 if safe == j then
135                     break;
136                 end
137             end
138         end
139         C(v,3) = 0;
140         C(v,4) = denormalize(rand(1,'uniform'),0,2*%pi);
141         C(v,5) = 0;
142         C(v,6) = 0;
143     end
144
145     dirExp = C(:,4);
146     explore = zeros(1,Tv);

```

```

147
148     /* scf ();
149     f = get("current_figure");
150     f.BackgroundColor = [1 1 1];
151     f.figure_position = [10,10];
152     f.figure_size=[700,800];*/
153
154     //Finish task when nest is full
155     while NestFull <> 0
156
157         st = st +1; //Iteration counter
158
159         for v = 1:Tv
160
161             //Elements detected
162             DetR = 0;      //Repulsion
163             DetO = 0;      //Orientation
164             DetA = 0;      //Attraction
165             DetN = 0;      //Nest and influence (Objects)
166             DetObBox = 0; //Object Box
167             ElemRx = [];   //Elements in repulsion
168             ElemOx = [];   //Elements in orientation
169             ElemAx = [];   //Elements in attraction
170             ElemRy = [];   //Elements in repulsion
171             ElemOy = [];   //Elements in orientation
172             ElemAy = [];   //Elements in attraction
173
174             //Detection range for repulsion, orientation, attraction, influence,
175             //nest and objects
176             rangR = 5.75959;
177             rangO = 2.44346
178             rangA = 0.523599;
179             rangI = 0.523599;
180             rangN = 2.44346;
181             rangOB = 2.44346;
182

```

```

183      //Verify each sensor for repulsion of walls
184      for i = 1:5
185          if i == 1 then
186              dirObs = C(v,4) - 3.8397244;
187          else
188              dirObs = dirObs + 1.9198622;
189          end
190          if dirObs < 0 then
191              dirObs = dirObs + (2 * %pi);
192          elseif dirObs > (2 * %pi) then
193              dirObs = dirObs - (2 * %pi);
194          end
195          Dir = [cos(dirObs), sin(dirObs)];
196          limitX = C(v,1) + (Dir(1) * dR);
197          limitY = C(v,2) + (Dir(2) * dR);
198
199          //Resulting direction due exploration
200          if limitX > lims | limitX < 0 | limitY > lims | limitY < 0 then
201              explore(v) = 0;
202              dirExp(v) = dirObs + (3 * %pi / 4) + (rand() * %pi / 2);
203              if dirExp(v) > (2 * %pi) then
204                  dirExp(v) = dirExp(v) - (2 * %pi);
205              end
206          end
207      end
208
209      //Resulting direction due object box
210      dirOb = atan(ObBox(1,2) - C(v,2), ObBox(1,1) - C(v,1));
211      if dirOb < 0 then
212          dirOb = dirOb + (2 * %pi);
213      elseif dirOb > (2 * %pi) then
214          dirOb = dirOb - (2 * %pi);
215      end
216
217      //Calculation of influence angles by object box
218      BetaOB = dirOb - C(v,4);

```

```

219         if BetaOB < 0 then
220             BetaOB = BetaOB+(2*%pi);
221         end
222         GamaOB = C(v,4)-dirOb;
223         if GamaOB < 0 then
224             GamaOB = GamaOB+(2*%pi);
225         end
226         if GamaOB < BetaOB then
227             DeltaOB = GamaOB;
228         else
229             DeltaOB = BetaOB;
230         end
231
232         //Calculated distance between the robots and the object zone
233         if DeltaOB < rangOB/2 then
234             dOB = sqrt((C(v,1)-ObBox(1,1))^2+(C(v,2)-ObBox(1,2))^2);
235         else
236             dOB = %inf;
237         end
238
239         [norm_valOB] = normalize(dOB,0,dObBox) //normalize distance of
240         //influence by nest
241         [valOB] = denormalize(norm_valOB,1,2.8) //desnormalize distance of
242         //influence by nest
243         uI = valOB;
244
245         for z = 1:Tv
246             if v <> z then //it must not be the same
247
248                 //Angle of the individual with respect to other
249                 // members of the swarm
250                 ang = atan(C(z,2)-C(v,2),C(z,1)-C(v,1))
251                 if ang < 0 then
252                     ang = ang+(2*%pi);
253                 elseif ang > (2*%pi) then
254                     ang = ang-(2*%pi);

```



---

```

255         end
256
257         //Calculation of angles of repulsion and attraction with
258         //respect to other individuals
259         Beta = ang-C(v,4);
260         if Beta < 0 then
261             Beta = Beta+(2*%pi);
262         end
263         Gama = C(v,4)-ang;
264         if Gama < 0 then
265             Gama = Gama+(2*%pi);
266         end
267         if Gama < Beta then
268             Delta = Gama;
269         else
270             Delta = Beta;
271         end
272
273         //Calculation of the repulsion distance with respect
274         //to other individuals
275         if Delta < rangR/2 then
276             dr = sqrt((C(v,1)-C(z,1))^2+(C(v,2)-C(z,2))^2);
277         else
278             dr = %inf;
279         end
280
281         //Calculation of the orientation distance with respect
282         //to objects
283         if Delta < rangO/2 then
284             dor = sqrt((C(v,1)-C(z,1))^2+(C(v,2)-C(z,2))^2);
285         else
286             dor = %inf;
287         end
288
289         //Calculation of the attraction distance with respect
290         //to other individuals

```

```

291         if Delta < rangA/2 then
292             da = sqrt((C(v,1)-C(z,1))^2+(C(v,2)-C(z,2))^2);
293         else
294             da = %inf;
295         end
296
297         //Number of individuals detected in the radius of repulsion ,
298         //orientation and attraction
299         if dr <= dR then
300             ElemRx = [ElemRx; cos(ang)];
301             ElemRy = [ElemRy; sin(ang)];
302             DetR = DetR+1; //A vehicle is detected (repulsion)
303         end
304         if dor > dR & dor <= dO & DetR == 0 & DetA == 0 then
305             ElemOx = [ElemOx; cos(C(z,4))];
306             ElemOy = [ElemOy; sin(C(z,4))];
307             DetO = DetO+1; //A vehicle is detected (orientation)
308         end
309         if da > dO & da <= dA & DetR == 0 then
310             ElemAx = [ElemAx; cos(ang)];
311             ElemAy = [ElemAy; sin(ang)];
312             DetA = DetA+1; //A vehicle is detected (attraction)
313         end
314
315     end
316 end //of z
317
318 for o = 1:Ob
319     //Search object
320     if Object(o,1) == 1 & Gripc(v,1) == 0 then
321
322         //Angle of influence (respect to objects)
323         angI = atan(Objects(o,2)-C(v,2), Objects(o,1)-C(v,1));
324         if angI < 0 then
325             angI = angI+(2*%pi);
326         elseif angI > (2*%pi) then

```

---

```

327         angI = angI-(2*%pi);
328     end
329
330     //Calculation of influence angles (respect to objects)
331     BetaI = angI-C(v,4);
332     if BetaI < 0 then
333         BetaI = BetaI+(2*%pi);
334     end
335     GamaI = C(v,4)-angI;
336     if GamaI < 0 then
337         GamaI = GamaI+(2*%pi);
338     end
339     if GamaI < BetaI then
340         DeltaI = GamaI;
341     else
342         DeltaI = BetaI;
343     end
344
345     //Noise for distance value in influence
346     //(standard distribution) of 5%
347     ds1 = 0;
348     ds2 = 0;
349     for i = 1:12
350         ds1 = ds1+rand(1,1,'normal');
351     end
352     for j = 1:6
353         ds2 = ds2+rand(1,1,'normal');
354     end
355     rds= (ds1-ds2)*0.05;
356
357     //Calculated influence distance (respect to objects)
358     if DeltaI < rangI/2 then
359         di = sqrt((C(v,1)-Objects(o,1))^2+((C(v,2)- ...
360         ... Objects(o,2))^2))+rds;
361     else
362         di = %inf;

```

```

363         end
364
365         //Distance between objects and robot
366         Ilim = 0.02;
367         if di <= Ilim then
368             NestOn(v) = 1;
369             gov(o) = v;
370             Tr(v,3) = Tr(v,3)+1;
371             Gripc(v,1) = 1; //Close grip
372             Object(o,1) = 0; //Object taken by robot
373         end
374
375     end
376
377     //Nest
378     if Object(o,1) == 0 & NestOn(v) == 1 then
379
380         //Angle respect to nest
381         dirNest = atan(Nest(1,2)-C(v,2), Nest(1,1)-C(v,1));
382         if dirNest < 0 then
383             dirNest = dirNest+(2*%pi);
384         elseif dirNest > (2*%pi) then
385             dirNest = dirNest-(2*%pi);
386         end
387
388         //Calculation of influence angles
389         BetaN = dirNest-C(v,4);
390         if BetaN < 0 then
391             BetaN = BetaN+(2*%pi);
392         end
393         GamaN = C(v,4)-dirNest;
394         if GamaN < 0 then
395             GamaN = GamaN+(2*%pi);
396         end
397         if GamaN < BetaN then
398             DeltaN = GamaN;

```

```

399         else
400             DeltaN = BetaN;
401         end
402
403         //Calculated influence distance (respect to nest)
404         if DeltaN < rangN/2 then
405             dN = sqrt((Nest(1,1)-C(v,1))^2+(Nest(1,2)-C(v,2))^2);
406         else
407             dN = %inf;
408         end
409
410         //Distance between nest and robot
411         Nlim = 0.05;
412         if dN < Nlim then
413             Objects(o,1) = Nest(1,1);
414             Objects(o,2) = Nest(1,2);
415             dot(1,1) = dot(1,1) + denormalize(rand(1,'uniform'),-0.1,0.
416             dot(1,2) = dot(1,2) + denormalize(rand(1,'uniform'),-0.1,0.
417             Nest(1,1) = dot(1,1);
418             Nest(1,2) = dot(1,2);
419             NestFull = NestFull - 1;
420             Gripc(v,1) = 0;
421             NestOn(v) = 0;
422         end
423
424         [norm_val] = normalize(dN,Nlim,dNest) //normalize distance of
425         //influence by nest
426         [valN] = denormalize(norm_val,1.2,2.4) //desnormalize
427         //distance of influence by nest
428         uI = valN;
429
430         if Gripc(gov(o,1),1) == 1 then
431             Objects(o,1) = C(gov(o,1),1);
432             Objects(o,2) = C(gov(o,1),2);
433         end
434     end

```

```

435      end // of o
436
437
438      uR = 1.2;
439      uO = uI;
440      uA = (uI+2.4);
441
442      //Average of detected elements
443      dirR = atan(-sum(ElemRy),-sum(ElemRx));
444      if dirR < 0 then
445          dirR = dirR+(2*%pi);
446      end
447
448      dirO = atan(sum(ElemOy),sum(ElemOx));
449      if dirO < 0 then
450          dirO = dirO+(2*%pi);
451      end
452
453      dirA = atan(sum(ElemAy),sum(ElemAx));
454      if dirA < 0 then
455          dirA = dirA+(2*%pi);
456      end
457
458      //Behavior Policies
459      //Repulsion behavior
460      if DetR > 0 then
461          if NestOn(v) == 0 then
462              if dOB < dObBox then
463                  ud(v,:) = zeros(1,2)+uR+rm;
464                  xT = 0.8*cos(dirR)+0.2*cos(dirOb);
465                  yT = 0.8*sin(dirR)+0.2*sin(dirOb);
466                  C(v,4) = atan(yT,xT);
467                  //dirExp(v) = dirR;
468                  explore(v) = 1;
469              else
470                  ud(v,:) = zeros(1,2)+uR+rm;

```

```

471         xT = cos(dirR);
472         yT = sin(dirR);
473         C(v,4) = atan(yT,xT);
474         dirExp(v) = dirR;
475     end
476 else
477     if dN < dNest then
478         ud(v,:) = zeros(1,2)+uR+rm;
479         xT = 0.8*cos(dirR)+0.2*cos(dirNest);
480         yT = 0.8*sin(dirR)+0.2*sin(dirNest);
481         C(v,4) = atan(yT,xT);
482     else
483         ud(v,:) = zeros(1,2)+uR+rm;
484         xT = cos(dirR);
485         yT = sin(dirR);
486         C(v,4) = atan(yT,xT);
487         dirExp(v) = dirR;
488     end
489 end
490 end
491
492 //Orientation of vehicles
493 if DetR == 0 & DetO > 0 & DetA == 0 then
494     if NestOn(v) == 0 then
495         if dOB < dObBox then
496             ud(v,:) = zeros(1,2)+uO+rm;
497             xT = cos(dirOb);
498             yT = sin(dirOb);
499             C(v,4) = atan(yT,xT);
500             explore(v) = 1;
501         else
502             ud(v,:) = zeros(1,2)+uO+rm;
503             xT = cos(dirO);
504             yT = sin(dirO);
505             C(v,4) = atan(yT,xT);
506             dirExp(v) = dirO;

```

```

507         end
508     else
509         if dN < dNest then
510             ud(v,:) = zeros(1,2)+uO+rm;
511             xT = cos(dirNest);
512             yT = sin(dirNest);
513             C(v,4) = atan(yT,xT);
514         else
515             ud(v,:) = zeros(1,2)+uO+rm;
516             xT = cos(dirO);
517             yT = sin(dirO);
518             C(v,4) = atan(yT,xT);
519             dirExp(v) = dirO;
520         end
521     end
522 end
523
524 //Attraction of vehicles
525 if DetR == 0 & DetO == 0 & DetA > 0 then
526     if NestOn(v) == 0 then
527         if dOB < dObBox then
528             ud(v,:) = zeros(1,2)+uO+rm;
529             xT = cos(dirOb);
530             yT = sin(dirOb);
531             C(v,4) = atan(yT,xT);
532             explore(v) = 1;
533         else
534             ud(v,:) = zeros(1,2)+uA+rm;
535             xT = cos(dirA);
536             yT = sin(dirA);
537             C(v,4) = atan(yT,xT);
538             dirExp(v) = dirA;
539         end
540     else
541         if dN < dNest then
542             ud(v,:) = zeros(1,2)+uO+rm;

```



```

543             xT = cos(dirNest);
544             yT = sin(dirNest);
545             C(v,4) = atan(yT,xT);
546         else
547             ud(v,:) = zeros(1,2)+uA+rm;
548             xT = cos(dirA);
549             yT = sin(dirA);
550             C(v,4) = atan(yT,xT);
551             dirExp(v) = dirA;
552         end
553     end
554 end
555
556 //Orientation and Attraction of vehicles
557 if DetR == 0 & DetO > 0 & DetA > 0 then
558     if NestOn(v) == 0 then
559         if dOB < dObBox then
560             ud(v,:) = zeros(1,2)+uO+rm;
561             xT = cos(dirOb);
562             yT = sin(dirOb);
563             C(v,4) = atan(yT,xT);
564             explore(v) = 1;
565         else
566             ud(v,:) = zeros(1,2)+uO+rm;
567             xT = 0.5*cos(dirO)+0.5*cos(dirA);
568             yT = 0.5*sin(dirO)+0.5*sin(dirA);
569             C(v,4) = atan(yT,xT);
570             dirExp(v) = atan(sin(dirO)+sin(dirA),cos(dirO)+cos(dirA));
571         end
572     else
573         if dN < dNest then
574             ud(v,:) = zeros(1,2)+uO+rm;
575             xT = cos(dirNest);
576             yT = sin(dirNest);
577             C(v,4) = atan(yT,xT);
578         else

```

```

579         ud(v,:) = zeros(1,2)+uO+rm;
580         xT = 0.5*cos(dirO)+0.5*cos(dirA);
581         yT = 0.5*cos(dirO)+0.5*sin(dirA);
582         C(v,4) = atan(yT,xT);
583         dirExp(v) = atan(sin(dirO)+sin(dirA),cos(dirO)+cos(dirA));
584     end
585 end
586 end
587
588 //Out of range
589 if DetR == 0 & DetO == 0 & DetA == 0 then
590     if NestOn(v) == 0 then
591         if dOB < dObBox then
592             ud(v,:) = zeros(1,2)+uO+rm;
593             xT = cos(dirOb);
594             yT = sin(dirOb);
595             C(v,4) = atan(yT,xT);
596             explore(v) = 1;
597         else
598             ud(v,:) = zeros(1,2)+uO+rm;
599             xT = cos(dirExp(v));
600             yT = sin(dirExp(v));
601             C(v,4) = atan(yT,xT);
602         end
603     else
604         if dN < dNest then
605             ud(v,:) = zeros(1,2)+uO+rm;
606             xT = cos(dirNest);
607             yT = sin(dirNest);
608             C(v,4) = atan(yT,xT);
609         else
610             ud(v,:) = zeros(1,2)+uO+rm;
611             xT = cos(dirExp(v));
612             yT = sin(dirExp(v));
613             C(v,4) = atan(yT,xT);
614         end

```

---

```

615         end
616     end
617
618     if explore(v) == 1 & dOB > dObBox & rand(1, 'uniform') < 0.1 then
619         explore(v) = 0;
620         dirExp(v) = dirExp(v) + (3 * %pi / 4) + (rand() * %pi / 2);
621         if dirExp(v) > (2 * %pi) then
622             dirExp(v) = dirExp(v) - (2 * %pi);
623         end
624     end
625
626     //Reports
627     Report(st, v, 1) = C(v, 1);
628     Report(st, v, 2) = C(v, 2);
629     Report(st, v, 3) = C(v, 3);
630     Report(st, v, 4) = C(v, 4);
631
632     Dm(st, v) = C(v, 3);
633     Dr(v) = max(Dm(:, v))
634
635     Cpast = C(v, :);
636     [cs, t] = Mov(ud(v, :) ', C(v, :) '); //Vehicle movement
637     [r, c] = size(cs);
638     C(v, :) = cs(:, c)'; //Next initial condition, actual condition
639
640     if C(v, 1) < 0 | C(v, 1) > lims | C(v, 2) < 0 | C(v, 2) > lims then
641         C(v, :) = Cpast;
642     end
643
644     //This avoids an infinite increment of radians
645     if C(v, 4) > (2 * %pi) then
646         C(v, 4) = C(v, 4) - (2 * %pi);
647     elseif C(v, 4) < 0 then
648         C(v, 4) = C(v, 4) + (2 * %pi);
649     end
650

```

```

651          //Delivery time
652          if Grip(v,1) == 1 then //Close grip
653              Tr(v,1) = Tr(v,1) + 1;
654          end
655
656      end //of v
657
658      //animation(C,Tv, Objects, Ob, lims, limsNest, centerBox, limsBox, dNest, dObBox);
659
660  end //of while
661
662  Tr(:,2) = st - Tr(:,1);
663  Oend(o,1) = Objects(o,1);
664  Oend(o,2) = Objects(o,2);
665
666  endfunction
667
668  function animation(C,Tv, Objects, Ob, lims, limsNest, centerBox, limsBox, dNest, dObBox)
669
670      drawlater();
671      clf();
672      scatter([1,1],[1,1]);
673      xrect(0,limsNest*lims,limsNest*lims,limsNest*lims);
674      gce().foreground = color("red");
675      xarc(lims*(limsNest/2)-dNest,lims*(limsNest/2)+dNest,2*dNest,2*dNest,0,360*64);
676      gce().foreground = color("red");
677      xrect(lims*(centerBox-(limsBox/2)),lims*(centerBox+(limsBox/2)), ...
678          ... lims*limsBox,lims*limsBox);
679      gce().foreground = color("blue");
680      xarc(lims*centerBox-2.5,lims*centerBox+2.5,2*2.5,2*2.5,0,360*64);
681      gce().foreground = color("blue");
682
683      d = 0.3;          //Size of arrow
684      RadRobot = 0.1; //Radius of robot
685      for v = 1:Tv
686          t1 = C(v,4)-acos(RadRobot/d);

```

```

687         t2 = C(v,4)+acos(RadRobot/d);
688         xf = [C(v,1),C(v,1)+RadRobot*cos(t1),C(v,1)+d*cos(C(v,4)),C(v,1)+ ...
689             ... RadRobot*cos(t2)];
690         yf = [C(v,2),C(v,2)+RadRobot*sin(t1),C(v,2)+d*sin(C(v,4)),C(v,2)+ ...
691             ... RadRobot*sin(t2)];
692         xfpoly(xf,yf,[-1]);
693         xfarc(C(v,1)-RadRobot,C(v,2)+RadRobot,RadRobot*2,RadRobot*2,0,360*64);
694     end
695
696     RadOb = 0.1; //Radius of object
697     for o = 1:Ob
698         xfarc(Objects(o,1)-RadOb,Objects(o,2)+RadOb,RadOb*2,RadOb*2,0,360*64);
699         gce().background = color("green");
700     end
701
702     a = get("current_axes");
703     a.data_bounds = [0,0; lims,lims];
704     a.tight_limits = ["on","on"];
705     drawnow();
706
707 endfunction
708
709 function [rst,rDr,rTr1,rTr2,Report]=replicas(Ob,Tv,dRU,dOU,dAU)
710     for i=1:3
711         [Report,Oend,Oini,st,Tr,Dr]=SimMov2(Ob,Tv,dRU,dOU,dAU)
712         Dr = mean(Dr);
713         Tr1 = mean(Tr(:,1));
714         Tr2 = mean(Tr(:,2));
715         for j=1:1
716             rst(i,j) = st;
717             rDr(i,j) = Dr;
718             rTr1(i,j) = Tr1;
719             rTr2(i,j) = Tr2;
720         end
721     end
722     prst = mean(rst);

```

---

```
723     prDr = mean(Dr);
724     prTr1 =mean(rTr1);
725     prTr2 =mean(rTr2);
726     Report = [prTr1 prTr2 prst prDr]
727 endfunction
```

# BIBLIOGRAFÍA

---

- [1] Ian D. Couzin, Jens Krause, Richard James, Graeme D. Ruxton, and Nigel R. Franks. Collective Memory and Spatial Sorting in Animal Groups. *Journal of Theoretical Biology*, 2002(218):1–11, 2002.
- [2] Belkacem Khaldi and Cherif Foudil. An overview of swarm robotics: Swarm intelligence applied to multi-robotics. *International Journal of Computer Applications*, 126(2):31–37, 09 2015.
- [3] Kshitij Tiwari and Nak Young Chong. 12 - multi-robot systems: The cost of scalability. In Kshitij Tiwari and Nak Young Chong, editors, *Multi-robot Exploration for Environmental Monitoring*, pages 159 – 169. Academic Press, 2020.
- [4] Zhiguo Shi, Jun Tu, Qiao Zhang, Lei Liu, and Junming Wei. A survey of swarm robotics system. In Ying Tan, Yuhui Shi, and Zhen Ji, editors, *Advances in Swarm Intelligence*, pages 564–572, Berlin, Heidelberg, 2012. Springer Berlin Heidelberg.
- [5] Bing Zhu, Lihua Xie, Duo Han, Xiangyu Meng, and Rodney Teo. A survey on recent progress in control of swarm systems. *Science China Information Sciences*, 60(7):070201, Jun 2017.
- [6] Eugene Kagan, Nir Shvalb, Shlomi Hachon, and Alexander Novoselsky. *Multi-Robot Systems and Swarming*, chapter 9, pages 199–241. John Wiley & Sons, Ltd, 2019.

- 
- [7] Ryusuke Fujisawa, Shigeto Dobata, Ken Sugawara, and Fumitoshi Matsuno. Designing pheromone communication in swarm robotics: Group foraging behavior mediated by chemical substance. *Swarm Intelligence*, 8(3):227–246, Sep 2014.
  - [8] Eliseo Ferrante, Ali Emre Turgut, Edgar Duéñez-Guzmán, Marco Dorigo, and Tom Wenseleers. Evolution of self-organized task specialization in robot swarms. *PLOS Computational Biology*, 11(8):1–21, 08 2015.
  - [9] Patricia Suárez, Andrés Iglesias, and Akemi Gálvez. Make robots be bats: specializing robotic swarms to the bat algorithm. *Swarm and Evolutionary Computation*, 44:113–129, 2019.
  - [10] Fabrício R. Inácio, Douglas G. Macharet, and Luiz Chaimowicz. Pso-based strategy for the segregation of heterogeneous robotic swarms. *Journal of Computational Science*, 31:86–94, 2019.
  - [11] Gerardo Beni. From swarm intelligence to swarm robotics. In Erol Şahin and William M. Spears, editors, *Swarm Robotics*, pages 1–9, Berlin, Heidelberg, 2005. Springer Berlin Heidelberg.
  - [12] Eric Bonabeau, Marco Dorigo, and Guy Theraulaz. *From Natural to Artificial Swarm Intelligence*. Oxford University Press, Inc., USA, 1999.
  - [13] A. Eiben and Jim Smith. *Introduction To Evolutionary Computing*, volume 45. Springer, Berlin, Heidelberg, 01 2003.
  - [14] John H. Holland. *Adaptation in Natural and Artificial Systems: An Introductory Analysis with Applications to Biology, Control, and Artificial Intelligence*. The MIT Press, 04 1992.
  - [15] Stephane Doncieux, Nicolas Bredeche, Jean-Baptiste Mouret, and Agoston E. (Gusz) Eiben. Evolutionary robotics: What, why, and where to. *Frontiers in Robotics and AI*, 2:4, 2015.



- 
- [16] J. Kennedy and R. Eberhart. Particle swarm optimization. In *Proceedings of ICNN'95 - International Conference on Neural Networks*, volume 4, pages 1942–1948 vol.4, 1995.
- [17] M. Dorigo, V. Maniezzo, and A. Coloni. Ant system: optimization by a colony of cooperating agents. *IEEE Transactions on Systems, Man, and Cybernetics, Part B (Cybernetics)*, 26(1):29–41, 1996.
- [18] Dervis Karaboga and Bahriye Basturk. A powerful and efficient algorithm for numerical function optimization: Artificial bee colony (abc) algorithm. *Journal of Global Optimization*, 39:459–471, 11 2007.
- [19] Szymon Łukasik and Sławomir Żak. Firefly algorithm for continuous constrained optimization tasks. In Ngoc Thanh Nguyen, Ryszard Kowalczyk, and Shyi-Ming Chen, editors, *Computational Collective Intelligence. Semantic Web, Social Networks and Multiagent Systems*, pages 97–106, Berlin, Heidelberg, 2009. Springer Berlin Heidelberg.
- [20] X. Yang and Suash Deb. Cuckoo search via lévy flights. In *2009 World Congress on Nature Biologically Inspired Computing (NaBIC)*, pages 210–214, 2009.
- [21] Pinar Civicioglu. Backtracking search optimization algorithm for numerical optimization problems. *Applied Mathematics and Computation*, 219(15):8121 – 8144, 2013.
- [22] Ying Tan and Zhong yang Zheng. Research advance in swarm robotics. *Defence Technology*, 9(1):18 – 39, 2013.
- [23] Melanie Schranz, Martina Umlauft, Micha Sende, and Wilfried Elmenreich. Swarm robotic behaviors and current applications. *Frontiers in Robotics and AI*, 7, 04 2020.
- [24] Scott Camazine, Nigel R. Franks, James Sneyd, Eric Bonabeau, Jean-Louis

- Deneubourg, and Guy Theraula. *Self-Organization in Biological Systems*. Princeton University Press, Princeton, NJ, USA, 2001.
- [25] Vito Trianni. *Multi-Robot Systems, Swarm Robotics and Self-Organisation*, pages 23–46. Springer Berlin Heidelberg, Berlin, Heidelberg, 2008.
- [26] V. V. Isaeva. Self-organization in biological systems. *Biology Bulletin*, 39(2):110–118, Apr 2012.
- [27] Simon Garnier, Jacques Gautrais, and Guy Theraulaz. The biological principles of swarm intelligence. *Swarm Intelligence*, 1(1):3–31, Jun 2007.
- [28] Chris Taylor, Colin Luzzi, and Cameron Nowzari. On the effects of collision avoidance on emergent swarm behavior. In *2020 American Control Conference (ACC)*, pages 931–936, 07 2020.
- [29] Erol Şahin. Swarm robotics: From sources of inspiration to domains of application. In Erol Şahin and William M. Spears, editors, *Swarm Robotics*, pages 10–20, Berlin, Heidelberg, 2005. Springer Berlin Heidelberg.
- [30] O. Linda and M. Manic. Fuzzy manual control of multi-robot system with built-in swarm behavior. In *2009 2nd Conference on Human System Interactions*, pages 4–9, 2009.
- [31] Benjamin T. Fine and Dylan A. Shell. Unifying microscopic flocking motion models for virtual, robotic, and biological flock members. *Autonomous Robots*, 35(2):195–219, 2013.
- [32] Christoph Moeslinger, Thomas Schmickl, and Karl Crailsheim. A minimalist flocking algorithm for swarm robots. In George Kampis, István Karsai, and Eörs Szathmáry, editors, *Advances in Artificial Life. Darwin Meets von Neumann*, pages 375–382, Berlin, Heidelberg, 2011. Springer Berlin Heidelberg.
- [33] Levent Bayindir. A review of swarm robotics tasks. *Neurocomputing*, 172:292–321, 2016.

- [34] Nadia Nedjah and Luneque Silva Junior. Review of methodologies and tasks in swarm robotics towards standardization. *Swarm and Evolutionary Computation*, 50:100565, 08 2019.
- [35] Micael S. Couceiro, Patricia A. Vargas, Rui P. Rocha, and Nuno M.F. Ferreira. Benchmark of swarm robotics distributed techniques in a search task. *Robotics and Autonomous Systems*, 62(2):200 – 213, 2014.
- [36] Y. U. Cao, A. S. Fukunaga, A. B. Kahng, and F. Meng. Cooperative mobile robotics: antecedents and directions. In *Proceedings 1995 IEEE/RSJ International Conference on Intelligent Robots and Systems. Human Robot Interaction and Cooperative Robots*, volume 1, pages 226–234 vol.1, 1995.
- [37] A. S. Anoop and P. Kanakasabapathy. Review on swarm robotics platforms. In *2017 International Conference on Technological Advancements in Power and Energy ( TAP Energy)*, pages 1–6, Dec 2017.
- [38] Jan Carlo Barca and Y. Ahmet Sekercioglu. Swarm robotics reviewed. *Robotica*, 31(3):345–359, 2013.
- [39] Frederick Ducatelle, Gianni A. Di Caro, and Luca M. Gambardella. Cooperative self-organization in a heterogeneous swarm robotic system. In *Proceedings of the 12th Annual Conference on Genetic and Evolutionary Computation, GECCO '10*, page 87–94, New York, NY, USA, 2010. Association for Computing Machinery.
- [40] Heiko Hamann. *Scenarios of Swarm Robotics*, pages 65–93. Springer International Publishing, Cham, 2018.
- [41] Simon Fong, Suash Deb, and Ankit Chaudhary. A review of metaheuristics in robotics. *Comput. Electr. Eng.*, 43(C):278–291, apr 2015.
- [42] Luneque Silva Junior and Nadia Nedjah. Wave algorithm applied to collective navigation of robotic swarms. *Applied Soft Computing*, 57:698–707, 2017.

- 
- [43] Veysel Gazi and Kevin Passino. *Swarm Stability and Optimization*. Springer, Berlin, Heidelberg, 01 2011.
- [44] Reza Olfati-Saber. Flocking for multi-agent dynamic systems: Algorithms and theory. *Automatic Control, IEEE Transactions on*, 51:401 – 420, 04 2006.
- [45] Craig W. Reynolds. Flocks, herds and schools: A distributed behavioral model. *AMC SIGGRAPH'87 Comput. Graph.*, 21(4):25–34, August 1987.
- [46] Olaf Witkowski and Takashi Ikegami. Emergence of swarming behavior: Foraging agents evolve collective motion based on signaling. *PloS one*, 11:e0152756, 04 2016.
- [47] Tamás Vicsek, András Czirók, Eshel Ben-Jacob, Inon Cohen, and Ofer Shochet. Novel type of phase transition in a system of self-driven particles. *Phys. Rev. Lett.*, 75:1226–1229, Aug 1995.
- [48] Christopher Hartman and Bedrich Benes. Autonomous boids. *Computer Animation and Virtual Worlds*, 17(3-4):199–206, 2006.
- [49] Felipe Cucker and Cristian Huepe. Flocking with informed agents. *MathematicS In Action [electronic only]*, 1, 01 2008.
- [50] Housheng Su and Xiaofan Wang. Flocking of multi-agents with a virtual leader. *Automatic Control, IEEE Transactions on*, 54:293 – 307, 03 2009.
- [51] Wenwu Yu, Guanrong Chen, and Ming Cao. Distributed leader-follower flocking control for multi-agent dynamical systems with time-varying velocities. *Systems & Control Letters*, 59:543–552, 01 2010.
- [52] Ellips Masehian and Mitra Royan. Characteristics of and approaches to flocking in swarm robotics. *Applied Mechanics and Materials*, 841:240–249, 06 2016.

- 
- [53] Ali Turgut, Hande Çelikkanat, Fatih Gökçe, and Erol Sahin. Self-organized flocking with a mobile robot swarm. In *Swarm Intelligence*, volume 1, pages 39–46, 01 2008.
- [54] M. R. Pac, A. M. Erkmén, and İsmet Erkmén. Control of robotic swarm behaviors based on smoothed particle hydrodynamics. In *2007 IEEE/RSJ International Conference on Intelligent Robots and Systems*, pages 4194–4200, 2007.
- [55] L. C. A. Pimenta, G. A. S. Pereira, N. Michael, R. C. Mesquita, M. M. Bosque, L. Chaimowicz, and V. Kumar. Swarm coordination based on smoothed particle hydrodynamics technique. *IEEE Transactions on Robotics*, 29(2):383–399, 2013.
- [56] Z. Kira and M. A. Potter. Exerting human control over decentralized robot swarms. In *2009 4th International Conference on Autonomous Robots and Agents*, pages 566–571, 2009.
- [57] M. A. Goodrich, B. Pendleton, P. B. Sujit, and J. Pinto. Toward human interaction with bio-inspired robot teams. In *2011 IEEE International Conference on Systems, Man, and Cybernetics*, pages 2859–2864, 2011.
- [58] S. Jung and M. A. Goodrich. Multi-robot perimeter-shaping through mediator-based swarm control. In *2013 16th International Conference on Advanced Robotics (ICAR)*, pages 1–6, 2013.
- [59] Colin Torney, Andrew Berdahl, and Iain Couzin. Signalling and the evolution of cooperative foraging in dynamic environments. *PLoS computational biology*, 7:e1002194, 09 2011.
- [60] S. Bashyal and G. K. Venayagamoorthy. Human swarm interaction for radiation source search and localization. In *2008 IEEE Swarm Intelligence Symposium*, pages 1–8, 2008.

- 
- [61] F. Martinez, E. Jacinto, and D. Acero. Brownian motion as exploration strategy for autonomous swarm robots. In *2012 IEEE International Conference on Robotics and Biomimetics (ROBIO)*, pages 2375–2380, 2012.
- [62] David Ball, Patrick Ross, Andrew English, Tim Patten, Ben Upcroft, Robert Fitch, Salah Sukkarieh, Gordon Wyeth, and Peter Corke. Robotics for sustainable broad-acre agriculture. In *Field and service robotics*, pages 439–453. Springer, 2015.
- [63] T. Blender, T. Buchner, B. Fernandez, B. Pichlmaier, and C. Schlegel. Managing a mobile agricultural robot swarm for a seeding task. In *IECON 2016 - 42nd Annual Conference of the IEEE Industrial Electronics Society*, pages 6879–6886, 2016.
- [64] Dario Albani, Tiziano Manoni, Arikhan Arik, Daniele Nardi, and Vito Trianni. Field coverage for weed mapping: Toward experiments with a uav swarm. In Adriana Compagnoni, William Casey, Yang Cai, and Bud Mishra, editors, *Bio-inspired Information and Communication Technologies*, pages 132–146, Cham, 2019. Springer International Publishing.
- [65] Joan saez pons, Lyuba Alboul, Jacques Penders, and Leo Nomdedeu. Multi-robot team formation control in the guardians project. *Industrial Robot: An International Journal*, 37:372–383, 01 2010.
- [66] Sabine Hauert, Jean-Christophe Zufferey, and Dario Floreano. Evolved swarming without positioning information: An application in aerial communication relay. *Autonomous Robots*, 26, 10 2009.
- [67] E. Feo Flushing, L. M. Gambardella, and G. A. Di Caro. A mathematical programming approach to collaborative missions with heterogeneous teams. In *2014 IEEE/RSJ International Conference on Intelligent Robots and Systems*, pages 396–403, 2014.

- 
- [68] Maja Varga, Meysam Basiri, Gregoire Heitz, and Dario Floreano. Distributed formation control of fixed wing micro aerial vehicles for area coverage. In *2015 IEEE/RSJ International Conference on Intelligent Robots and Systems (IROS)*, pages 669–674. IEEE, 2015.
- [69] Alessandro Farinelli, Masoume M Raeissi, Nathan Brooks, and Paul Scerri. Interacting with team oriented plans in multi-robot systems. *Autonomous Agents and Multi-Agent Systems*, 31(2):332–361, 2017.
- [70] Daniel A Real-Arce, Tania Morales, C Barrera, J Hernández, and O Llinás. Smart and networking underwater robots in cooperation meshes: the swarms eysel: H2020 project. In *Instrumentation viewpoint*, pages 19–19. SARTI, 2016.
- [71] T. Maccready. Multiscale vorticity from a swarm of drifters. In *2015 IEEE/OES Eleventh Current, Waves and Turbulence Measurement (CWTM)*, pages 1–6, 2015.
- [72] Manuele Brambilla, Eliseo Ferrante, Mauro Birattari, and Marco Dorigo. Swarm robotics: a review from the swarm engineering perspective. *Swarm Intelligence*, 7(1):1–41, Mar 2013.
- [73] Lorenzo Garattoni and Mauro Birattari. *Swarm Robotics*, pages 1–19. American Cancer Society, 2016.
- [74] Heiko Hamann and Thomas Schmickl. Modelling the swarm: Analysing biological and engineered swarm systems. *Mathematical and Computer Modelling of Dynamical Systems*, 18(1):1–12, 2012.
- [75] Nikolaus Correll and Heiko Hamann. Probabilistic modeling of swarming systems. In *Springer handbook of computational intelligence*, pages 1423–1432. Springer, 2015.
- [76] Alexandru Bara and Sanda Dale. Dynamic modeling and stabilization of wheeled mobile robot. In *Proceedings of the 5th WSEAS International Conference on Dynamical Systems and Control, CONTROL’09*, pages 87–92,

- Stevens Point, Wisconsin, USA, 2009. World Scientific and Engineering Academy and Society (WSEAS).
- [77] Rafael Kelly, Victor Santibáñez Davila, and Julio Antonio Loría Perez. *Control of robot manipulators in joint space*. Springer Science & Business Media, 2006.
- [78] H.K. Khalil. *Nonlinear Systems*. Prentice Hall, 1996.
- [79] Erick Ordaz-Rivas, Angel Rodriguez-Liñan, Mario Aguilera-Ruíz, and Luis Torres-Treviño. Collective tasks for a flock of robots using influence factor. *Journal of Intelligent & Robotic Systems*, Oct 2018.
- [80] P. Liu, H. Yu, and S. Cang. Modelling and dynamic analysis of underactuated capsule systems with friction-induced hysteresis. In *2016 IEEE/RSJ International Conference on Intelligent Robots and Systems (IROS)*, pages 549–554, 2016.
- [81] Pengcheng Liu, Hongnian Yu, and Shuang Cang. Modelling and analysis of dynamic frictional interactions of vibro-driven capsule systems with viscoelastic property. *European Journal of Mechanics - A/Solids*, 74:16 – 25, 2019.
- [82] Vladimir Stojanovic, Novak Nedic, Dragan Prsic, and Ljubisa Dubonjic. Optimal experiment design for identification of arx models with constrained output in non-gaussian noise. *Applied Mathematical Modelling*, 40(13):6676 – 6689, 2016.
- [83] Vojislav Filipović, Novak Nedic, and Vladimir Stojanovic. Robust identification of pneumatic servo actuators in the real situations. *Forschung im Ingenieurwesen*, 75, 12 2011.
- [84] Vladimir Stojanovic and Vojislav Filipović. Adaptive input design for identification of output error model with constrained output. *Circuits, Systems, and Signal Processing*, 33, 01 2014.



- 
- [85] José Antonio Martín H., Javier de Lope, and Darío Maravall. Analysis and solution of a predator-protector-prey multi-robot system by a high-level reinforcement learning architecture and the adaptive systems theory. *Robot. Auton. Syst.*, 58(12):1266–1272, December 2010.
- [86] Stefano Nolfi. Co-evolving predator and prey robots. *Adaptive Behavior*, 20(1):10–15, 2012.
- [87] S. Mukhopadhyay and H. Leung. Cluster synchronization of predator prey robots. In *2013 IEEE International Conference on Systems, Man, and Cybernetics*, pages 2753–2758, Oct 2013.
- [88] T. Yasuda, K. Ohkura, T. Nomura, and Y. Matsumura. Evolutionary swarm robotics approach to a pursuit problem. In *2014 IEEE Symposium on Robot Intelligence in Informationally Structured Space (RiSS)*, pages 1–6, Dec 2014.
- [89] Jorge C. Gomes, Pedro Mariano, and Anders Lyhne Christensen. Systematic derivation of behaviour characterisations in evolutionary robotics. *CoRR*, abs/1407.0577, 2014.
- [90] Tiago Rodrigues, Miguel Duarte, Margarida Figueiró, Vasco Costa, Sancho Moura Oliveira, and Anders Lyhne Christensen. Overcoming limited onboard sensing in swarm robotics through local communication. In Ngoc Thanh Nguyen, Ryszard Kowalczyk, Béatrice Duval, Jaap van den Herik, Stephane Loiseau, and Joaquim Filipe, editors, *Transactions on Computational Collective Intelligence XX*, pages 201–223, Cham, 2015. Springer International Publishing.
- [91] Randal S. Olson, David B. Knoester, and Christoph Adami. Evolution of swarming behavior is shaped by how predators attack. *Artificial Life*, 22(3):299–318, 2016.
- [92] Arthur Bernard, Jean-Baptiste André, and Nicolas Bredeche. To cooperate or

- not to cooperate: Why behavioural mechanisms matter. *PLOS Computational Biology*, 12(5):1–14, 05 2016.
- [93] Jorge Gomes, Miguel Duarte, Pedro Mariano, and Anders Lyhne Christensen. Cooperative coevolution of control for a real multirobot system. In Julia Handl, Emma Hart, Peter R. Lewis, Manuel López-Ibáñez, Gabriela Ochoa, and Ben Paechter, editors, *Parallel Problem Solving from Nature – PPSN XIV*, pages 591–601, Cham, 2016. Springer International Publishing.
- [94] Nigel Franks and A. Sendova-Franks. Brood sorting by ants: distributing the workload over the work-surface. *Behavioral Ecology and Sociobiology*, 30:109–123, 03 1992.
- [95] P.P. Grassé. *La Reconstruction du nid et les coordinations interindividuelles chez Bellicositermes natalensis et Cubitermes Sp. ; la théorie de la stigmergie: essai d’interprétation, comportement des termites constructeurs*. Masson, 1959.
- [96] Jens Wawerla, Gawav Sukhatme, and Maja Mataric. Collective construction with multiple robots. In *IEEE/RSJ international conference on intelligent robots and systems*, volume 3, pages 2696 – 2701 vol.3. IEEE, 02 2002.
- [97] Justin Werfel and Radhika Nagpal. Extended stigmergy in collective construction. *IEEE Intelligent Systems*, 21:20–28, 03 2006.
- [98] Justin Werfel and Radhika Nagpal. Three-dimensional construction with mobile robots and modular blocks. *I. J. Robotic Res.*, 27:463–479, 03 2008.
- [99] Andrew Vardy. Orbital construction: Swarms of simple robots building enclosures. In *2018 IEEE 3rd International Workshops on Foundations and Applications of Self Systems (FAS W)*, pages 147–153. IEEE, 09 2018.
- [100] Kirstin H Petersen, Nils Napp, Robert Stuart-Smith, Daniela Rus, and Mirko Kovac. A review of collective robotic construction. *Science Robotics*, 4(28), 2019.

- 
- [101] Justin Werfel, Kirstin Petersen, and Radhika Nagpal. Distributed multi-robot algorithms for the termes 3d collective construction system. In *Proceedings of Robotics: Science and Systems*. Institute of Electrical and Electronics Engineers, 05 2020.
- [102] Bernard Chazelle. An algorithmic approach to collective behavior. *Journal of Statistical Physics*, 158(3):514–548, Feb 2015.
- [103] Anil Özdemir, Melvin Gauci, and Roderich Gross. Shepherding with robots that do not compute. *The 2018 Conference on Artificial Life: A Hybrid of the European Conference on Artificial Life (ECAL) and the International Conference on the Synthesis and Simulation of Living Systems (ALIFE)*, pages 332–339, 2017.
- [104] Mitchell A. Potter, Lisa Meeden, and Alan C. Schultz. Heterogeneity in the coevolved behaviors of mobile robots: The emergence of specialists. In *Proceedings of the 17th International Joint Conference on Artificial Intelligence - Volume 2, IJCAI’01*, pages 1337–1343, San Francisco, CA, USA, 2001. Morgan Kaufmann Publishers Inc.
- [105] Luke Ludwig and Maria Gini. Robotic swarm dispersion using wireless intensity signals. In Maria Gini and Richard Voyles, editors, *Distributed Autonomous Robotic Systems 7*, pages 135–144, Tokyo, 2006. Springer Japan.
- [106] James McLurkin and Jennifer Smith. Distributed algorithms for dispersion in indoor environments using a swarm of autonomous mobile robots. In Rachid Alami, Raja Chatila, and Hajime Asama, editors, *Distributed Autonomous Robotic Systems 6*, pages 399–408, Tokyo, 2007. Springer Japan.
- [107] S. Nouyan, R. Gross, M. Bonani, F. Mondada, and M. Dorigo. Teamwork in self-organized robot colonies. *IEEE Transactions on Evolutionary Computation*, 13(4):695–711, Aug 2009.

- 
- [108] Mikhail Efremov and Ivan Kholod. Swarm robotics foraging approaches. In *2020 IEEE Conference of Russian Young Researchers in Electrical and Electronic Engineering (EIConRus)*, pages 299–304, 01 2020.